

Eingabe: Farbmétrisches Offset-Reflektiv-System ORS18a

für Buntton  $h^* = lab^*h = 38/360 = 0,105$

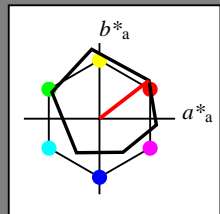
$lab^*tch$  und  $lab^*nch$

D65: Buntton O

LCH\*Ma: 48 83 38

olv\*Ma: 1.0 0.0 0.0

Dreiecks-Helligkeit  $t^*$



ORS18a; adaptierte CIELAB-Daten

|      | $L^*=L^*_a$ | $a^*_a$ | $b^*_a$ | $C^*_{ab,a}$ | $h^*_{ab,a}$ |
|------|-------------|---------|---------|--------------|--------------|
| OMa  | 47.94       | 65.39   | 50.52   | 82.63        | 38           |
| YMa  | 90.37       | -10.26  | 91.75   | 92.32        | 96           |
| LMa  | 50.9        | -62.83  | 34.96   | 71.91        | 151          |
| CMa  | 58.62       | -30.34  | -45.01  | 54.3         | 236          |
| VMa  | 25.72       | 31.1    | -44.4   | 54.22        | 305          |
| MMa  | 48.13       | 75.28   | -8.36   | 75.74        | 354          |
| NMa  | 18.01       | 0.0     | 0.0     | 0.0          | 0            |
| WMa  | 95.41       | 0.0     | 0.0     | 0.0          | 0            |
| RCIE | 39.92       | 58.66   | 26.98   | 64.57        | 25           |
| JCIE | 81.26       | -2.16   | 67.76   | 67.79        | 92           |
| GCIE | 52.23       | -42.25  | 11.76   | 43.87        | 164          |
| BCIE | 30.57       | 1.15    | -46.84  | 46.86        | 271          |

%Umfang

$u^*_{rel} = 93$

%Regularität

$g^*_{H,rel} = 57$

$g^*_{C,rel} = 59$

Ausgabe: Farbmétrisches Offset-Reflektiv-System ORS18a

für Buntton  $h^* = lab^*h = 38/360 = 0,105$

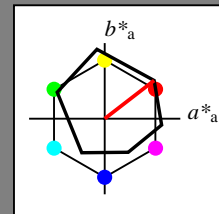
$lab^*tch$  und  $lab^*nch$

D65: Buntton O

LCH\*Ma: 48 83 38

olv\*Ma: 1.0 0.0 0.0

Dreiecks-Helligkeit  $t^*$



ORS18a; adaptierte CIELAB-Daten

|      | $L^*=L^*_a$ | $a^*_a$ | $b^*_a$ | $C^*_{ab,a}$ | $h^*_{ab,a}$ |
|------|-------------|---------|---------|--------------|--------------|
| OMa  | 47.94       | 65.39   | 50.52   | 82.63        | 38           |
| YMa  | 90.37       | -10.26  | 91.75   | 92.32        | 96           |
| LMa  | 50.9        | -62.83  | 34.96   | 71.91        | 151          |
| CMa  | 58.62       | -30.34  | -45.01  | 54.3         | 236          |
| VMa  | 25.72       | 31.1    | -44.4   | 54.22        | 305          |
| MMa  | 48.13       | 75.28   | -8.36   | 75.74        | 354          |
| NMa  | 18.01       | 0.0     | 0.0     | 0.0          | 0            |
| WMa  | 95.41       | 0.0     | 0.0     | 0.0          | 0            |
| RCIE | 39.92       | 58.66   | 26.98   | 64.57        | 25           |
| JCIE | 81.26       | -2.16   | 67.76   | 67.79        | 92           |
| GCIE | 52.23       | -42.25  | 11.76   | 43.87        | 164          |
| BCIE | 30.57       | 1.15    | -46.84  | 46.86        | 271          |

%Umfang

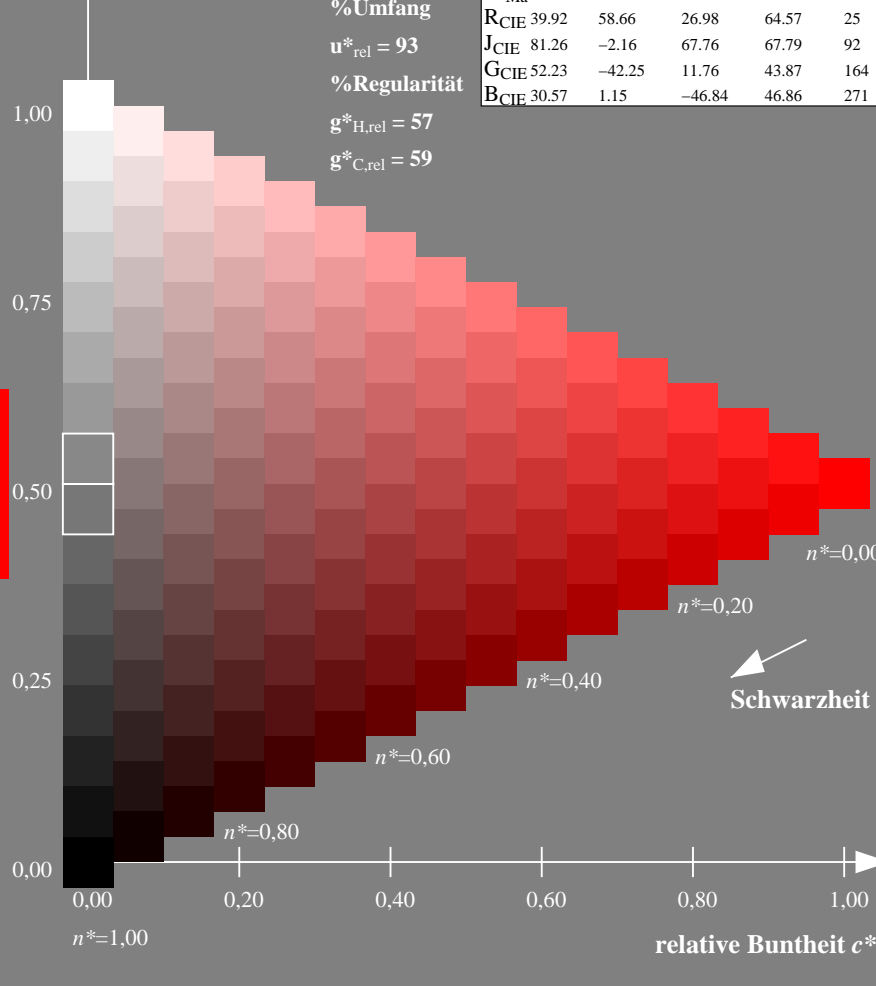
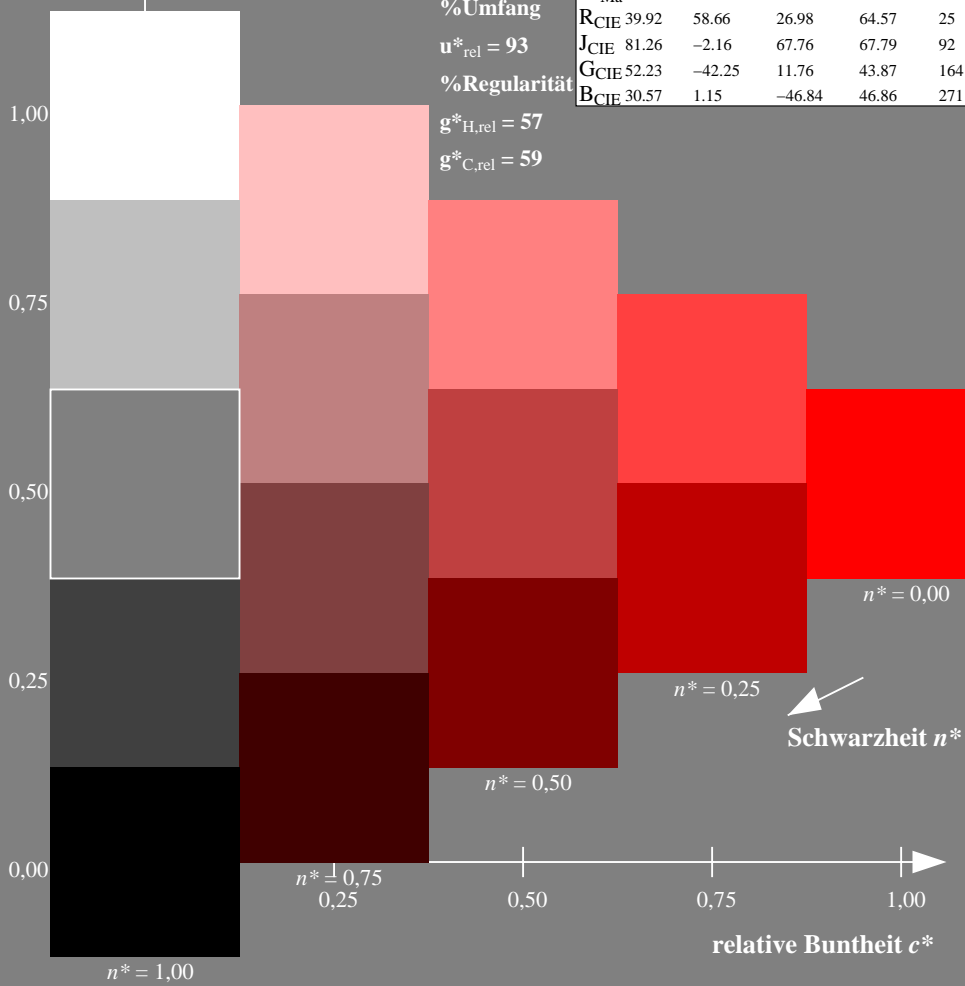
$u^*_{rel} = 93$

%Regularität

$g^*_{H,rel} = 57$

$g^*_{C,rel} = 59$

Siehe ähnliche Dateien: <http://www.ps.bam.de/Dg12/>; [www.ps.bam.de/33872](http://www.ps.bam.de/33872) Version 2.1, io=1,1



Dg120-7N, 5-stufige Reihen für konstanten CIELAB Buntton 38/360 = 0.105 (links)

16-stufige Reihen für konstanten CIELAB Buntton 38/360 = 0.105 (rechts)

Prüfvorlage 1 nach DIN 33872-2, Buntton O, Seite 1/11  
 Unterscheidbarkeit: 5- und 16-stufige Farbreihen, ORS18a

Eingabe:  $rgb (->olv^*) setrgbcolor$   
 Ausgabe: keine Eingabeänderung

BAM-Registrierung: 20080301-Dg12/10L/L12g00NA.PS /.TXT BAM-Material: Code=rh4ta  
 Anwendung für Ausgabe von Monitor-, Datenprojektor- oder Druckersystemen

Eingabe: Farbmétrisches Offset-Reflektiv-System ORS18a

für Buntton  $h^* = lab^*h = 96/360 = 0.268$

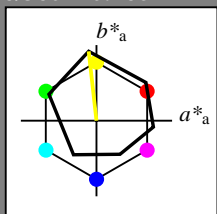
$lab^*tch$  und  $lab^*nch$

D65: Buntton Y

LCH\*Ma: 90 92 96

olv\*Ma: 1.0 1.0 0.0

Dreiecks-Helligkeit  $t^*$



ORS18a; adaptierte CIELAB-Daten

|      | $L^*=L^*_a$ | $a^*_a$ | $b^*_a$ | $C^*_{ab,a}$ | $h^*_{ab,a}$ |
|------|-------------|---------|---------|--------------|--------------|
| OMa  | 47.94       | 65.39   | 50.52   | 82.63        | 38           |
| YMa  | 90.37       | -10.26  | 91.75   | 92.32        | 96           |
| LMa  | 50.9        | -62.83  | 34.96   | 71.91        | 151          |
| CMa  | 58.62       | -30.34  | -45.01  | 54.3         | 236          |
| VMa  | 25.72       | 31.1    | -44.4   | 54.22        | 305          |
| MMa  | 48.13       | 75.28   | -8.36   | 75.74        | 354          |
| NMa  | 18.01       | 0.0     | 0.0     | 0.0          | 0            |
| WMa  | 95.41       | 0.0     | 0.0     | 0.0          | 0            |
| RCIE | 39.92       | 58.66   | 26.98   | 64.57        | 25           |
| JCIE | 81.26       | -2.16   | 67.76   | 67.79        | 92           |
| GCIE | 52.23       | -42.25  | 11.76   | 43.87        | 164          |
| BCIE | 30.57       | 1.15    | -46.84  | 46.86        | 271          |

%Umfang

$u^*_{rel} = 93$

%Regularität

$g^*_{H,rel} = 57$

$g^*_{C,rel} = 59$

Ausgabe: Farbmétrisches Offset-Reflektiv-System ORS18a

für Buntton  $h^* = lab^*h = 96/360 = 0.268$

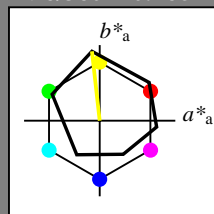
$lab^*tch$  und  $lab^*nch$

D65: Buntton Y

LCH\*Ma: 90 92 96

olv\*Ma: 1.0 1.0 0.0

Dreiecks-Helligkeit  $t^*$



ORS18a; adaptierte CIELAB-Daten

|      | $L^*=L^*_a$ | $a^*_a$ | $b^*_a$ | $C^*_{ab,a}$ | $h^*_{ab,a}$ |
|------|-------------|---------|---------|--------------|--------------|
| OMa  | 47.94       | 65.39   | 50.52   | 82.63        | 38           |
| YMa  | 90.37       | -10.26  | 91.75   | 92.32        | 96           |
| LMa  | 50.9        | -62.83  | 34.96   | 71.91        | 151          |
| CMa  | 58.62       | -30.34  | -45.01  | 54.3         | 236          |
| VMa  | 25.72       | 31.1    | -44.4   | 54.22        | 305          |
| MMa  | 48.13       | 75.28   | -8.36   | 75.74        | 354          |
| NMa  | 18.01       | 0.0     | 0.0     | 0.0          | 0            |
| WMa  | 95.41       | 0.0     | 0.0     | 0.0          | 0            |
| RCIE | 39.92       | 58.66   | 26.98   | 64.57        | 25           |
| JCIE | 81.26       | -2.16   | 67.76   | 67.79        | 92           |
| GCIE | 52.23       | -42.25  | 11.76   | 43.87        | 164          |
| BCIE | 30.57       | 1.15    | -46.84  | 46.86        | 271          |

%Umfang

$u^*_{rel} = 93$

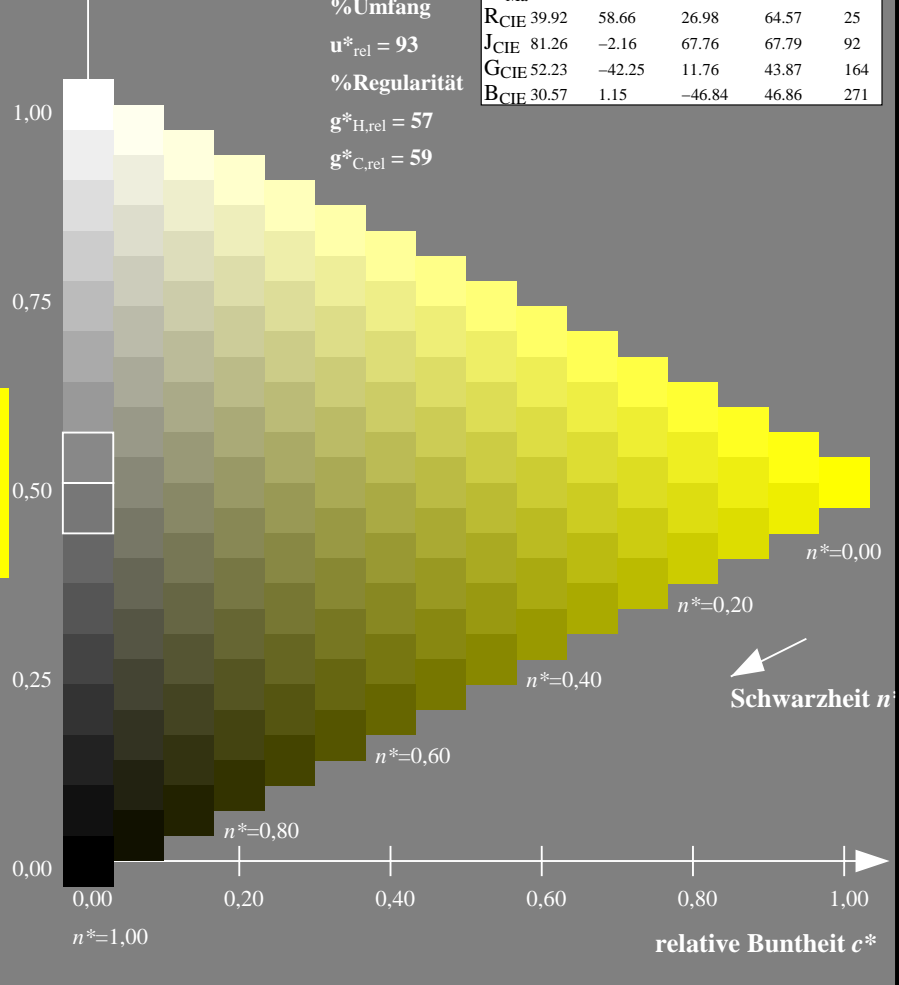
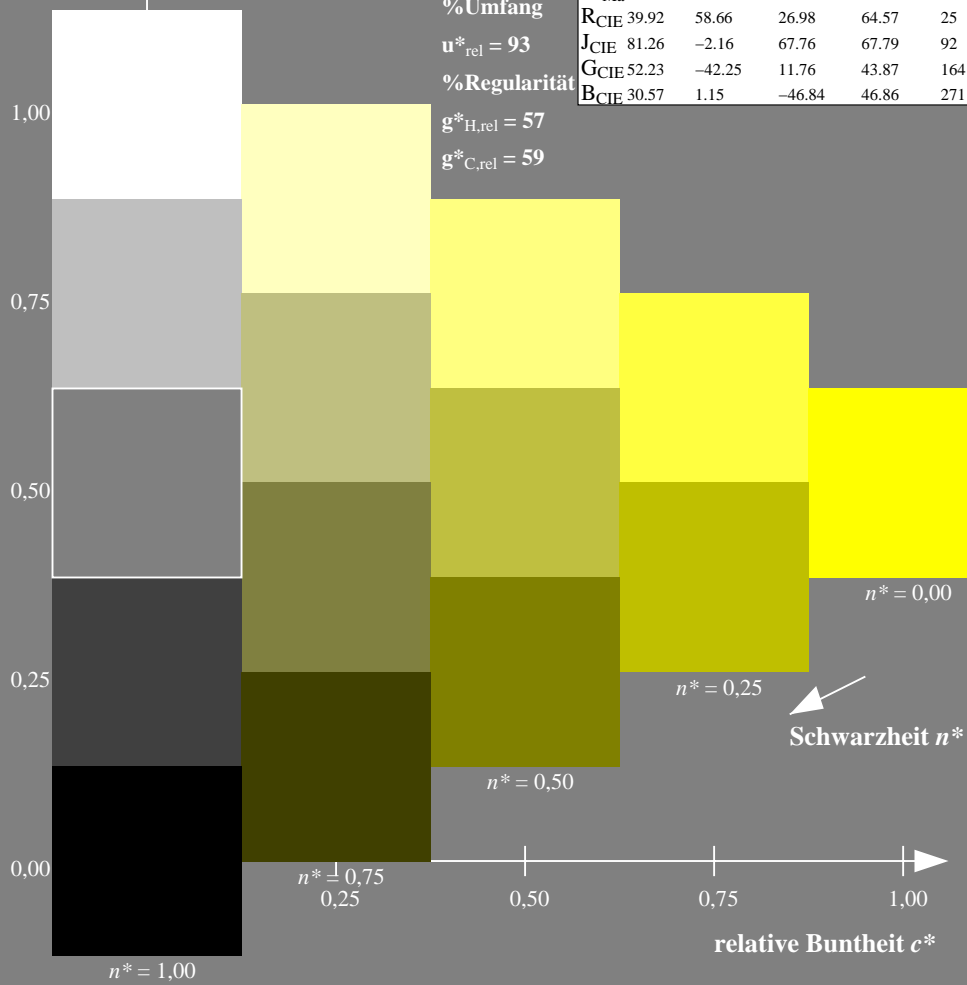
%Regularität

$g^*_{H,rel} = 57$

$g^*_{C,rel} = 59$

Siehe ähnliche Dateien: <http://www.ps.bam.de/Dg12/>; [www.ps.bam.de/33872](http://www.ps.bam.de/33872) Version 2.1, io=1,1  
 Technische Information: <http://www.ps.bam.de/33872>

BAM-Registrierung: 20080301-Dg12/10L/L12g01NA.PS /.TXT BAM-Material: Code=rh4ta  
 Anwendung für Ausgabe von Monitor-, Datenprojektor- oder Druckersystemen



Dg120-7N, 5-stufige Reihen für konstanten CIELAB Buntton 96/360 = 0.268 (links)

16-stufige Reihen für konstanten CIELAB Buntton 96/360 = 0.268 (rechts)

Prüfvorlage 1 nach DIN 33872-2, Buntton Y, Seite 2/11  
 Unterscheidbarkeit: 5- und 16-stufige Farbreihen, ORS18a

Eingabe:  $rgb (->olv^*)$  setrgbcolor  
 Ausgabe: keine Eingabeänderung

Eingabe: Farbmétrisches Offset-Reflektiv-System ORS18a

für Buntton  $h^* = lab^*h = 151/360 = 0.419$

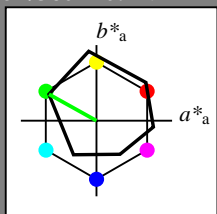
$lab^*tch$  und  $lab^*nch$

D65: Buntton L

LCH\*Ma: 51 72 151

olv\*Ma: 0.0 1.0 0.0

Dreiecks-Helligkeit  $t^*$



ORS18a; adaptierte CIELAB-Daten

|      | $L^*=L^*_a$ | $a^*_a$ | $b^*_a$ | $C^*_{ab,a}$ | $h^*_{ab,a}$ |
|------|-------------|---------|---------|--------------|--------------|
| OMa  | 47.94       | 65.39   | 50.52   | 82.63        | 38           |
| YMa  | 90.37       | -10.26  | 91.75   | 92.32        | 96           |
| LMa  | 50.9        | -62.83  | 34.96   | 71.91        | 151          |
| CMa  | 58.62       | -30.34  | -45.01  | 54.3         | 236          |
| VMa  | 25.72       | 31.1    | -44.4   | 54.22        | 305          |
| MMa  | 48.13       | 75.28   | -8.36   | 75.74        | 354          |
| NMa  | 18.01       | 0.0     | 0.0     | 0.0          | 0            |
| WMa  | 95.41       | 0.0     | 0.0     | 0.0          | 0            |
| RCIE | 39.92       | 58.66   | 26.98   | 64.57        | 25           |
| JCIE | 81.26       | -2.16   | 67.76   | 67.79        | 92           |
| GCIE | 52.23       | -42.25  | 11.76   | 43.87        | 164          |
| BCIE | 30.57       | 1.15    | -46.84  | 46.86        | 271          |

%Umfang

$u^*_{rel} = 93$

%Regularität

$g^*_{H,rel} = 57$

$g^*_{C,rel} = 59$

Ausgabe: Farbmétrisches Offset-Reflektiv-System ORS18a

für Buntton  $h^* = lab^*h = 151/360 = 0.419$

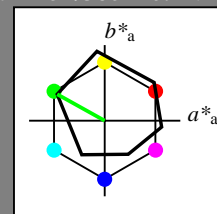
$lab^*tch$  und  $lab^*nch$

D65: Buntton L

LCH\*Ma: 51 72 151

olv\*Ma: 0.0 1.0 0.0

Dreiecks-Helligkeit  $t^*$



ORS18a; adaptierte CIELAB-Daten

|      | $L^*=L^*_a$ | $a^*_a$ | $b^*_a$ | $C^*_{ab,a}$ | $h^*_{ab,a}$ |
|------|-------------|---------|---------|--------------|--------------|
| OMa  | 47.94       | 65.39   | 50.52   | 82.63        | 38           |
| YMa  | 90.37       | -10.26  | 91.75   | 92.32        | 96           |
| LMa  | 50.9        | -62.83  | 34.96   | 71.91        | 151          |
| CMa  | 58.62       | -30.34  | -45.01  | 54.3         | 236          |
| VMa  | 25.72       | 31.1    | -44.4   | 54.22        | 305          |
| MMa  | 48.13       | 75.28   | -8.36   | 75.74        | 354          |
| NMa  | 18.01       | 0.0     | 0.0     | 0.0          | 0            |
| WMa  | 95.41       | 0.0     | 0.0     | 0.0          | 0            |
| RCIE | 39.92       | 58.66   | 26.98   | 64.57        | 25           |
| JCIE | 81.26       | -2.16   | 67.76   | 67.79        | 92           |
| GCIE | 52.23       | -42.25  | 11.76   | 43.87        | 164          |
| BCIE | 30.57       | 1.15    | -46.84  | 46.86        | 271          |

%Umfang

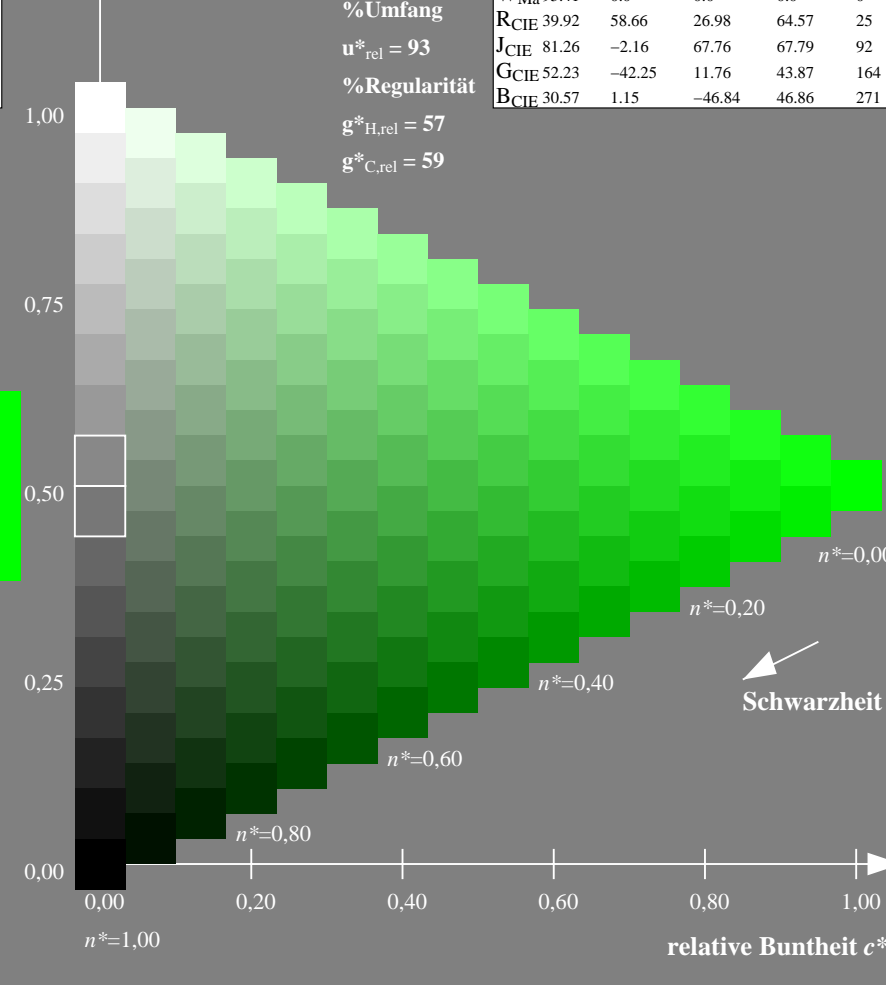
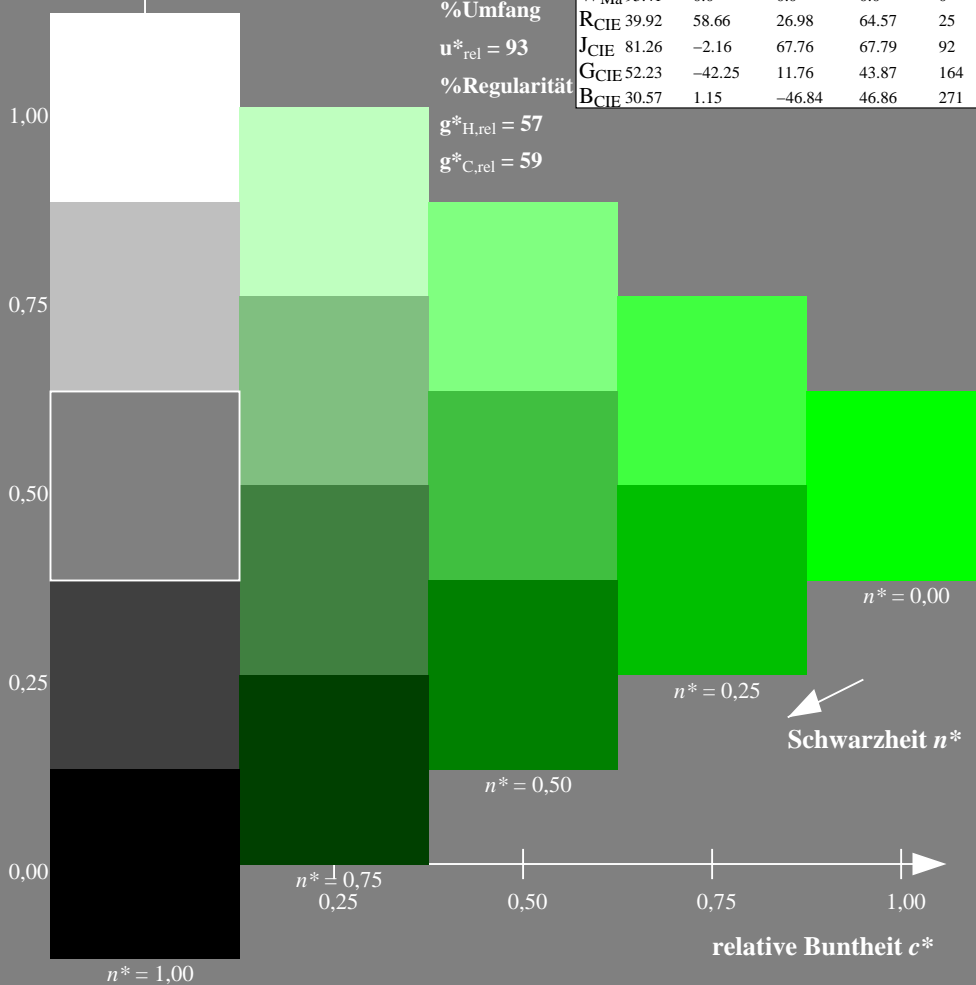
$u^*_{rel} = 93$

%Regularität

$g^*_{H,rel} = 57$

$g^*_{C,rel} = 59$

Siehe ähnliche Dateien: <http://www.ps.bam.de/Dg12/>; [www.ps.bam.de/33872](http://www.ps.bam.de/33872) Version 2.1, io=1,1



Dg120-7N, 5-stufige Reihen für konstanten CIELAB Buntton 151/360 = 0.419 (links)

16-stufige Reihen für konstanten CIELAB Buntton 151/360 = 0.419 (rechts)

Prüfvorlage 1 nach DIN 33872-2, Buntton L, Seite 3/11  
 Unterscheidbarkeit: 5- und 16-stufige Farbreihen, ORS18a

Eingabe:  $rgb (->olv^*)$  setrgbcolor  
 Ausgabe: keine Eingabeänderung

BAM-Registrierung: 20080301-Dg12/10L/L12g02NA.PS /.TXT BAM-Material: Code=rh44ta  
 Anwendung für Ausgabe von Monitor-, Datenprojektor- oder Druckersystemen

Eingabe: Farbmétrisches Offset-Reflektiv-System ORS18a

für Buntton  $h^* = lab^*h = 236/360 = 0.656$

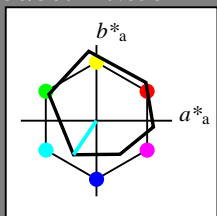
lab\*tch und lab\*nch

D65: Buntton C

LCH\*Ma: 59 54 236

olv\*Ma: 0.0 1.0 1.0

Dreiecks-Helligkeit  $t^*$



ORS18a; adaptierte CIELAB-Daten

|      | $L^*=L^*_a$ | $a^*_a$ | $b^*_a$ | $C^*_{ab,a}$ | $h^*_{ab,a}$ |
|------|-------------|---------|---------|--------------|--------------|
| OMa  | 47.94       | 65.39   | 50.52   | 82.63        | 38           |
| YMa  | 90.37       | -10.26  | 91.75   | 92.32        | 96           |
| LMa  | 50.9        | -62.83  | 34.96   | 71.91        | 151          |
| CMa  | 58.62       | -30.34  | -45.01  | 54.3         | 236          |
| VMa  | 25.72       | 31.1    | -44.4   | 54.22        | 305          |
| MMa  | 48.13       | 75.28   | -8.36   | 75.74        | 354          |
| NMa  | 18.01       | 0.0     | 0.0     | 0.0          | 0            |
| WMa  | 95.41       | 0.0     | 0.0     | 0.0          | 0            |
| RCIE | 39.92       | 58.66   | 26.98   | 64.57        | 25           |
| JCIE | 81.26       | -2.16   | 67.76   | 67.79        | 92           |
| GCIE | 52.23       | -42.25  | 11.76   | 43.87        | 164          |
| BCIE | 30.57       | 1.15    | -46.84  | 46.86        | 271          |

%Umfang

$u^*_{rel} = 93$

%Regularität

$g^*_{H,rel} = 57$

$g^*_{C,rel} = 59$

Ausgabe: Farbmétrisches Offset-Reflektiv-System ORS18a

für Buntton  $h^* = lab^*h = 236/360 = 0.656$

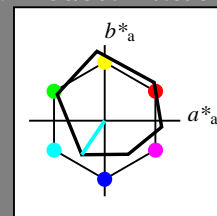
lab\*tch und lab\*nch

D65: Buntton C

LCH\*Ma: 59 54 236

olv\*Ma: 0.0 1.0 1.0

Dreiecks-Helligkeit  $t^*$



ORS18a; adaptierte CIELAB-Daten

|      | $L^*=L^*_a$ | $a^*_a$ | $b^*_a$ | $C^*_{ab,a}$ | $h^*_{ab,a}$ |
|------|-------------|---------|---------|--------------|--------------|
| OMa  | 47.94       | 65.39   | 50.52   | 82.63        | 38           |
| YMa  | 90.37       | -10.26  | 91.75   | 92.32        | 96           |
| LMa  | 50.9        | -62.83  | 34.96   | 71.91        | 151          |
| CMa  | 58.62       | -30.34  | -45.01  | 54.3         | 236          |
| VMa  | 25.72       | 31.1    | -44.4   | 54.22        | 305          |
| MMa  | 48.13       | 75.28   | -8.36   | 75.74        | 354          |
| NMa  | 18.01       | 0.0     | 0.0     | 0.0          | 0            |
| WMa  | 95.41       | 0.0     | 0.0     | 0.0          | 0            |
| RCIE | 39.92       | 58.66   | 26.98   | 64.57        | 25           |
| JCIE | 81.26       | -2.16   | 67.76   | 67.79        | 92           |
| GCIE | 52.23       | -42.25  | 11.76   | 43.87        | 164          |
| BCIE | 30.57       | 1.15    | -46.84  | 46.86        | 271          |

%Umfang

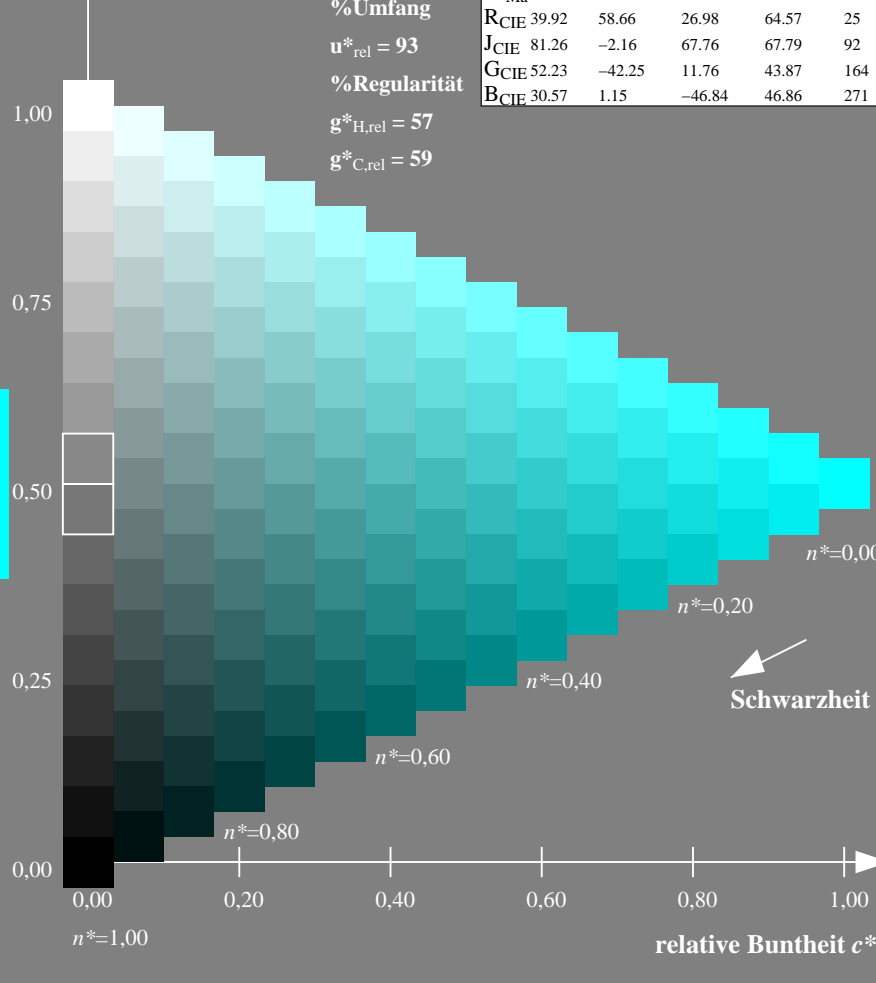
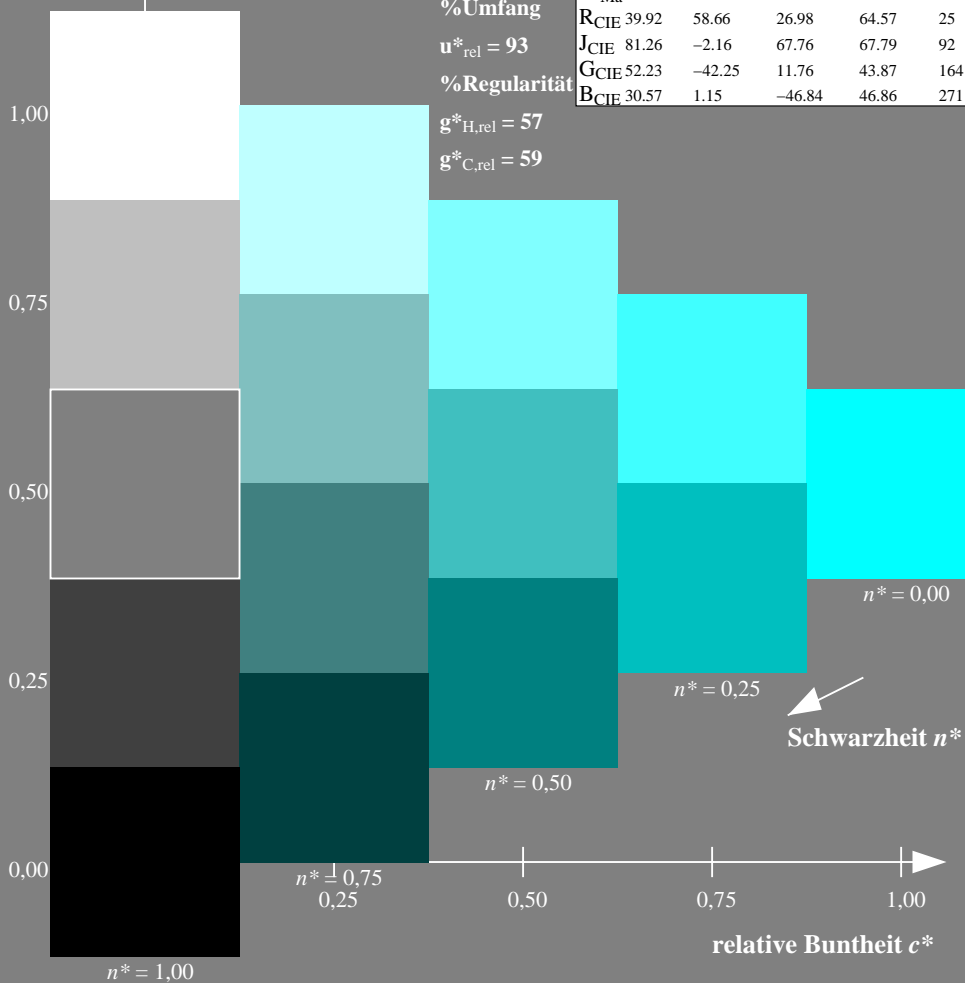
$u^*_{rel} = 93$

%Regularität

$g^*_{H,rel} = 57$

$g^*_{C,rel} = 59$

Siehe ähnliche Dateien: <http://www.ps.bam.de/Dg12/>; [www.ps.bam.de/Dg.HTM](http://www.ps.bam.de/Dg.HTM)  
 Technische Information: <http://www.ps.bam.de/33872> Version 2.1, io=1,1



Dg120-7N, 5-stufige Reihen für konstanten CIELAB Buntton 236/360 = 0.656 (links)

16-stufige Reihen für konstanten CIELAB Buntton 236/360 = 0.656 (rechts)

Prüfvorlage 1 nach DIN 33872-2, Buntton C, Seite 4/11  
 Unterscheidbarkeit: 5- und 16-stufige Farbreihen, ORS18a

Eingabe: rgb (->olv\*) setrgbcolor  
 Ausgabe: keine Eingabeänderung

BAM-Registrierung: 20080301-Dg12/10L/L12g03NA.PS /.TXT BAM-Material: Code=rh4ta  
 Anwendung für Ausgabe von Monitor-, Datenprojektor- oder Druckersystemen

Eingabe: Farbmétrisches Offset-Reflektiv-System ORS18a

für Buntton  $h^* = lab^*h = 305/360 = 0.847$

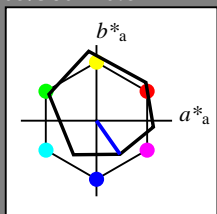
$lab^*tch$  und  $lab^*nch$

D65: Buntton V

LCH\*Ma: 26 54 305

olv\*Ma: 0.0 0.0 1.0

Dreiecks-Helligkeit  $t^*$



ORS18a; adaptierte CIELAB-Daten

|      | $L^*=L^*_a$ | $a^*_a$ | $b^*_a$ | $C^*_{ab,a}$ | $h^*_{ab,a}$ |
|------|-------------|---------|---------|--------------|--------------|
| OMa  | 47.94       | 65.39   | 50.52   | 82.63        | 38           |
| YMa  | 90.37       | -10.26  | 91.75   | 92.32        | 96           |
| LMa  | 50.9        | -62.83  | 34.96   | 71.91        | 151          |
| CMa  | 58.62       | -30.34  | -45.01  | 54.3         | 236          |
| VMa  | 25.72       | 31.1    | -44.4   | 54.22        | 305          |
| MMa  | 48.13       | 75.28   | -8.36   | 75.74        | 354          |
| NMa  | 18.01       | 0.0     | 0.0     | 0.0          | 0            |
| WMa  | 95.41       | 0.0     | 0.0     | 0.0          | 0            |
| RCIE | 39.92       | 58.66   | 26.98   | 64.57        | 25           |
| JCIE | 81.26       | -2.16   | 67.76   | 67.79        | 92           |
| GCIE | 52.23       | -42.25  | 11.76   | 43.87        | 164          |
| BCIE | 30.57       | 1.15    | -46.84  | 46.86        | 271          |

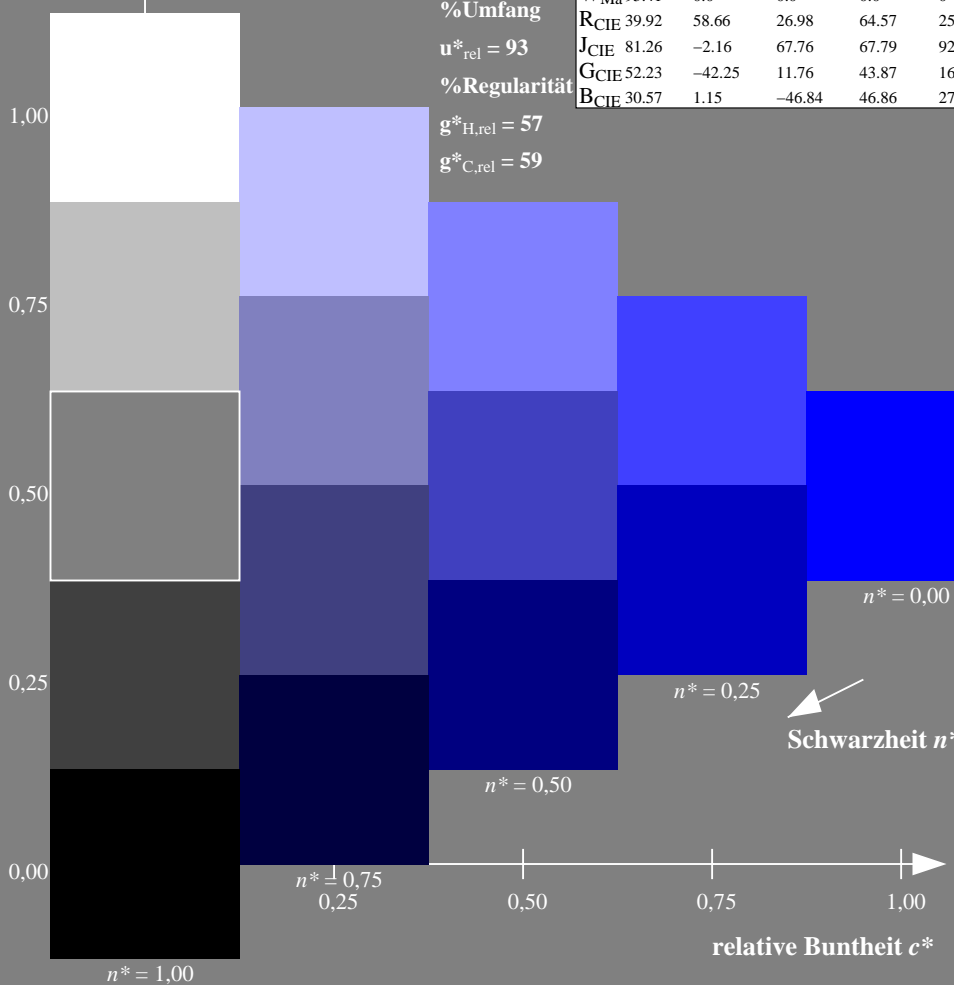
%Umfang

$u^*_{rel} = 93$

%Regularität

$g^*_{H,rel} = 57$

$g^*_{C,rel} = 59$



Dg120-7N, 5-stufige Reihen für konstanten CIELAB Buntton 305/360 = 0.847 (links)

Ausgabe: Farbmétrisches Offset-Reflektiv-System ORS18a

für Buntton  $h^* = lab^*h = 305/360 = 0.847$

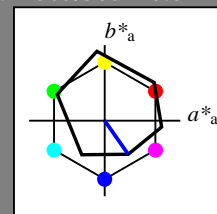
$lab^*tch$  und  $lab^*nch$

D65: Buntton V

LCH\*Ma: 26 54 305

olv\*Ma: 0.0 0.0 1.0

Dreiecks-Helligkeit  $t^*$



ORS18a; adaptierte CIELAB-Daten

|      | $L^*=L^*_a$ | $a^*_a$ | $b^*_a$ | $C^*_{ab,a}$ | $h^*_{ab,a}$ |
|------|-------------|---------|---------|--------------|--------------|
| OMa  | 47.94       | 65.39   | 50.52   | 82.63        | 38           |
| YMa  | 90.37       | -10.26  | 91.75   | 92.32        | 96           |
| LMa  | 50.9        | -62.83  | 34.96   | 71.91        | 151          |
| CMa  | 58.62       | -30.34  | -45.01  | 54.3         | 236          |
| VMa  | 25.72       | 31.1    | -44.4   | 54.22        | 305          |
| MMa  | 48.13       | 75.28   | -8.36   | 75.74        | 354          |
| NMa  | 18.01       | 0.0     | 0.0     | 0.0          | 0            |
| WMa  | 95.41       | 0.0     | 0.0     | 0.0          | 0            |
| RCIE | 39.92       | 58.66   | 26.98   | 64.57        | 25           |
| JCIE | 81.26       | -2.16   | 67.76   | 67.79        | 92           |
| GCIE | 52.23       | -42.25  | 11.76   | 43.87        | 164          |
| BCIE | 30.57       | 1.15    | -46.84  | 46.86        | 271          |

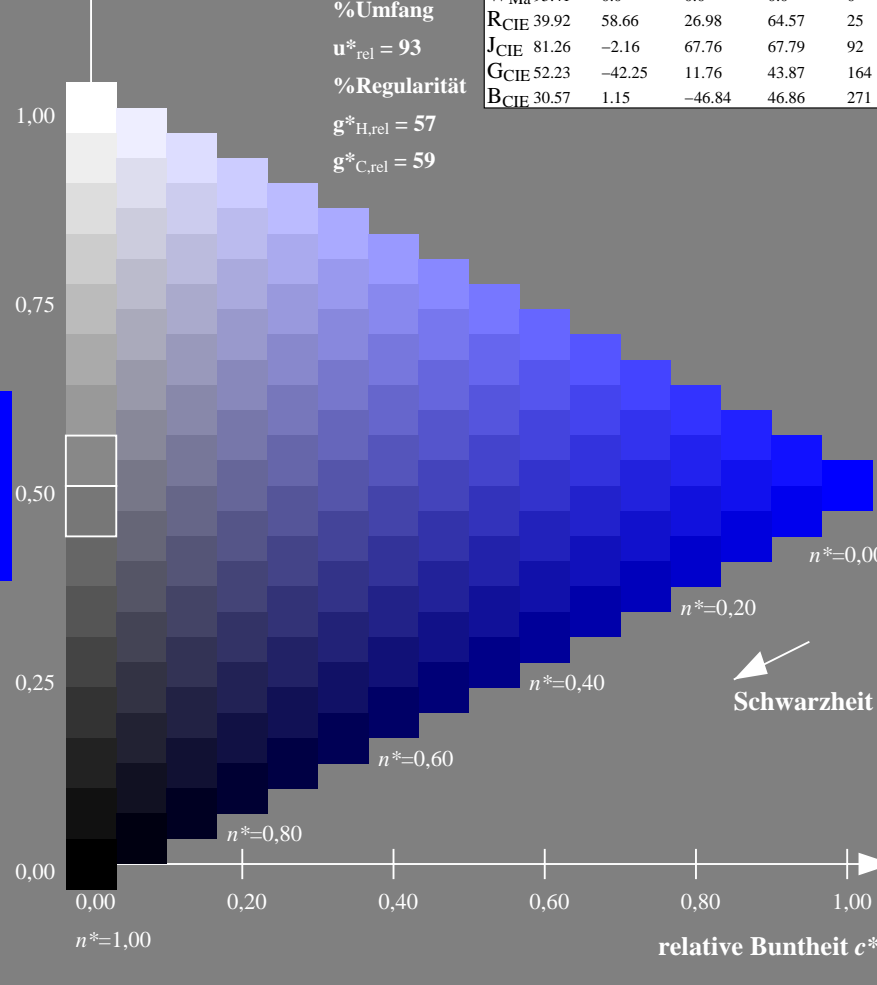
%Umfang

$u^*_{rel} = 93$

%Regularität

$g^*_{H,rel} = 57$

$g^*_{C,rel} = 59$



16-stufige Reihen für konstanten CIELAB Buntton 305/360 = 0.847 (rechts)

Prüfvorlage 1 nach DIN 33872-2, Buntton V, Seite 5/11  
 Unterscheidbarkeit: 5- und 16-stufige Farbreihen, ORS18a

Eingabe:  $rgb (->olv^*) setrgbcolor$   
 Ausgabe: keine Eingabeänderung

Siehe ähnliche Dateien: <http://www.ps.bam.de/Dg12/>; [www.ps.bam.de/33872](http://www.ps.bam.de/33872) Version 2.1, io=1,1

BAM-Registrierung: 20080301-Dg12/10L/L12g04NA.PS /.TXT BAM-Material: Code=rh4ta  
 Anwendung für Ausgabe von Monitor-, Datenprojektor- oder Druckersystemen

Eingabe: Farbmétrisches Offset-Reflektiv-System ORS18a

für Buntton  $h^* = lab^*h = 354/360 = 0.982$

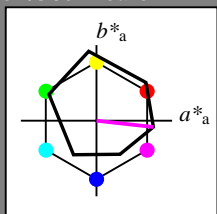
lab\*tch und lab\*nch

D65: Buntton M

LCH\*Ma: 48 76 354

olv\*Ma: 1.0 0.0 1.0

Dreiecks-Helligkeit  $t^*$



ORS18a; adaptierte CIELAB-Daten

|      | $L^*=L^*_a$ | $a^*_a$ | $b^*_a$ | $C^*_{ab,a}$ | $h^*_{ab,a}$ |
|------|-------------|---------|---------|--------------|--------------|
| OMa  | 47.94       | 65.39   | 50.52   | 82.63        | 38           |
| YMa  | 90.37       | -10.26  | 91.75   | 92.32        | 96           |
| LMa  | 50.9        | -62.83  | 34.96   | 71.91        | 151          |
| CMa  | 58.62       | -30.34  | -45.01  | 54.3         | 236          |
| VMa  | 25.72       | 31.1    | -44.4   | 54.22        | 305          |
| MMa  | 48.13       | 75.28   | -8.36   | 75.74        | 354          |
| NMa  | 18.01       | 0.0     | 0.0     | 0.0          | 0            |
| WMa  | 95.41       | 0.0     | 0.0     | 0.0          | 0            |
| RCIE | 39.92       | 58.66   | 26.98   | 64.57        | 25           |
| JCIE | 81.26       | -2.16   | 67.76   | 67.79        | 92           |
| GCIE | 52.23       | -42.25  | 11.76   | 43.87        | 164          |
| BCIE | 30.57       | 1.15    | -46.84  | 46.86        | 271          |

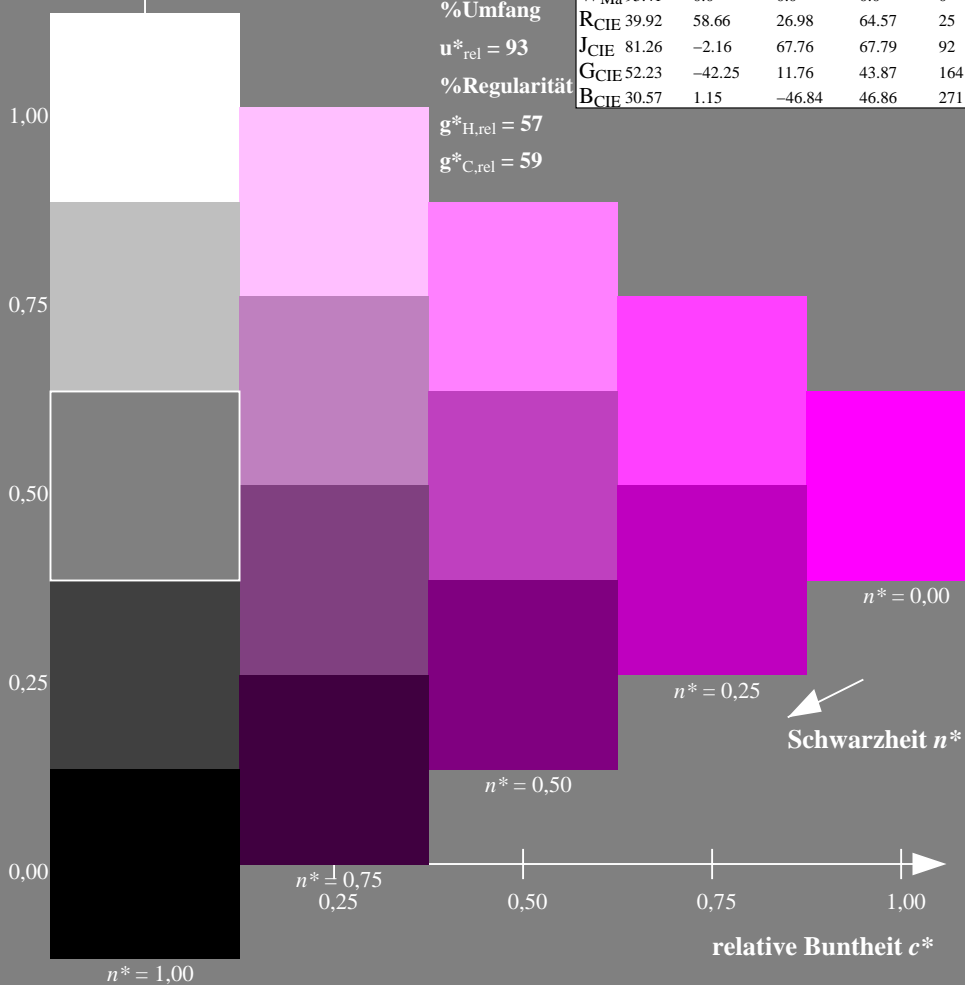
%Umfang

$u^*_{rel} = 93$

%Regularität

$g^*_{H,rel} = 57$

$g^*_{C,rel} = 59$



Ausgabe: Farbmétrisches Offset-Reflektiv-System ORS18a

für Buntton  $h^* = lab^*h = 354/360 = 0.982$

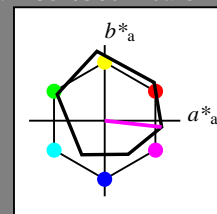
lab\*tch und lab\*nch

D65: Buntton M

LCH\*Ma: 48 76 354

olv\*Ma: 1.0 0.0 1.0

Dreiecks-Helligkeit  $t^*$



ORS18a; adaptierte CIELAB-Daten

|      | $L^*=L^*_a$ | $a^*_a$ | $b^*_a$ | $C^*_{ab,a}$ | $h^*_{ab,a}$ |
|------|-------------|---------|---------|--------------|--------------|
| OMa  | 47.94       | 65.39   | 50.52   | 82.63        | 38           |
| YMa  | 90.37       | -10.26  | 91.75   | 92.32        | 96           |
| LMa  | 50.9        | -62.83  | 34.96   | 71.91        | 151          |
| CMa  | 58.62       | -30.34  | -45.01  | 54.3         | 236          |
| VMa  | 25.72       | 31.1    | -44.4   | 54.22        | 305          |
| MMa  | 48.13       | 75.28   | -8.36   | 75.74        | 354          |
| NMa  | 18.01       | 0.0     | 0.0     | 0.0          | 0            |
| WMa  | 95.41       | 0.0     | 0.0     | 0.0          | 0            |
| RCIE | 39.92       | 58.66   | 26.98   | 64.57        | 25           |
| JCIE | 81.26       | -2.16   | 67.76   | 67.79        | 92           |
| GCIE | 52.23       | -42.25  | 11.76   | 43.87        | 164          |
| BCIE | 30.57       | 1.15    | -46.84  | 46.86        | 271          |

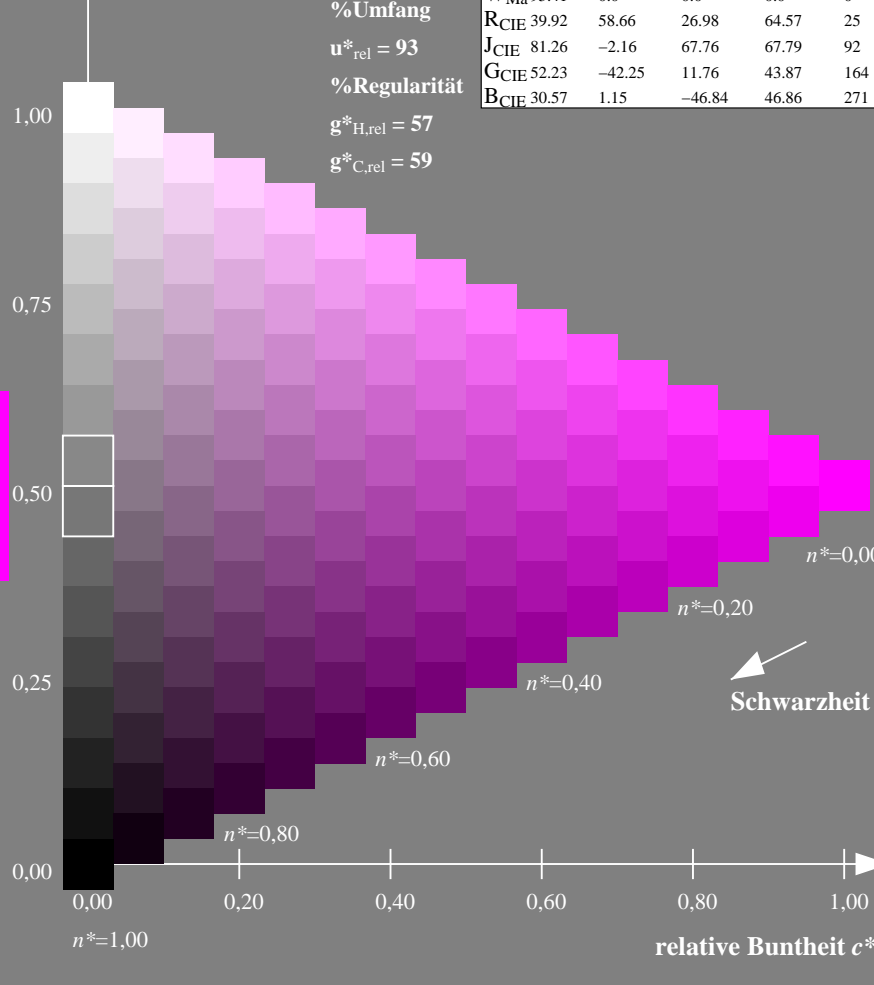
%Umfang

$u^*_{rel} = 93$

%Regularität

$g^*_{H,rel} = 57$

$g^*_{C,rel} = 59$



Dg120-7N, 5-stufige Reihen für konstanten CIELAB Buntton 354/360 = 0.982 (links)

16-stufige Reihen für konstanten CIELAB Buntton 354/360 = 0.982 (rechts)

Prüfvorlage 1 nach DIN 33872-2, Buntton M, Seite 6/11  
 Unterscheidbarkeit: 5- und 16-stufige Farbreihen, ORS18a

Eingabe: rgb (->olv\*) setrgbcolor  
 Ausgabe: keine Eingabeänderung

BAM-Registrierung: 20080301-Dg12/10L/L12g05NA.PS /.TXT BAM-Material: Code=rh4ta  
 Anwendung für Ausgabe von Monitor-, Datenprojektor- oder Druckersystemen

Eingabe: Farbmétrisches Offset-Reflektiv-System ORS18a

für Buntton  $h^* = lab^*h = 25/360 = 0.069$

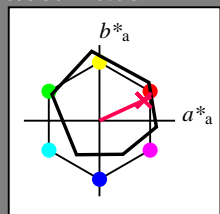
lab\*tch und lab\*nch

D65: Buntton R

LCH\*Ma: 48 75 25

olv\*Ma: 1.0 0.0 0.32

Dreiecks-Helligkeit  $t^*$



ORS18a; adaptierte CIELAB-Daten

|      | $L^*=L^*_a$ | $a^*_a$ | $b^*_a$ | $C^*_{ab,a}$ | $h^*_{ab,a}$ |
|------|-------------|---------|---------|--------------|--------------|
| OMa  | 47.94       | 65.39   | 50.52   | 82.63        | 38           |
| YMa  | 90.37       | -10.26  | 91.75   | 92.32        | 96           |
| LMa  | 50.9        | -62.83  | 34.96   | 71.91        | 151          |
| CMa  | 58.62       | -30.34  | -45.01  | 54.3         | 236          |
| VMa  | 25.72       | 31.1    | -44.4   | 54.22        | 305          |
| MMa  | 48.13       | 75.28   | -8.36   | 75.74        | 354          |
| NMa  | 18.01       | 0.0     | 0.0     | 0.0          | 0            |
| WMa  | 95.41       | 0.0     | 0.0     | 0.0          | 0            |
| RCIE | 39.92       | 58.66   | 26.98   | 64.57        | 25           |
| JCIE | 81.26       | -2.16   | 67.76   | 67.79        | 92           |
| GCIE | 52.23       | -42.25  | 11.76   | 43.87        | 164          |
| BCIE | 30.57       | 1.15    | -46.84  | 46.86        | 271          |

%Umfang

$u^*_{rel} = 93$

%Regularität

$g^*_{H,rel} = 57$

$g^*_{C,rel} = 59$

Ausgabe: Farbmétrisches Offset-Reflektiv-System ORS18a

für Buntton  $h^* = lab^*h = 25/360 = 0.069$

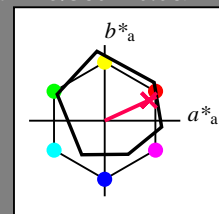
lab\*tch und lab\*nch

D65: Buntton R

LCH\*Ma: 48 75 25

olv\*Ma: 1.0 0.0 0.32

Dreiecks-Helligkeit  $t^*$



ORS18a; adaptierte CIELAB-Daten

|      | $L^*=L^*_a$ | $a^*_a$ | $b^*_a$ | $C^*_{ab,a}$ | $h^*_{ab,a}$ |
|------|-------------|---------|---------|--------------|--------------|
| OMa  | 47.94       | 65.39   | 50.52   | 82.63        | 38           |
| YMa  | 90.37       | -10.26  | 91.75   | 92.32        | 96           |
| LMa  | 50.9        | -62.83  | 34.96   | 71.91        | 151          |
| CMa  | 58.62       | -30.34  | -45.01  | 54.3         | 236          |
| VMa  | 25.72       | 31.1    | -44.4   | 54.22        | 305          |
| MMa  | 48.13       | 75.28   | -8.36   | 75.74        | 354          |
| NMa  | 18.01       | 0.0     | 0.0     | 0.0          | 0            |
| WMa  | 95.41       | 0.0     | 0.0     | 0.0          | 0            |
| RCIE | 39.92       | 58.66   | 26.98   | 64.57        | 25           |
| JCIE | 81.26       | -2.16   | 67.76   | 67.79        | 92           |
| GCIE | 52.23       | -42.25  | 11.76   | 43.87        | 164          |
| BCIE | 30.57       | 1.15    | -46.84  | 46.86        | 271          |

%Umfang

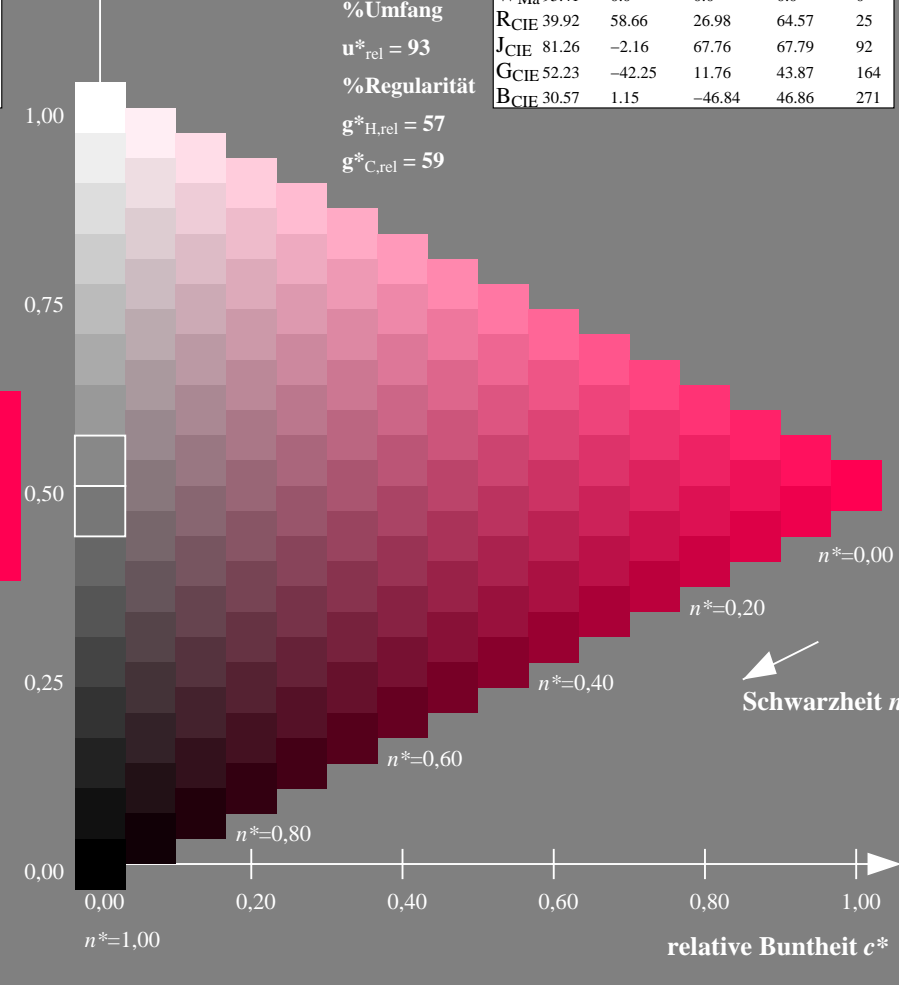
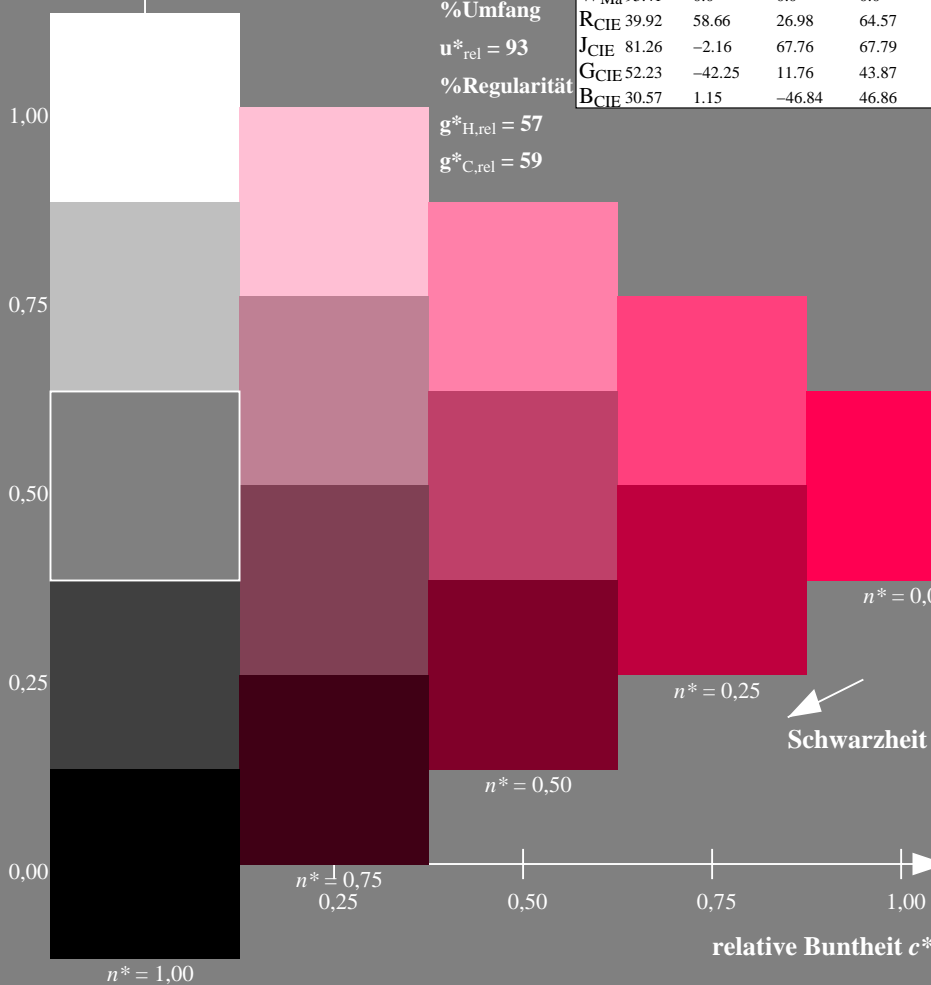
$u^*_{rel} = 93$

%Regularität

$g^*_{H,rel} = 57$

$g^*_{C,rel} = 59$

Siehe ähnliche Dateien: <http://www.ps.bam.de/Dg12/>; [www.ps.bam.de/Dg.HTM](http://www.ps.bam.de/Dg.HTM)  
 Technische Information: <http://www.ps.bam.de/33872> Version 2.1, io=1,1



Dg120-7N, 5-stufige Reihen für konstanten CIELAB Buntton 25/360 = 0.069 (links)

16-stufige Reihen für konstanten CIELAB Buntton 25/360 = 0.069 (rechts)

Prüfvorlage 1 nach DIN 33872-2, Buntton R, Seite 7/11  
 Unterscheidbarkeit: 5- und 16-stufige Farbreihen, ORS18a

Eingabe: rgb (->rgb\*) setrgbcolor  
 Ausgabe: keine Eingabeänderung

BAM-Registrierung: 20080301-Dg12/10L/L12g06NA.PS /.TXT BAM-Material: Code=rh4ta  
 Anwendung für Ausgabe von Monitor-, Datenprojektor- oder Druckersystemen

Eingabe: Farbmétrisches Offset-Reflektiv-System ORS18a

für Buntton  $h^* = lab^*h = 92/360 = 0.255$

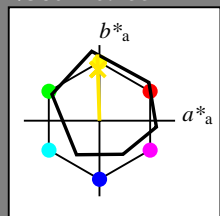
$lab^*tch$  und  $lab^*nch$

D65: Buntton J

LCH\*Ma: 86 88 92

olv\*Ma: 1.0 0.9 0.0

Dreiecks-Helligkeit  $t^*$



ORS18a; adaptierte CIELAB-Daten

|      | $L^*=L^*_a$ | $a^*_a$ | $b^*_a$ | $C^*_{ab,a}$ | $h^*_{ab,a}$ |
|------|-------------|---------|---------|--------------|--------------|
| OMa  | 47.94       | 65.39   | 50.52   | 82.63        | 38           |
| YMa  | 90.37       | -10.26  | 91.75   | 92.32        | 96           |
| LMa  | 50.9        | -62.83  | 34.96   | 71.91        | 151          |
| CMa  | 58.62       | -30.34  | -45.01  | 54.3         | 236          |
| VMa  | 25.72       | 31.1    | -44.4   | 54.22        | 305          |
| MMa  | 48.13       | 75.28   | -8.36   | 75.74        | 354          |
| NMa  | 18.01       | 0.0     | 0.0     | 0.0          | 0            |
| WMa  | 95.41       | 0.0     | 0.0     | 0.0          | 0            |
| RCIE | 39.92       | 58.66   | 26.98   | 64.57        | 25           |
| JCIE | 81.26       | -2.16   | 67.76   | 67.79        | 92           |
| GCIE | 52.23       | -42.25  | 11.76   | 43.87        | 164          |
| BCIE | 30.57       | 1.15    | -46.84  | 46.86        | 271          |

%Umfang

$u^*_{rel} = 93$

%Regularität

$g^*_{H,rel} = 57$

$g^*_{C,rel} = 59$

Ausgabe: Farbmétrisches Offset-Reflektiv-System ORS18a

für Buntton  $h^* = lab^*h = 92/360 = 0.255$

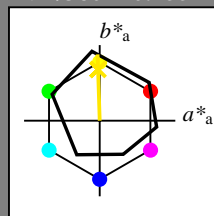
$lab^*tch$  und  $lab^*nch$

D65: Buntton J

LCH\*Ma: 86 88 92

olv\*Ma: 1.0 0.9 0.0

Dreiecks-Helligkeit  $t^*$



ORS18a; adaptierte CIELAB-Daten

|      | $L^*=L^*_a$ | $a^*_a$ | $b^*_a$ | $C^*_{ab,a}$ | $h^*_{ab,a}$ |
|------|-------------|---------|---------|--------------|--------------|
| OMa  | 47.94       | 65.39   | 50.52   | 82.63        | 38           |
| YMa  | 90.37       | -10.26  | 91.75   | 92.32        | 96           |
| LMa  | 50.9        | -62.83  | 34.96   | 71.91        | 151          |
| CMa  | 58.62       | -30.34  | -45.01  | 54.3         | 236          |
| VMa  | 25.72       | 31.1    | -44.4   | 54.22        | 305          |
| MMa  | 48.13       | 75.28   | -8.36   | 75.74        | 354          |
| NMa  | 18.01       | 0.0     | 0.0     | 0.0          | 0            |
| WMa  | 95.41       | 0.0     | 0.0     | 0.0          | 0            |
| RCIE | 39.92       | 58.66   | 26.98   | 64.57        | 25           |
| JCIE | 81.26       | -2.16   | 67.76   | 67.79        | 92           |
| GCIE | 52.23       | -42.25  | 11.76   | 43.87        | 164          |
| BCIE | 30.57       | 1.15    | -46.84  | 46.86        | 271          |

%Umfang

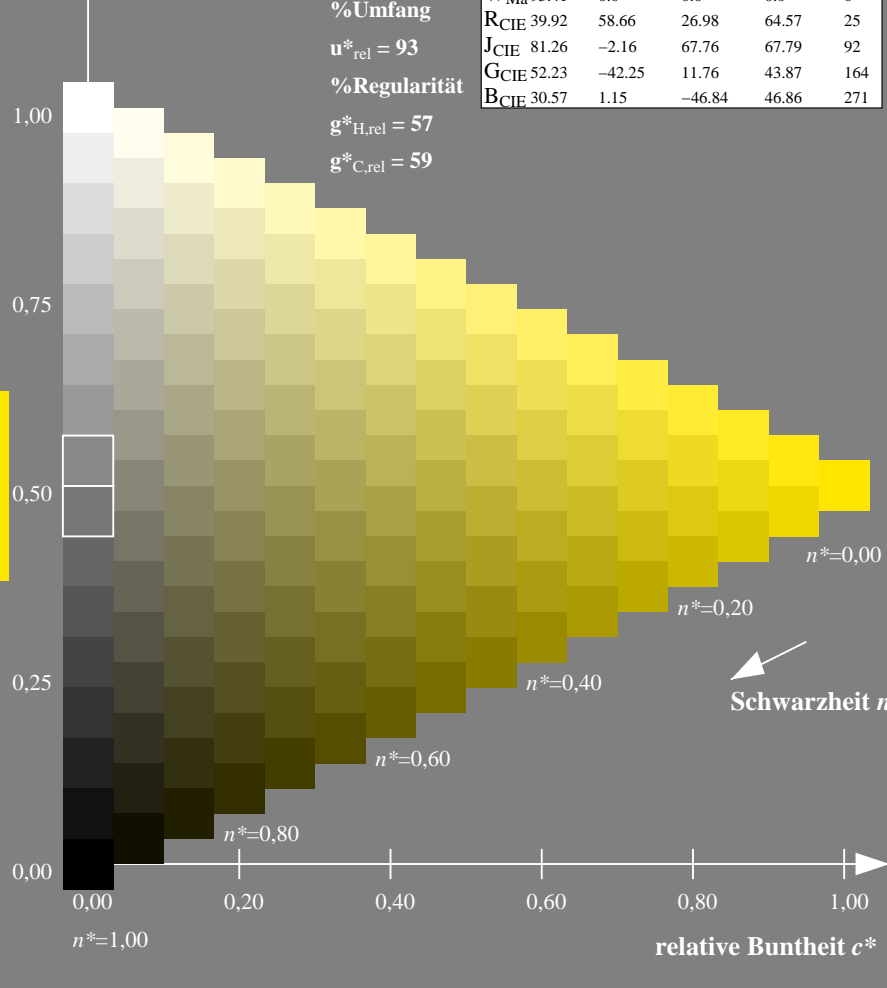
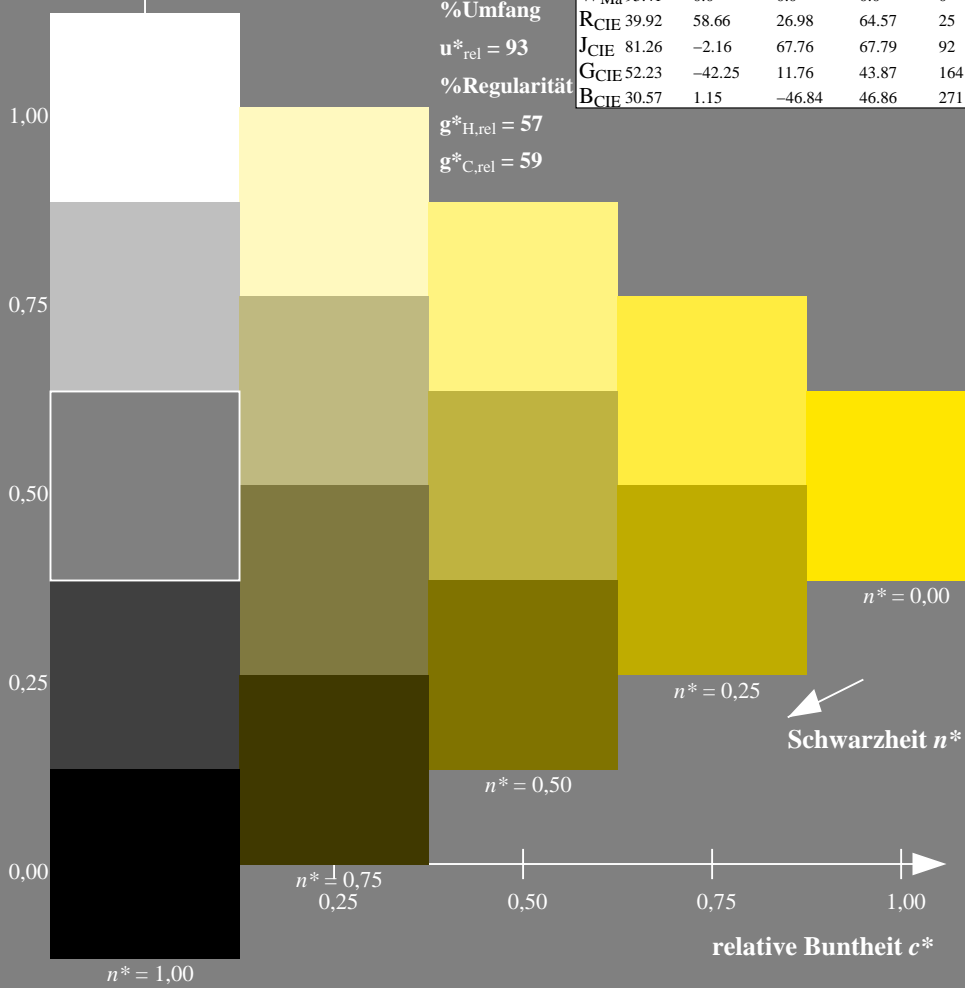
$u^*_{rel} = 93$

%Regularität

$g^*_{H,rel} = 57$

$g^*_{C,rel} = 59$

Siehe ähnliche Dateien: <http://www.ps.bam.de/Dg12/>; [www.ps.bam.de/33872](http://www.ps.bam.de/33872) Version 2.1, io=1,1



Dg120-7N, 5-stufige Reihen für konstanten CIELAB Buntton 92/360 = 0.255 (links)

16-stufige Reihen für konstanten CIELAB Buntton 92/360 = 0.255 (rechts)

Prüfvorlage 1 nach DIN 33872-2, Buntton J, Seite 8/11  
 Unterscheidbarkeit: 5- und 16-stufige Farbreihen, ORS18a

Eingabe:  $rgb (->rgb^*) setrgbcolor$   
 Ausgabe: keine Eingabeänderung

BAM-Registrierung: 20080301-Dg12/10L/L12g07NA.PS /.TXT BAM-Material: Code=rh4ta  
 Anwendung für Ausgabe von Monitor-, Datenprojektor- oder Druckersystemen

Eingabe: Farbmetrisches Offset-Reflektiv-System ORS18a

für Buntton  $h^* = lab^*h = 164/360 = 0.457$

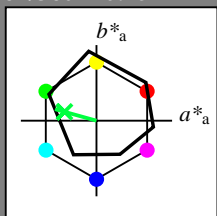
$lab^*tch$  und  $lab^*nch$

D65: Buntton G

LCH\*Ma: 53 57 164

olv\*Ma: 0.0 1.0 0.25

Dreiecks-Helligkeit  $t^*$



ORS18a; adaptierte CIELAB-Daten

|      | $L^*=L^*_a$ | $a^*_a$ | $b^*_a$ | $C^*_{ab,a}$ | $h^*_{ab,a}$ |
|------|-------------|---------|---------|--------------|--------------|
| OMa  | 47.94       | 65.39   | 50.52   | 82.63        | 38           |
| YMa  | 90.37       | -10.26  | 91.75   | 92.32        | 96           |
| LMa  | 50.9        | -62.83  | 34.96   | 71.91        | 151          |
| CMa  | 58.62       | -30.34  | -45.01  | 54.3         | 236          |
| VMa  | 25.72       | 31.1    | -44.4   | 54.22        | 305          |
| MMa  | 48.13       | 75.28   | -8.36   | 75.74        | 354          |
| NMa  | 18.01       | 0.0     | 0.0     | 0.0          | 0            |
| WMa  | 95.41       | 0.0     | 0.0     | 0.0          | 0            |
| RCIE | 39.92       | 58.66   | 26.98   | 64.57        | 25           |
| JCIE | 81.26       | -2.16   | 67.76   | 67.79        | 92           |
| GCIE | 52.23       | -42.25  | 11.76   | 43.87        | 164          |
| BCIE | 30.57       | 1.15    | -46.84  | 46.86        | 271          |

%Umfang

$u^*_{rel} = 93$

%Regularität

$g^*_{H,rel} = 57$

$g^*_{C,rel} = 59$

Ausgabe: Farbmetrisches Offset-Reflektiv-System ORS18a

für Buntton  $h^* = lab^*h = 164/360 = 0.457$

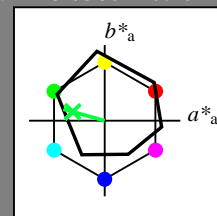
$lab^*tch$  und  $lab^*nch$

D65: Buntton G

LCH\*Ma: 53 57 164

olv\*Ma: 0.0 1.0 0.25

Dreiecks-Helligkeit  $t^*$



ORS18a; adaptierte CIELAB-Daten

|      | $L^*=L^*_a$ | $a^*_a$ | $b^*_a$ | $C^*_{ab,a}$ | $h^*_{ab,a}$ |
|------|-------------|---------|---------|--------------|--------------|
| OMa  | 47.94       | 65.39   | 50.52   | 82.63        | 38           |
| YMa  | 90.37       | -10.26  | 91.75   | 92.32        | 96           |
| LMa  | 50.9        | -62.83  | 34.96   | 71.91        | 151          |
| CMa  | 58.62       | -30.34  | -45.01  | 54.3         | 236          |
| VMa  | 25.72       | 31.1    | -44.4   | 54.22        | 305          |
| MMa  | 48.13       | 75.28   | -8.36   | 75.74        | 354          |
| NMa  | 18.01       | 0.0     | 0.0     | 0.0          | 0            |
| WMa  | 95.41       | 0.0     | 0.0     | 0.0          | 0            |
| RCIE | 39.92       | 58.66   | 26.98   | 64.57        | 25           |
| JCIE | 81.26       | -2.16   | 67.76   | 67.79        | 92           |
| GCIE | 52.23       | -42.25  | 11.76   | 43.87        | 164          |
| BCIE | 30.57       | 1.15    | -46.84  | 46.86        | 271          |

%Umfang

$u^*_{rel} = 93$

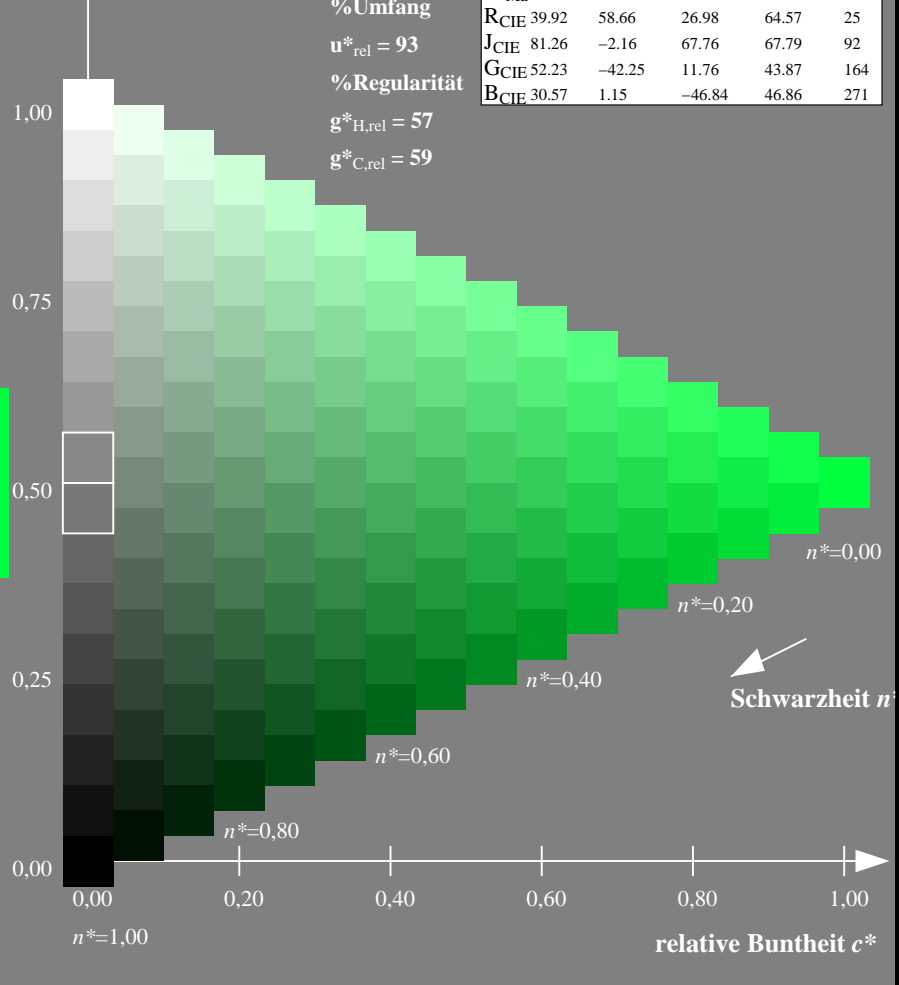
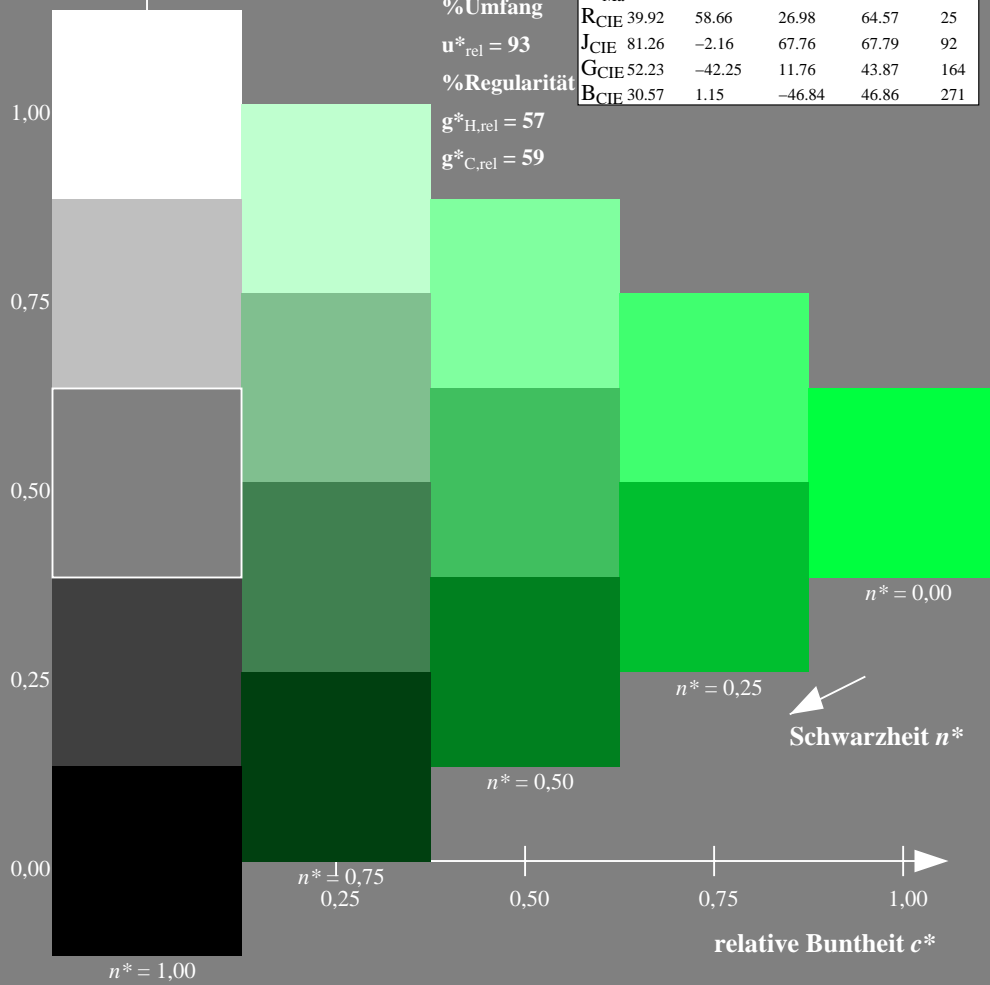
%Regularität

$g^*_{H,rel} = 57$

$g^*_{C,rel} = 59$

Siehe ähnliche Dateien: <http://www.ps.bam.de/Dg12/>; [www.ps.bam.de/Dg.HTM](http://www.ps.bam.de/Dg.HTM)  
 Technische Information: <http://www.ps.bam.de/33872> Version 2.1, io=1,1

BAM-Registrierung: 20080301-Dg12/10L/L12g08NA.PS /.TXT BAM-Material: Code=rh4ta  
 Anwendung für Ausgabe von Monitor-, Datenprojektor- oder Druckersystemen



Dg120-7N, 5-stufige Reihen für konstanten CIELAB Buntton 164/360 = 0.457 (links)

16-stufige Reihen für konstanten CIELAB Buntton 164/360 = 0.457 (rechts)

Prüfvorlage 1 nach DIN 33872-2, Buntton G, Seite 9/11  
 Unterscheidbarkeit: 5- und 16-stufige Farbreihen, ORS18a

Eingabe:  $rgb (->rgb^*) setrgbcolor$   
 Ausgabe: keine Eingabeänderung

Eingabe: Farbmétrisches Offset-Reflektiv-System ORS18a

für Buntton  $h^* = lab^*h = 271/360 = 0.754$

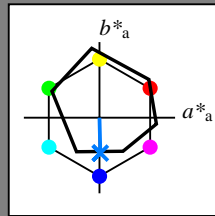
$lab^*tch$  und  $lab^*nch$

D65: Buntton B

LCH\*Ma: 42 45 271

olv\*Ma: 0.0 0.49 1.0

Dreiecks-Helligkeit  $t^*$



ORS18a; adaptierte CIELAB-Daten

|      | $L^*=L^*_a$ | $a^*_a$ | $b^*_a$ | $C^*_{ab,a}$ | $h^*_{ab,a}$ |
|------|-------------|---------|---------|--------------|--------------|
| OMa  | 47.94       | 65.39   | 50.52   | 82.63        | 38           |
| YMa  | 90.37       | -10.26  | 91.75   | 92.32        | 96           |
| LMa  | 50.9        | -62.83  | 34.96   | 71.91        | 151          |
| CMa  | 58.62       | -30.34  | -45.01  | 54.3         | 236          |
| VMa  | 25.72       | 31.1    | -44.4   | 54.22        | 305          |
| MMa  | 48.13       | 75.28   | -8.36   | 75.74        | 354          |
| NMa  | 18.01       | 0.0     | 0.0     | 0.0          | 0            |
| WMa  | 95.41       | 0.0     | 0.0     | 0.0          | 0            |
| RCIE | 39.92       | 58.66   | 26.98   | 64.57        | 25           |
| JCIE | 81.26       | -2.16   | 67.76   | 67.79        | 92           |
| GCIE | 52.23       | -42.25  | 11.76   | 43.87        | 164          |
| BCIE | 30.57       | 1.15    | -46.84  | 46.86        | 271          |

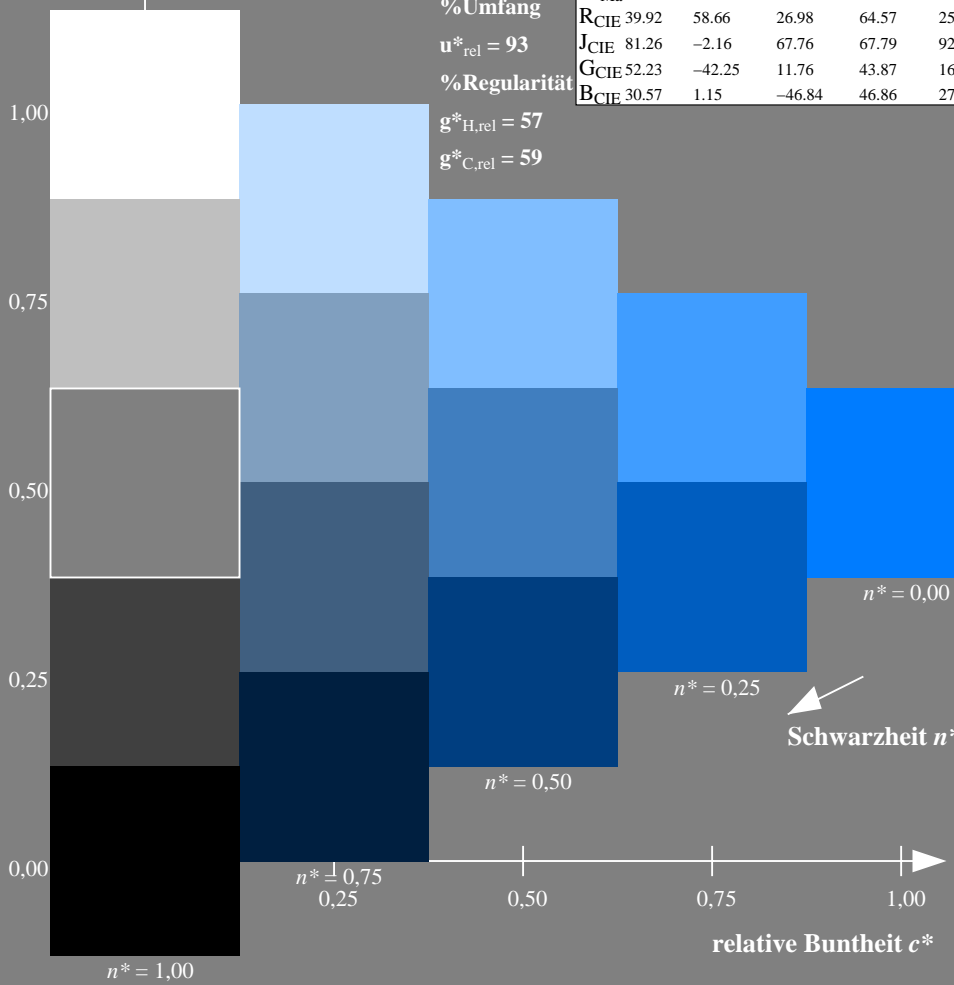
%Umfang

$u^*_{rel} = 93$

%Regularität

$g^*_{H,rel} = 57$

$g^*_{C,rel} = 59$



Dg120-7N, 5-stufige Reihen für konstanten CIELAB Buntton 271/360 = 0.754 (links)

Ausgabe: Farbmétrisches Offset-Reflektiv-System ORS18a

für Buntton  $h^* = lab^*h = 271/360 = 0.754$

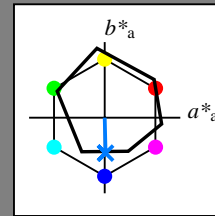
$lab^*tch$  und  $lab^*nch$

D65: Buntton B

LCH\*Ma: 42 45 271

olv\*Ma: 0.0 0.49 1.0

Dreiecks-Helligkeit  $t^*$



ORS18a; adaptierte CIELAB-Daten

|      | $L^*=L^*_a$ | $a^*_a$ | $b^*_a$ | $C^*_{ab,a}$ | $h^*_{ab,a}$ |
|------|-------------|---------|---------|--------------|--------------|
| OMa  | 47.94       | 65.39   | 50.52   | 82.63        | 38           |
| YMa  | 90.37       | -10.26  | 91.75   | 92.32        | 96           |
| LMa  | 50.9        | -62.83  | 34.96   | 71.91        | 151          |
| CMa  | 58.62       | -30.34  | -45.01  | 54.3         | 236          |
| VMa  | 25.72       | 31.1    | -44.4   | 54.22        | 305          |
| MMa  | 48.13       | 75.28   | -8.36   | 75.74        | 354          |
| NMa  | 18.01       | 0.0     | 0.0     | 0.0          | 0            |
| WMa  | 95.41       | 0.0     | 0.0     | 0.0          | 0            |
| RCIE | 39.92       | 58.66   | 26.98   | 64.57        | 25           |
| JCIE | 81.26       | -2.16   | 67.76   | 67.79        | 92           |
| GCIE | 52.23       | -42.25  | 11.76   | 43.87        | 164          |
| BCIE | 30.57       | 1.15    | -46.84  | 46.86        | 271          |

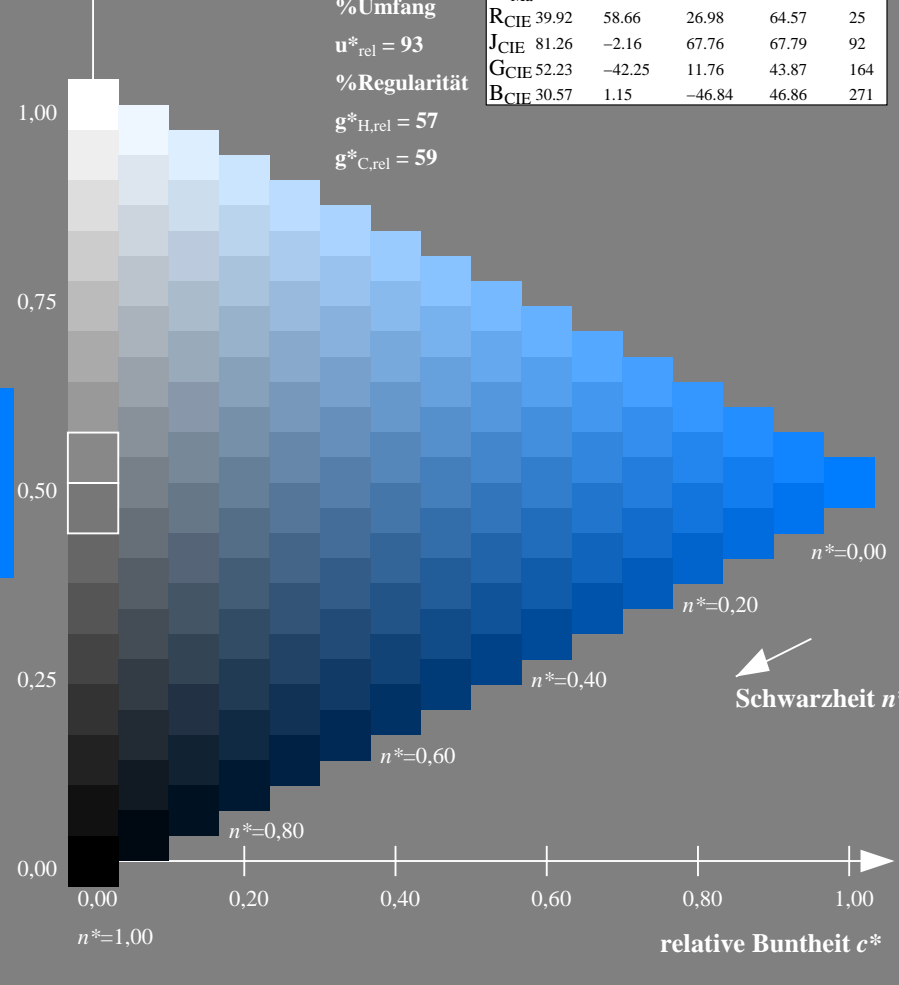
%Umfang

$u^*_{rel} = 93$

%Regularität

$g^*_{H,rel} = 57$

$g^*_{C,rel} = 59$



16-stufige Reihen für konstanten CIELAB Buntton 271/360 = 0.754 (rechts)

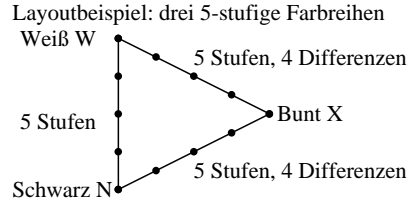
Prüfvorlage 1 nach DIN 33872-2, Buntton B, Seite 10/11  
 Unterscheidbarkeit: 5- und 16-stufige Farbreihen, ORS18a

Eingabe:  $rgb (->rgb^*) setrgbcolor$   
 Ausgabe: keine Eingabeänderung

Siehe ähnliche Dateien: <http://www.ps.bam.de/Dg12/>; [www.ps.bam.de/Dg.HTM](http://www.ps.bam.de/Dg.HTM)  
 Technische Information: <http://www.ps.bam.de/33872> Version 2.1, io=1,1

BAM-Registrierung: 20080301-Dg12/10L/L12g09NA.PS /.TXT BAM-Material: Code=rh4ta  
 Anwendung für Ausgabe von Monitor-, Datenprojektor- oder Druckersystemen

**Unterscheidbarkeit von 5-stufigen Farbreihen (Ja/Nein-Entscheidung)**



Es gibt drei Grundfarben auf jeder Seite:  
Schwarz N, Weiß W und Bunt X.  
Zehn Seiten enthalten 10 Bunttonebenen  
X = OYLCVM und RJGB.  
Es gibt maximal 12 unterscheidbare Stufen.

Alle Stufen der drei Serien N-W, W-X und X-N sollen unterscheidbar sein auf **allen** Seiten.  
**Sind die drei 5-stufigen Reihen auf allen Seiten unterscheidbar? unterstreiche: Ja/Nein**  
Nur im Fall von Nein: Sind die drei 5-stufigen Reihen auf Seite x von 10 Seiten unterscheidbar?  
Unterstreiche Ja/Nein und gib im Fall von Nein die Anzahl unterscheidbarer Stufen an  
Seite 1: Ja/Nein, wenn Nein ../12 Stufendifferenzen sind unterscheidbar von O = Orangerot  
Seite 2: Ja/Nein, wenn Nein ../12 Stufendifferenzen sind unterscheidbar von Y = Gelb  
Seite 3: Ja/Nein, wenn Nein ../12 Stufendifferenzen sind unterscheidbar von L = Laubgrün  
Seite 4: Ja/Nein, wenn Nein ../12 Stufendifferenzen sind unterscheidbar von C = Cyanblau  
Seite 5: Ja/Nein, wenn Nein ../12 Stufendifferenzen sind unterscheidbar von V = Violettblau  
Seite 6: Ja/Nein, wenn Nein ../12 Stufendifferenzen sind unterscheidbar von M = Magentarot  
Seite 7: Ja/Nein, wenn Nein ../12 Stufendifferenzen sind unterscheidbar von R = Elementarrot  
Seite 8: Ja/Nein, wenn Nein ../12 Stufendifferenzen sind unterscheidbar von J = Elementargelb  
Seite 9: Ja/Nein, wenn Nein ../12 Stufendifferenzen sind unterscheidbar von G = Elementargrün  
Seite 10: Ja/Nein, wenn Nein ../12 Stufendifferenzen sind unterscheidbar von B = Elementarblau  
Summe: ../10 Ja-Seiten und ../120 Stufendifferenzen unterscheidbar

Teil 1 Dg120-3

**Dokumentation von Dateiformat, Hard- und Software für diese Prüfung:**

**PDF-Datei:** entweder [www.ps.bam.de/Dg12/10L/L12g00NP.PDF](http://www.ps.bam.de/Dg12/10L/L12g00NP.PDF) oder [www.ps.bam.de/Dg12/10P/P12g00NP.PDF](http://www.ps.bam.de/Dg12/10P/P12g00NP.PDF) **unterstreiche Ja/Nein**  
**PS-Datei:** entweder [www.ps.bam.de/Dg12/10L/L12g00NA.PS](http://www.ps.bam.de/Dg12/10L/L12g00NA.PS) oder [www.ps.bam.de/Dg12/10P/P12g00NA.PS](http://www.ps.bam.de/Dg12/10P/P12g00NA.PS) **oder unterstreiche Ja/Nein**

**benutztes Rechner-Betriebssystem:**  
nur eines von Windows/Mac/Unix/anderes und Version:.....

**Die Beurteilung ist für die Geräteausgabe: unterstreiche Monitor/Datenprojektor/Drucker**  
Geräte-Modell, -Treiber und -Version:.....

**Geräteausgabe mit PDF/PS-Datei: unterstreiche PDF-/PS-Datei**

**Für Geräteausgabe mit PDF-Datei (L/P)12g00NP.PDF:**  
entweder PDF-Dateitransfer "download, copy" nach PDF-Gerät.....  
oder mit Rechnersystem-Interpretation durch "Display-PDF":.....  
oder mit Software, z. B. Adobe-Reader/-Acrobat und Version:.....  
oder mit Software, z. B. Ghostscript und Version:.....

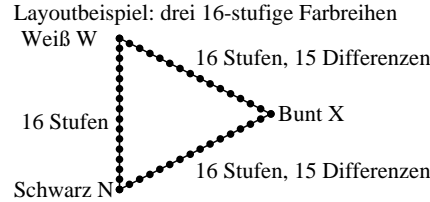
**Für Geräteausgabe mit PS-Datei (L/P)12g00NA.PS:**  
entweder PS-Dateitransfer "download, copy" nach PS-Gerät.....  
oder mit Rechnersystem-Interpretation durch "Display-PS":.....  
oder mit Software, z. B. Ghostscript und Version:.....  
oder mit Software, z. B. Mac-Yap und Version:.....

Spezielle Anmerkungen, z. B. Ausgabe von Landschaftsdatei (L) L12g00NA.PS wurde abgeschnitten, Porträtdatei (P) P12g00NA.PS wurde benutzt:.....

Teil 3 Dg120-5

Vordruck A für Prüfungsvorlage 1 nach DIN 33872-2, Seite 11/11  
Unterscheidbarkeit Farbreihen (Ja/Nein-Entscheidung)

**Unterscheidbarkeit von 16-stufigen Farbreihen (Ja/Nein-Entscheidung)**



Es gibt drei Grundfarben auf jeder Seite:  
Schwarz N, Weiß W und Bunt X.  
Zehn Seiten enthalten 10 Bunttonebenen  
X = OYLCVM und RJGB.  
Es gibt maximal 45 unterscheidbare Stufen.

Alle Stufen der drei Serien N-W, W-X und X-N sollen unterscheidbar sein auf **allen** Seiten.  
**Sind die drei 16-stufigen Reihen auf allen Seiten unterscheidbar? unterstreiche: Ja/Nein**  
Nur im Fall von Nein: Sind die drei 16-stufigen Reihen auf Seite x von 10 Seiten unterscheidbar?  
Unterstreiche Ja/Nein und gib im Fall von Nein die Anzahl unterscheidbarer Stufen an  
Seite 1: Ja/Nein, wenn Nein ../45 Stufendifferenzen sind unterscheidbar von O = Orangerot  
Seite 2: Ja/Nein, wenn Nein ../45 Stufendifferenzen sind unterscheidbar von Y = Gelb  
Seite 3: Ja/Nein, wenn Nein ../45 Stufendifferenzen sind unterscheidbar von L = Laubgrün  
Seite 4: Ja/Nein, wenn Nein ../45 Stufendifferenzen sind unterscheidbar von C = Cyanblau  
Seite 5: Ja/Nein, wenn Nein ../45 Stufendifferenzen sind unterscheidbar von V = Violettblau  
Seite 6: Ja/Nein, wenn Nein ../45 Stufendifferenzen sind unterscheidbar von M = Magentarot  
Seite 7: Ja/Nein, wenn Nein ../45 Stufendifferenzen sind unterscheidbar von R = Elementarrot  
Seite 8: Ja/Nein, wenn Nein ../45 Stufendifferenzen sind unterscheidbar von J = Elementargelb  
Seite 9: Ja/Nein, wenn Nein ../45 Stufendifferenzen sind unterscheidbar von G = Elementargrün  
Seite 10: Ja/Nein, wenn Nein ../45 Stufendifferenzen sind unterscheidbar von B = Elementarblau  
Summe: ../10 Ja-Seiten und ../450 Stufendifferenzen unterscheidbar

Teil 2 Dg121-3

**Dokumentation der Beurteiler-Farbseigenschaften für diese Prüfung:**

Der Beurteiler hat **normales** Farbsehen nach einer Prüfung:  
entweder nach DIN 6160:1996 mit Anomaloskop nach *Nagel* **unterstreiche Ja/Nein**  
oder mit Farbpunkt-Prüftafeln nach *Ishihara* **unterstreiche Ja/Nein**  
oder mit, bitte nennen:..... **unterstreiche Ja/Nein**

**Nur für Display(Monitor, Daten-Projektor)-Ausgabe:**  
Büro-Arbeitsplatz-Beleuchtung ist Tageslicht (bedeckter/Nordhimmel) **unterstreiche Ja/Nein**  
PDF-Dateiausgabe mit [www.ps.bam.de/Dg13/10L/L13g00NP.PDF](http://www.ps.bam.de/Dg13/10L/L13g00NP.PDF) **unterstreiche Ja/Nein**  
Vergleiche Kontrastbereich der 16 Stufen F bis 0 mit Prüfvorlage Nr. 3 von DIN 33866-1:2000  
Nenne Kontrastbereich: (>F:0) (F:0) (E:0) (D:0) (C:0) (A:0) (9:0) (7:0) (5:0) (3:0) (<3:0)

Anmerkung: Bei Tageslichtbürobeleuchtung ist der Kontrastbereich oft:  
auf Papier zwischen: >F:0 (Hochglanz), F:0 (Seidenglanz) und E:0 (Matt)  
am Display zwischen: >F:0 und E:0 (Monitor), D:0 und 3:0 (Datenprojektor)

**Nur für optionale farbmimetrische Kennzeichnung mit PDF/PS-Dateiausgabe**  
**PDF-Datei:** entweder [www.ps.bam.de/Dg11/10L/L11g00NP.PDF](http://www.ps.bam.de/Dg11/10L/L11g00NP.PDF) **unterstreiche Ja/Nein**  
oder [www.ps.bam.de/Dg11/10P/P11g00NP.PDF](http://www.ps.bam.de/Dg11/10P/P11g00NP.PDF) **oder unterstreiche Ja/Nein**  
**PS-Datei:** entweder [www.ps.bam.de/Dg11/10L/L11g00NA.PS](http://www.ps.bam.de/Dg11/10L/L11g00NA.PS) **oder unterstreiche Ja/Nein**  
oder [www.ps.bam.de/Dg11/10P/P11g00NA.PS](http://www.ps.bam.de/Dg11/10P/P11g00NA.PS) **oder unterstreiche Ja/Nein**

**Farbmessung und Kennzeichnung für:**  
CIE-Normlichtart D65, CIE-2-Grad-Beobachter, CIE-45/0-Geometrie **unterstreiche Ja/Nein**  
Wenn Nein, bitte andere Parameter nennen: .....

**Farbmimetrische Kennzeichnung mit PS-Datei für Farben der Spalten A bis T**  
Ersatz der CIELAB-Daten in Datei [www.ps.bam.de/Dg17/10L/L17g00NP.PS](http://www.ps.bam.de/Dg17/10L/L17g00NP.PS) und Transfer  
der PS-Datei L17g00NP.PS in PDF-Datei L17g00NP.PDF **unterstreiche Ja/Nein**  
Wenn Nein, bitte andere Methode beschreiben: .....

Teil 4 Dg121-5

Eingabe: *rgb (->olv\*) setrgbcolor*  
Ausgabe: keine Eingabeänderung

Siehe ähnliche Dateien: <http://www.ps.bam.de/Dg12/>; [www.ps.bam.de/33872](http://www.ps.bam.de/33872) Version 2.1, io=1,1

BAM-Registrierung: 20080301-Dg12/10L/L12g0ANA.PS /TXTBAM-Material: Code=rh4ta  
Anwendung für Ausgabe von Monitor-, Datenprojektor- oder Druckersystemen

Eingabe: Farbmétrisches Offset-Reflektiv-System ORS18a

für Buntton  $h^* = lab^*h = 38/360 = 0,105$

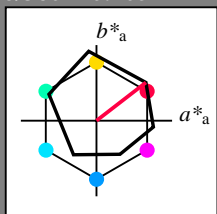
$lab^*tch$  und  $lab^*nch$

D65: Buntton O

LCH\*Ma: 48 83 38

olv\*Ma: 1.0 0.0 0.0

Dreiecks-Helligkeit  $t^*$



ORS18a; adaptierte CIELAB-Daten

|      | $L^*=L^*_a$ | $a^*_a$ | $b^*_a$ | $C^*_{ab,a}$ | $h^*_{ab,a}$ |
|------|-------------|---------|---------|--------------|--------------|
| OMa  | 47.94       | 65.39   | 50.52   | 82.63        | 38           |
| YMa  | 90.37       | -10.26  | 91.75   | 92.32        | 96           |
| LMa  | 50.9        | -62.83  | 34.96   | 71.91        | 151          |
| CMa  | 58.62       | -30.34  | -45.01  | 54.3         | 236          |
| VMa  | 25.72       | 31.1    | -44.4   | 54.22        | 305          |
| MMa  | 48.13       | 75.28   | -8.36   | 75.74        | 354          |
| NMa  | 18.01       | 0.0     | 0.0     | 0.0          | 0            |
| WMa  | 95.41       | 0.0     | 0.0     | 0.0          | 0            |
| RCIE | 39.92       | 58.66   | 26.98   | 64.57        | 25           |
| JCIE | 81.26       | -2.16   | 67.76   | 67.79        | 92           |
| GCIE | 52.23       | -42.25  | 11.76   | 43.87        | 164          |
| BCIE | 30.57       | 1.15    | -46.84  | 46.86        | 271          |

%Umfang

$u^*_{rel} = 93$

%Regularität

$g^*_{H,rel} = 57$

$g^*_{C,rel} = 59$

Ausgabe: Farbmétrisches Offset-Reflektiv-System ORS18a

für Buntton  $h^* = lab^*h = 38/360 = 0,105$

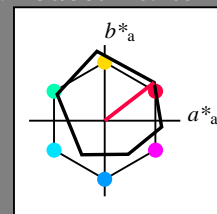
$lab^*tch$  und  $lab^*nch$

D65: Buntton O

LCH\*Ma: 48 83 38

olv\*Ma: 1.0 0.0 0.0

Dreiecks-Helligkeit  $t^*$



ORS18a; adaptierte CIELAB-Daten

|      | $L^*=L^*_a$ | $a^*_a$ | $b^*_a$ | $C^*_{ab,a}$ | $h^*_{ab,a}$ |
|------|-------------|---------|---------|--------------|--------------|
| OMa  | 47.94       | 65.39   | 50.52   | 82.63        | 38           |
| YMa  | 90.37       | -10.26  | 91.75   | 92.32        | 96           |
| LMa  | 50.9        | -62.83  | 34.96   | 71.91        | 151          |
| CMa  | 58.62       | -30.34  | -45.01  | 54.3         | 236          |
| VMa  | 25.72       | 31.1    | -44.4   | 54.22        | 305          |
| MMa  | 48.13       | 75.28   | -8.36   | 75.74        | 354          |
| NMa  | 18.01       | 0.0     | 0.0     | 0.0          | 0            |
| WMa  | 95.41       | 0.0     | 0.0     | 0.0          | 0            |
| RCIE | 39.92       | 58.66   | 26.98   | 64.57        | 25           |
| JCIE | 81.26       | -2.16   | 67.76   | 67.79        | 92           |
| GCIE | 52.23       | -42.25  | 11.76   | 43.87        | 164          |
| BCIE | 30.57       | 1.15    | -46.84  | 46.86        | 271          |

%Umfang

$u^*_{rel} = 93$

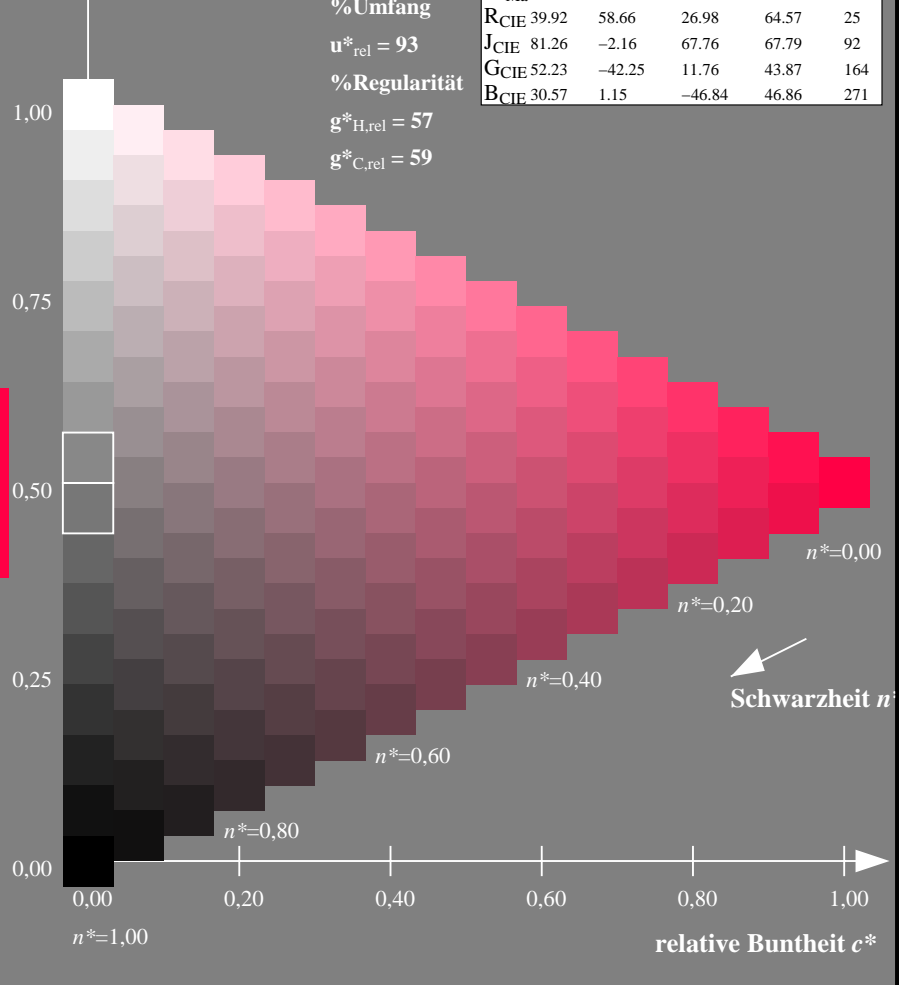
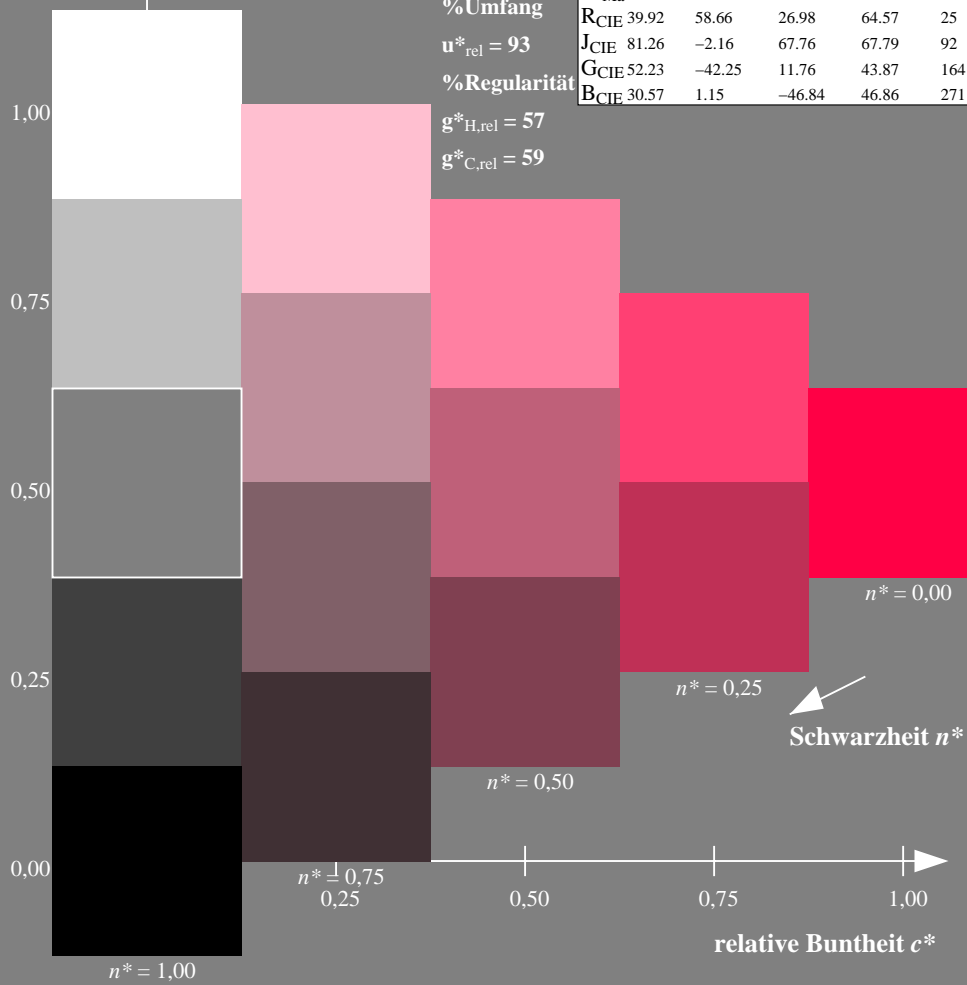
%Regularität

$g^*_{H,rel} = 57$

$g^*_{C,rel} = 59$

Siehe ähnliche Dateien: <http://www.ps.bam.de/Dg12/>; [www.ps.bam.de/33872](http://www.ps.bam.de/33872) Version 2.1, io=1,1

BAM-Registrierung: 20080301-Dg12/10L/L12g00NA.PS /.TXT BAM-Material: Code=rh4ta  
 Anwendung für Ausgabe von Monitor-, Datenprojektor- oder Druckersystemen



Dg120-7N, 5-stufige Reihen für konstanten CIELAB Buntton 38/360 = 0.105 (links)

16-stufige Reihen für konstanten CIELAB Buntton 38/360 = 0.105 (rechts)

Prüfvorlage 1 nach DIN 33872-2, Buntton O, Seite 1/11  
 Unterscheidbarkeit: 5- und 16-stufige Farbreihen, ORS18a

Eingabe:  $rgb (->olv^*) setrgbcolor$   
 Ausgabe: keine Eingabeänderung

Eingabe: Farbmétrisches Offset-Reflektiv-System ORS18a

für Buntton  $h^* = lab^*h = 96/360 = 0.268$

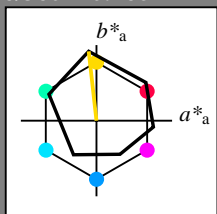
$lab^*tch$  und  $lab^*nch$

D65: Buntton Y

LCH\*Ma: 90 92 96

olv\*Ma: 1.0 1.0 0.0

Dreiecks-Helligkeit  $t^*$



ORS18a; adaptierte CIELAB-Daten

|      | $L^*=L^*_a$ | $a^*_a$ | $b^*_a$ | $C^*_{ab,a}$ | $h^*_{ab,a}$ |
|------|-------------|---------|---------|--------------|--------------|
| OMa  | 47.94       | 65.39   | 50.52   | 82.63        | 38           |
| YMa  | 90.37       | -10.26  | 91.75   | 92.32        | 96           |
| LMa  | 50.9        | -62.83  | 34.96   | 71.91        | 151          |
| CMa  | 58.62       | -30.34  | -45.01  | 54.3         | 236          |
| VMa  | 25.72       | 31.1    | -44.4   | 54.22        | 305          |
| MMa  | 48.13       | 75.28   | -8.36   | 75.74        | 354          |
| NMa  | 18.01       | 0.0     | 0.0     | 0.0          | 0            |
| WMa  | 95.41       | 0.0     | 0.0     | 0.0          | 0            |
| RCIE | 39.92       | 58.66   | 26.98   | 64.57        | 25           |
| JCIE | 81.26       | -2.16   | 67.76   | 67.79        | 92           |
| GCIE | 52.23       | -42.25  | 11.76   | 43.87        | 164          |
| BCIE | 30.57       | 1.15    | -46.84  | 46.86        | 271          |

%Umfang

$u^*_{rel} = 93$

%Regularität

$g^*_{H,rel} = 57$

$g^*_{C,rel} = 59$

Ausgabe: Farbmétrisches Offset-Reflektiv-System ORS18a

für Buntton  $h^* = lab^*h = 96/360 = 0.268$

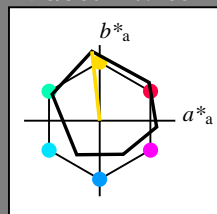
$lab^*tch$  und  $lab^*nch$

D65: Buntton Y

LCH\*Ma: 90 92 96

olv\*Ma: 1.0 1.0 0.0

Dreiecks-Helligkeit  $t^*$



ORS18a; adaptierte CIELAB-Daten

|      | $L^*=L^*_a$ | $a^*_a$ | $b^*_a$ | $C^*_{ab,a}$ | $h^*_{ab,a}$ |
|------|-------------|---------|---------|--------------|--------------|
| OMa  | 47.94       | 65.39   | 50.52   | 82.63        | 38           |
| YMa  | 90.37       | -10.26  | 91.75   | 92.32        | 96           |
| LMa  | 50.9        | -62.83  | 34.96   | 71.91        | 151          |
| CMa  | 58.62       | -30.34  | -45.01  | 54.3         | 236          |
| VMa  | 25.72       | 31.1    | -44.4   | 54.22        | 305          |
| MMa  | 48.13       | 75.28   | -8.36   | 75.74        | 354          |
| NMa  | 18.01       | 0.0     | 0.0     | 0.0          | 0            |
| WMa  | 95.41       | 0.0     | 0.0     | 0.0          | 0            |
| RCIE | 39.92       | 58.66   | 26.98   | 64.57        | 25           |
| JCIE | 81.26       | -2.16   | 67.76   | 67.79        | 92           |
| GCIE | 52.23       | -42.25  | 11.76   | 43.87        | 164          |
| BCIE | 30.57       | 1.15    | -46.84  | 46.86        | 271          |

%Umfang

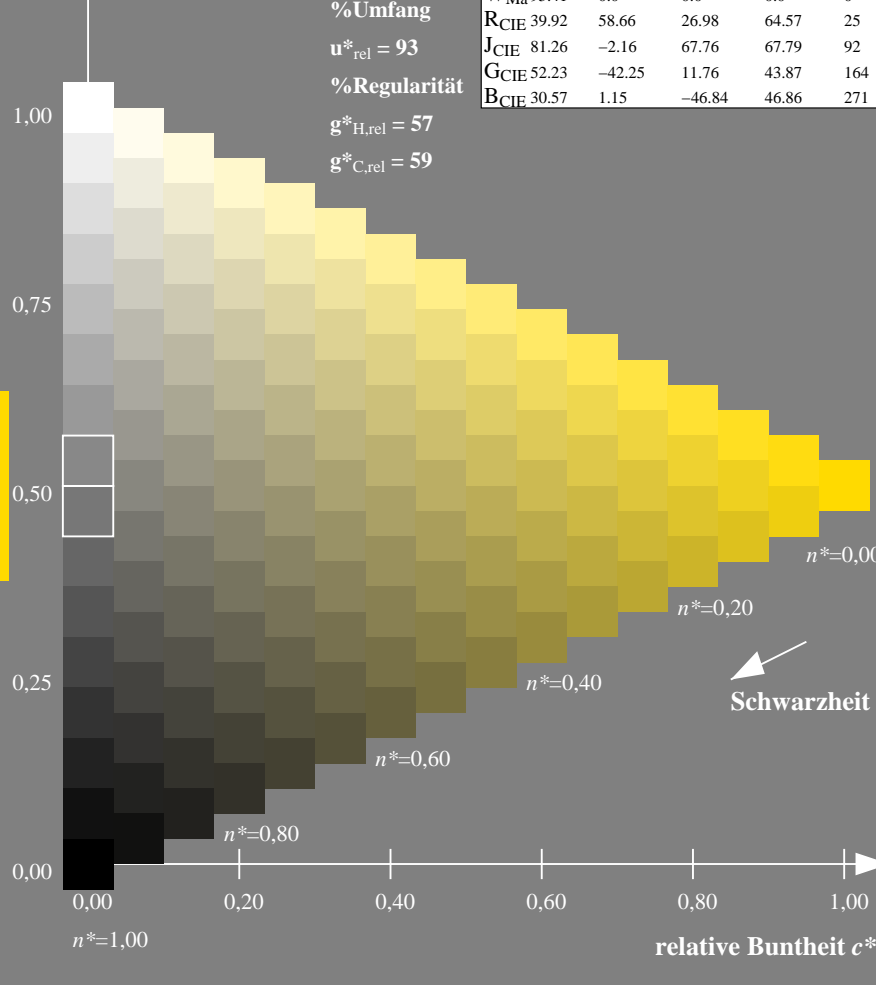
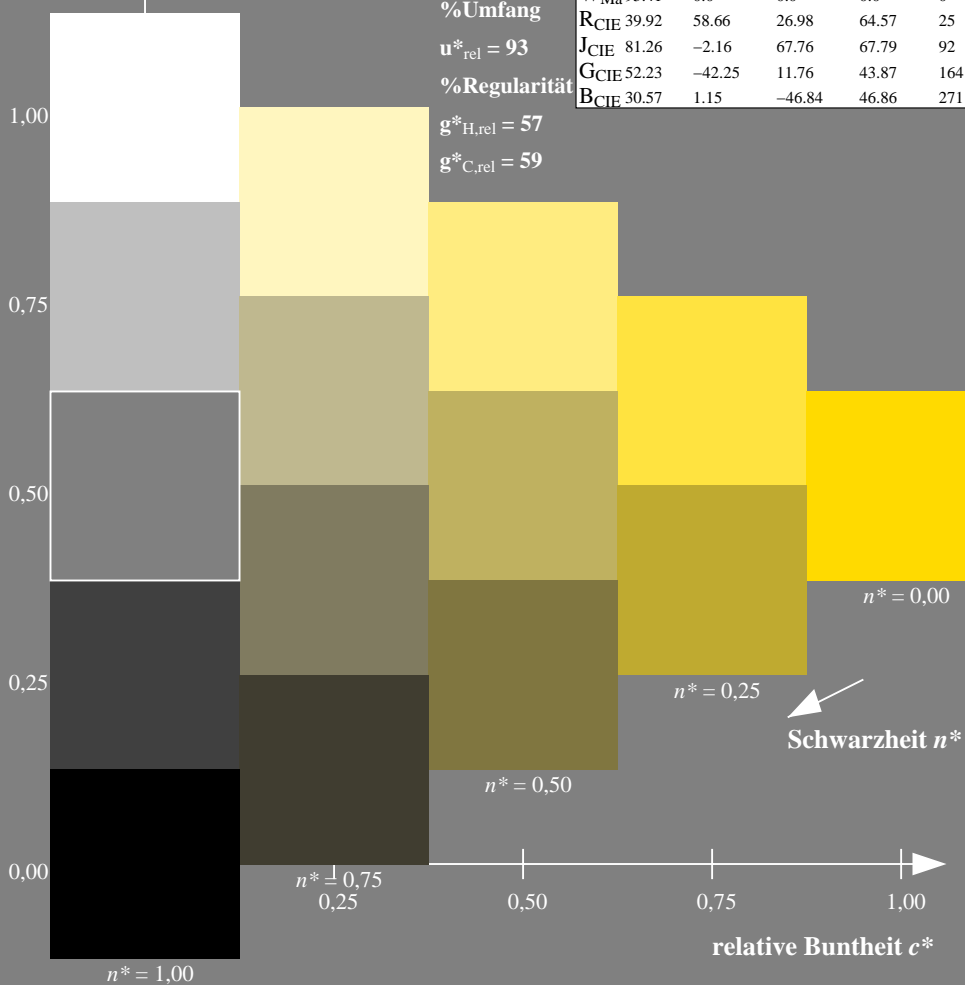
$u^*_{rel} = 93$

%Regularität

$g^*_{H,rel} = 57$

$g^*_{C,rel} = 59$

Siehe ähnliche Dateien: <http://www.ps.bam.de/Dg12/>; [www.ps.bam.de/33872](http://www.ps.bam.de/33872) Version 2.1, io=1,1



Dg120-7N, 5-stufige Reihen für konstanten CIELAB Buntton 96/360 = 0.268 (links)

16-stufige Reihen für konstanten CIELAB Buntton 96/360 = 0.268 (rechts)

Prüfvorlage 1 nach DIN 33872-2, Buntton Y, Seite 2/11  
 Unterscheidbarkeit: 5- und 16-stufige Farbreihen, ORS18a

Eingabe:  $rgb (->olv^*) setrgbcolor$   
 Ausgabe: keine Eingabeänderung

BAM-Registrierung: 20080301-Dg12/10L/L12g01NA.PS /.TXT BAM-Material: Code=rh4ta  
 Anwendung für Ausgabe von Monitor-, Datenprojektor- oder Druckersystemen

Eingabe: Farbmétrisches Offset-Reflektiv-System ORS18a

für Buntton  $h^* = lab^*h = 151/360 = 0.419$

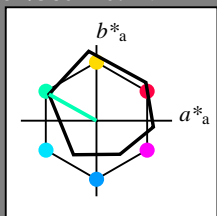
$lab^*tch$  und  $lab^*nch$

D65: Buntton L

LCH\*Ma: 51 72 151

olv\*Ma: 0.0 1.0 0.0

Dreiecks-Helligkeit  $t^*$



ORS18a; adaptierte CIELAB-Daten

|      | $L^*=L^*_a$ | $a^*_a$ | $b^*_a$ | $C^*_{ab,a}$ | $h^*_{ab,a}$ |
|------|-------------|---------|---------|--------------|--------------|
| OMa  | 47.94       | 65.39   | 50.52   | 82.63        | 38           |
| YMa  | 90.37       | -10.26  | 91.75   | 92.32        | 96           |
| LMa  | 50.9        | -62.83  | 34.96   | 71.91        | 151          |
| CMa  | 58.62       | -30.34  | -45.01  | 54.3         | 236          |
| VMa  | 25.72       | 31.1    | -44.4   | 54.22        | 305          |
| MMa  | 48.13       | 75.28   | -8.36   | 75.74        | 354          |
| NMa  | 18.01       | 0.0     | 0.0     | 0.0          | 0            |
| WMa  | 95.41       | 0.0     | 0.0     | 0.0          | 0            |
| RCIE | 39.92       | 58.66   | 26.98   | 64.57        | 25           |
| JCIE | 81.26       | -2.16   | 67.76   | 67.79        | 92           |
| GCIE | 52.23       | -42.25  | 11.76   | 43.87        | 164          |
| BCIE | 30.57       | 1.15    | -46.84  | 46.86        | 271          |

%Umfang

$u^*_{rel} = 93$

%Regularität

$g^*_{H,rel} = 57$

$g^*_{C,rel} = 59$

Ausgabe: Farbmétrisches Offset-Reflektiv-System ORS18a

für Buntton  $h^* = lab^*h = 151/360 = 0.419$

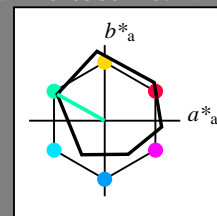
$lab^*tch$  und  $lab^*nch$

D65: Buntton L

LCH\*Ma: 51 72 151

olv\*Ma: 0.0 1.0 0.0

Dreiecks-Helligkeit  $t^*$



ORS18a; adaptierte CIELAB-Daten

|      | $L^*=L^*_a$ | $a^*_a$ | $b^*_a$ | $C^*_{ab,a}$ | $h^*_{ab,a}$ |
|------|-------------|---------|---------|--------------|--------------|
| OMa  | 47.94       | 65.39   | 50.52   | 82.63        | 38           |
| YMa  | 90.37       | -10.26  | 91.75   | 92.32        | 96           |
| LMa  | 50.9        | -62.83  | 34.96   | 71.91        | 151          |
| CMa  | 58.62       | -30.34  | -45.01  | 54.3         | 236          |
| VMa  | 25.72       | 31.1    | -44.4   | 54.22        | 305          |
| MMa  | 48.13       | 75.28   | -8.36   | 75.74        | 354          |
| NMa  | 18.01       | 0.0     | 0.0     | 0.0          | 0            |
| WMa  | 95.41       | 0.0     | 0.0     | 0.0          | 0            |
| RCIE | 39.92       | 58.66   | 26.98   | 64.57        | 25           |
| JCIE | 81.26       | -2.16   | 67.76   | 67.79        | 92           |
| GCIE | 52.23       | -42.25  | 11.76   | 43.87        | 164          |
| BCIE | 30.57       | 1.15    | -46.84  | 46.86        | 271          |

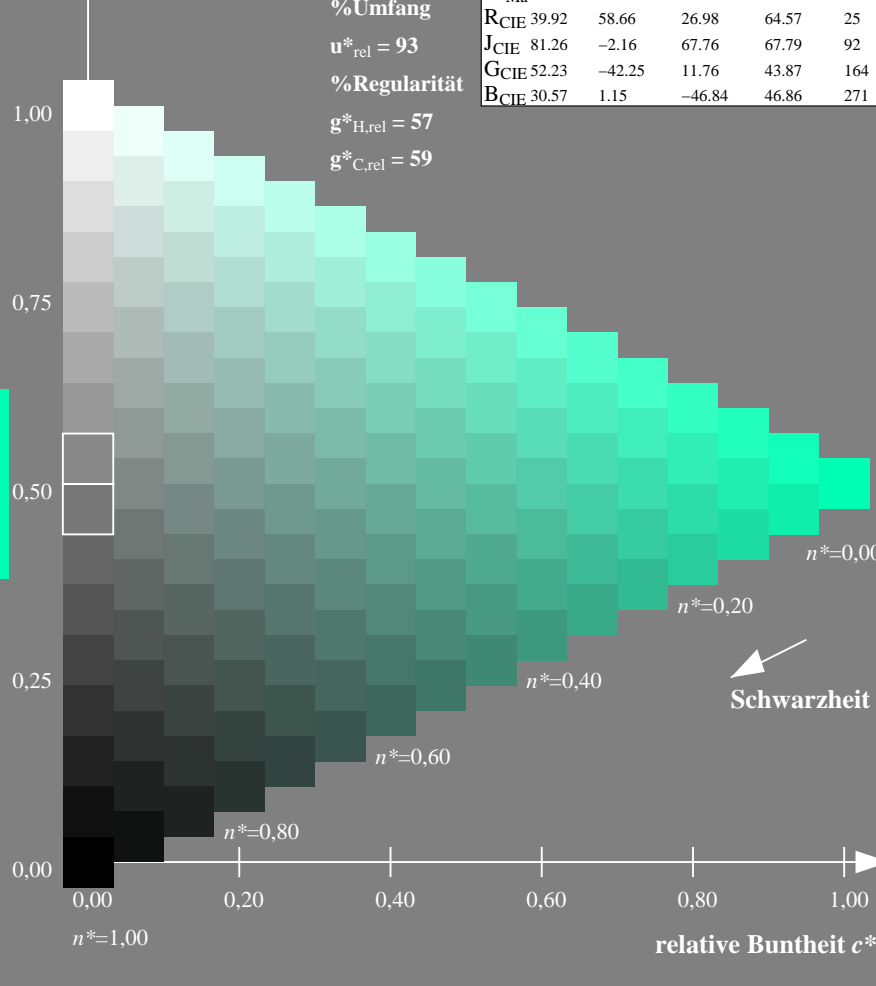
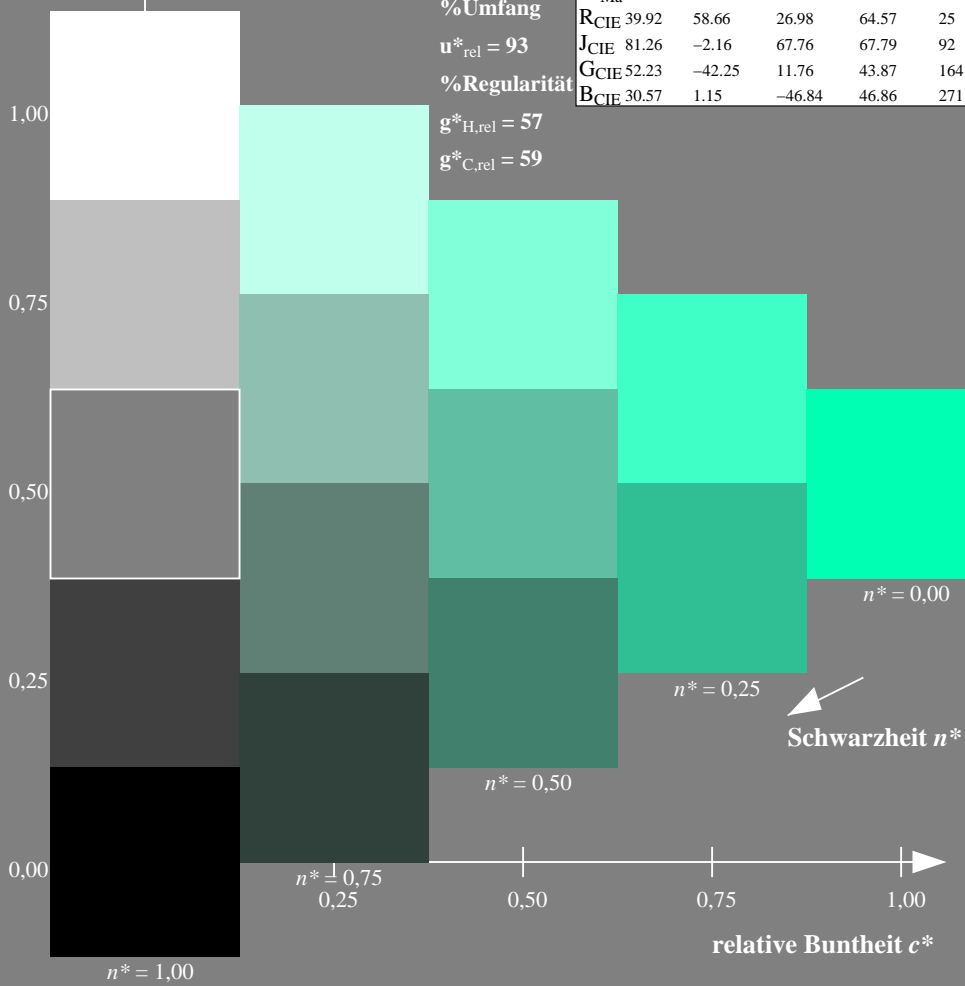
%Umfang

$u^*_{rel} = 93$

%Regularität

$g^*_{H,rel} = 57$

$g^*_{C,rel} = 59$



Dg120-7N, 5-stufige Reihen für konstanten CIELAB Buntton 151/360 = 0.419 (links)

16-stufige Reihen für konstanten CIELAB Buntton 151/360 = 0.419 (rechts)

Prüfvorlage 1 nach DIN 33872-2, Buntton L, Seite 3/11  
 Unterscheidbarkeit: 5- und 16-stufige Farbreihen, ORS18a

Eingabe:  $rgb (->olv^*) setrgbcolor$   
 Ausgabe: keine Eingabeänderung

Siehe ähnliche Dateien: <http://www.ps.bam.de/Dg12/>; [www.ps.bam.de/Dg.HTM](http://www.ps.bam.de/Dg.HTM)  
 Technische Information: <http://www.ps.bam.de/33872> Version 2.1, io=1,1

BAM-Registrierung: 20080301-Dg12/10L/L12g02NA.PS /.TXT BAM-Material: Code=rh4ta  
 Anwendung für Ausgabe von Monitor-, Datenprojektor- oder Druckersystemen

Eingabe: Farbmétrisches Offset-Reflektiv-System ORS18a

für Buntton  $h^* = lab^*h = 236/360 = 0.656$

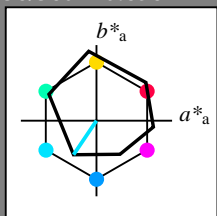
$lab^*tch$  und  $lab^*nch$

D65: Buntton C

LCH\*Ma: 59 54 236

olv\*Ma: 0.0 1.0 1.0

Dreiecks-Helligkeit  $t^*$



ORS18a; adaptierte CIELAB-Daten

|      | $L^*=L^*_a$ | $a^*_a$ | $b^*_a$ | $C^*_{ab,a}$ | $h^*_{ab,a}$ |
|------|-------------|---------|---------|--------------|--------------|
| OMa  | 47.94       | 65.39   | 50.52   | 82.63        | 38           |
| YMa  | 90.37       | -10.26  | 91.75   | 92.32        | 96           |
| LMa  | 50.9        | -62.83  | 34.96   | 71.91        | 151          |
| CMa  | 58.62       | -30.34  | -45.01  | 54.3         | 236          |
| VMa  | 25.72       | 31.1    | -44.4   | 54.22        | 305          |
| MMa  | 48.13       | 75.28   | -8.36   | 75.74        | 354          |
| NMa  | 18.01       | 0.0     | 0.0     | 0.0          | 0            |
| WMa  | 95.41       | 0.0     | 0.0     | 0.0          | 0            |
| RCIE | 39.92       | 58.66   | 26.98   | 64.57        | 25           |
| JCIE | 81.26       | -2.16   | 67.76   | 67.79        | 92           |
| GCIE | 52.23       | -42.25  | 11.76   | 43.87        | 164          |
| BCIE | 30.57       | 1.15    | -46.84  | 46.86        | 271          |

%Umfang

$u^*_{rel} = 93$

%Regularität

$g^*_{H,rel} = 57$

$g^*_{C,rel} = 59$

Ausgabe: Farbmétrisches Offset-Reflektiv-System ORS18a

für Buntton  $h^* = lab^*h = 236/360 = 0.656$

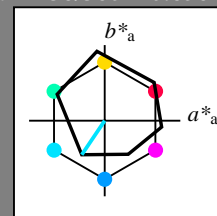
$lab^*tch$  und  $lab^*nch$

D65: Buntton C

LCH\*Ma: 59 54 236

olv\*Ma: 0.0 1.0 1.0

Dreiecks-Helligkeit  $t^*$



ORS18a; adaptierte CIELAB-Daten

|      | $L^*=L^*_a$ | $a^*_a$ | $b^*_a$ | $C^*_{ab,a}$ | $h^*_{ab,a}$ |
|------|-------------|---------|---------|--------------|--------------|
| OMa  | 47.94       | 65.39   | 50.52   | 82.63        | 38           |
| YMa  | 90.37       | -10.26  | 91.75   | 92.32        | 96           |
| LMa  | 50.9        | -62.83  | 34.96   | 71.91        | 151          |
| CMa  | 58.62       | -30.34  | -45.01  | 54.3         | 236          |
| VMa  | 25.72       | 31.1    | -44.4   | 54.22        | 305          |
| MMa  | 48.13       | 75.28   | -8.36   | 75.74        | 354          |
| NMa  | 18.01       | 0.0     | 0.0     | 0.0          | 0            |
| WMa  | 95.41       | 0.0     | 0.0     | 0.0          | 0            |
| RCIE | 39.92       | 58.66   | 26.98   | 64.57        | 25           |
| JCIE | 81.26       | -2.16   | 67.76   | 67.79        | 92           |
| GCIE | 52.23       | -42.25  | 11.76   | 43.87        | 164          |
| BCIE | 30.57       | 1.15    | -46.84  | 46.86        | 271          |

%Umfang

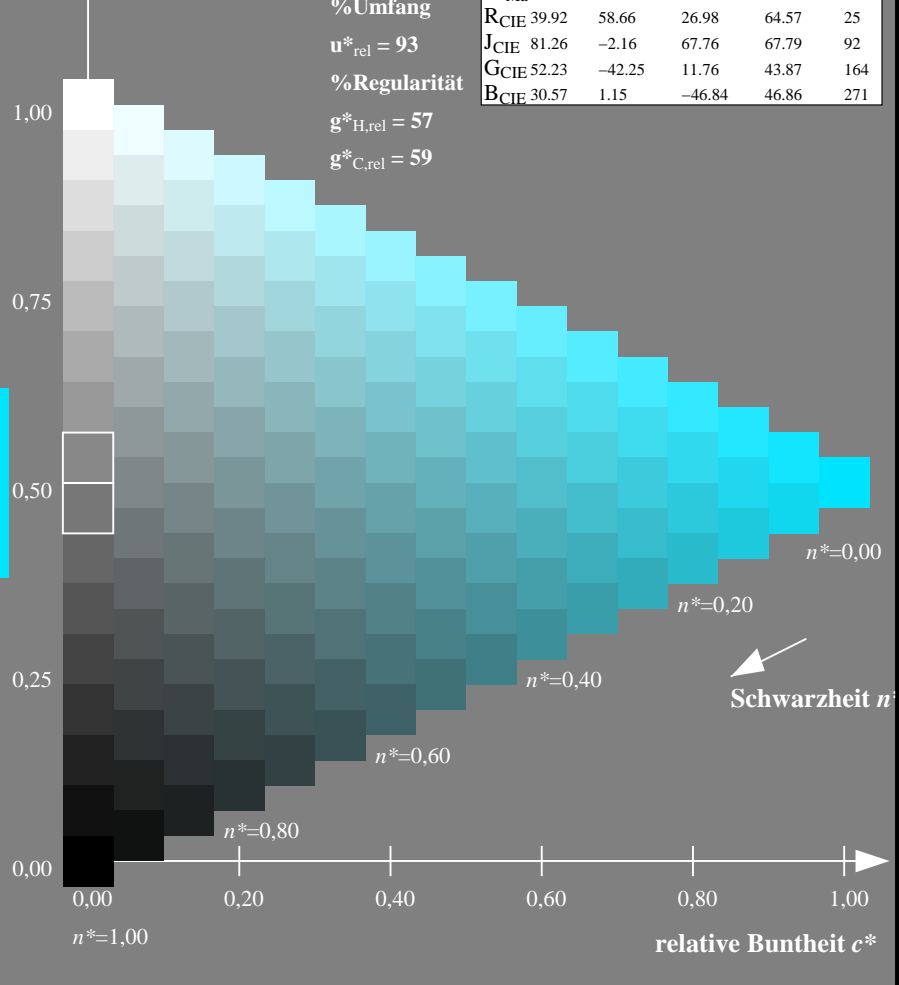
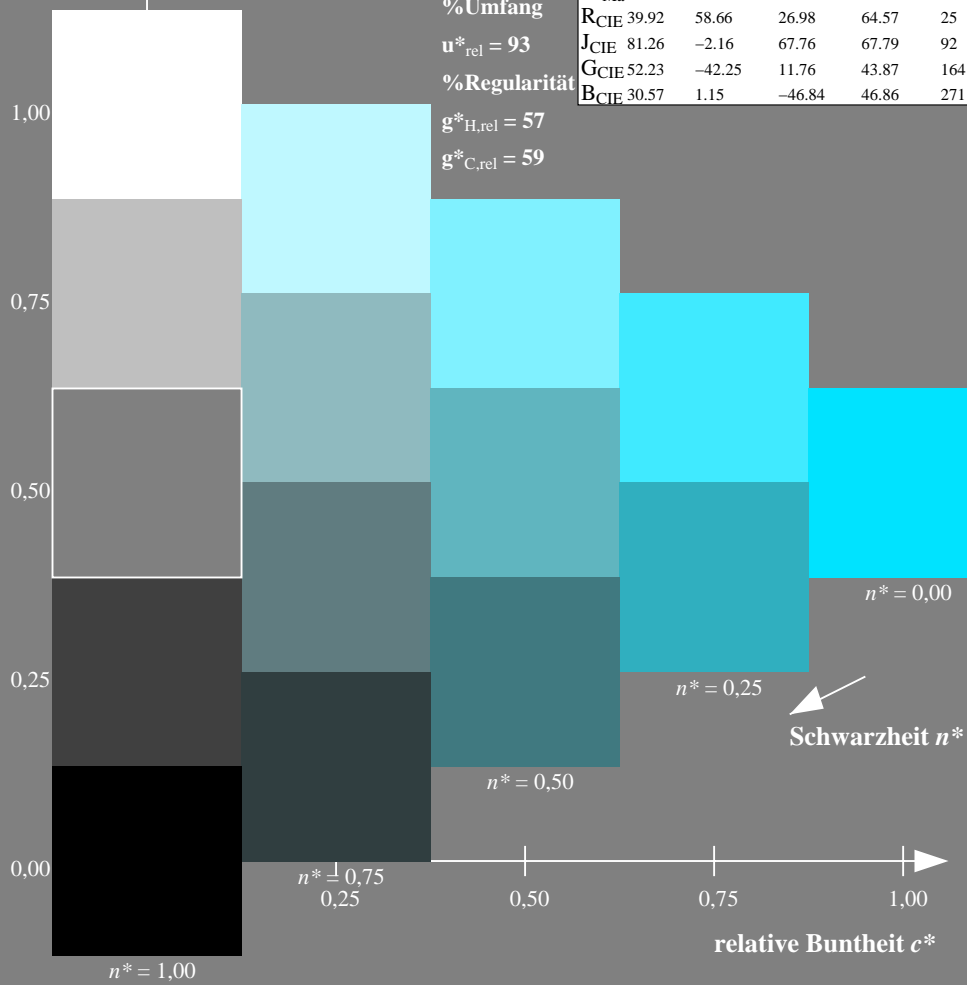
$u^*_{rel} = 93$

%Regularität

$g^*_{H,rel} = 57$

$g^*_{C,rel} = 59$

Siehe ähnliche Dateien: <http://www.ps.bam.de/Dg12/>; [www.ps.bam.de/33872](http://www.ps.bam.de/33872) Version 2.1, io=1,1



Dg120-7N, 5-stufige Reihen für konstanten CIELAB Buntton 236/360 = 0.656 (links)

16-stufige Reihen für konstanten CIELAB Buntton 236/360 = 0.656 (rechts)

Prüfvorlage 1 nach DIN 33872-2, Buntton C, Seite 4/11  
 Unterscheidbarkeit: 5- und 16-stufige Farbreihen, ORS18a

Eingabe:  $rgb (->olv^*) setrgbcolor$   
 Ausgabe: keine Eingabeänderung

BAM-Registrierung: 20080301-Dg12/10L/L12g03NA.PS /.TXT BAM-Material: Code=rh4ta  
 Anwendung für Ausgabe von Monitor-, Datenprojektor- oder Druckersystemen

Eingabe: Farbmétrisches Offset-Reflektiv-System ORS18a

für Buntton  $h^* = lab^*h = 305/360 = 0.847$

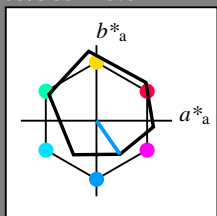
$lab^*tch$  und  $lab^*nch$

D65: Buntton V

LCH\*Ma: 26 54 305

olv\*Ma: 0.0 0.0 1.0

Dreiecks-Helligkeit  $t^*$



ORS18a; adaptierte CIELAB-Daten

|      | $L^*=L^*_a$ | $a^*_a$ | $b^*_a$ | $C^*_{ab,a}$ | $h^*_{ab,a}$ |
|------|-------------|---------|---------|--------------|--------------|
| OMa  | 47.94       | 65.39   | 50.52   | 82.63        | 38           |
| YMa  | 90.37       | -10.26  | 91.75   | 92.32        | 96           |
| LMa  | 50.9        | -62.83  | 34.96   | 71.91        | 151          |
| CMa  | 58.62       | -30.34  | -45.01  | 54.3         | 236          |
| VMa  | 25.72       | 31.1    | -44.4   | 54.22        | 305          |
| MMa  | 48.13       | 75.28   | -8.36   | 75.74        | 354          |
| NMa  | 18.01       | 0.0     | 0.0     | 0.0          | 0            |
| WMa  | 95.41       | 0.0     | 0.0     | 0.0          | 0            |
| RCIE | 39.92       | 58.66   | 26.98   | 64.57        | 25           |
| JCIE | 81.26       | -2.16   | 67.76   | 67.79        | 92           |
| GCIE | 52.23       | -42.25  | 11.76   | 43.87        | 164          |
| BCIE | 30.57       | 1.15    | -46.84  | 46.86        | 271          |

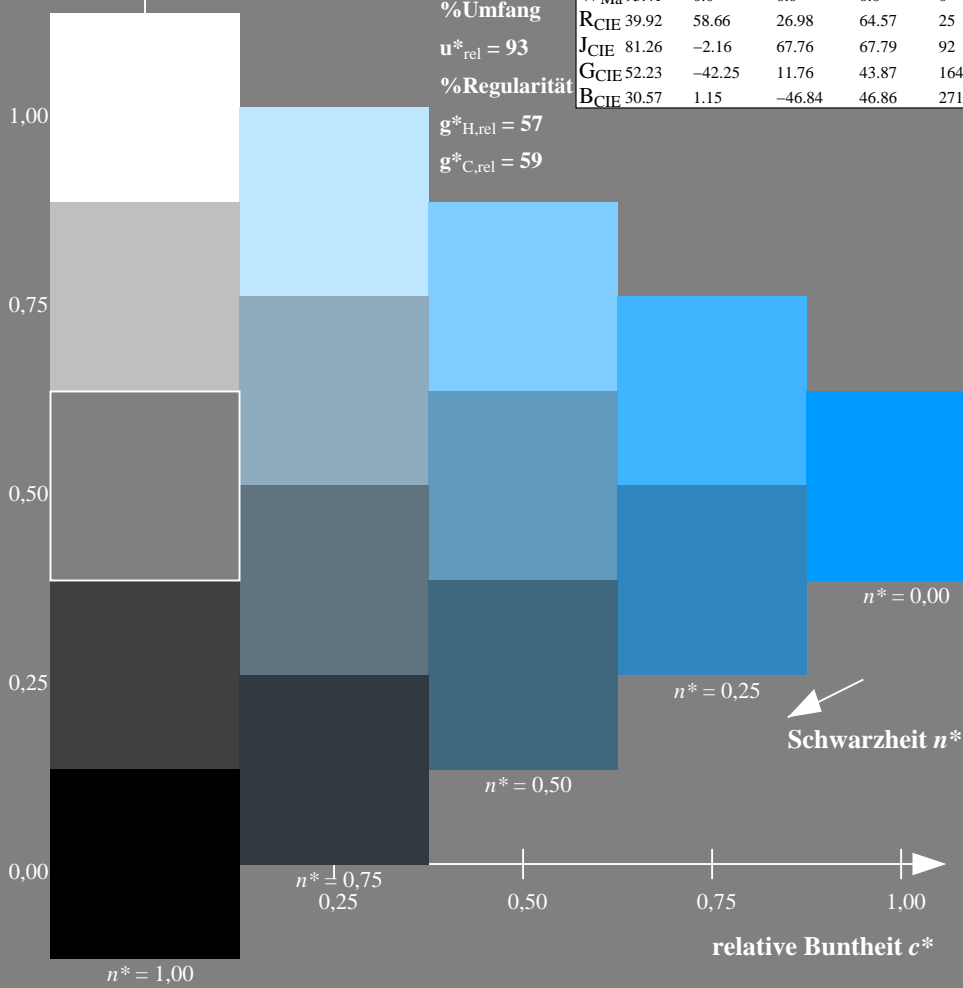
%Umfang

$u^*_{rel} = 93$

%Regularität

$g^*_{H,rel} = 57$

$g^*_{C,rel} = 59$



Ausgabe: Farbmétrisches Offset-Reflektiv-System ORS18a

für Buntton  $h^* = lab^*h = 305/360 = 0.847$

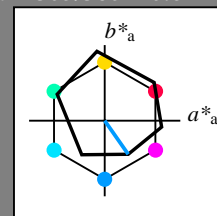
$lab^*tch$  und  $lab^*nch$

D65: Buntton V

LCH\*Ma: 26 54 305

olv\*Ma: 0.0 0.0 1.0

Dreiecks-Helligkeit  $t^*$



ORS18a; adaptierte CIELAB-Daten

|      | $L^*=L^*_a$ | $a^*_a$ | $b^*_a$ | $C^*_{ab,a}$ | $h^*_{ab,a}$ |
|------|-------------|---------|---------|--------------|--------------|
| OMa  | 47.94       | 65.39   | 50.52   | 82.63        | 38           |
| YMa  | 90.37       | -10.26  | 91.75   | 92.32        | 96           |
| LMa  | 50.9        | -62.83  | 34.96   | 71.91        | 151          |
| CMa  | 58.62       | -30.34  | -45.01  | 54.3         | 236          |
| VMa  | 25.72       | 31.1    | -44.4   | 54.22        | 305          |
| MMa  | 48.13       | 75.28   | -8.36   | 75.74        | 354          |
| NMa  | 18.01       | 0.0     | 0.0     | 0.0          | 0            |
| WMa  | 95.41       | 0.0     | 0.0     | 0.0          | 0            |
| RCIE | 39.92       | 58.66   | 26.98   | 64.57        | 25           |
| JCIE | 81.26       | -2.16   | 67.76   | 67.79        | 92           |
| GCIE | 52.23       | -42.25  | 11.76   | 43.87        | 164          |
| BCIE | 30.57       | 1.15    | -46.84  | 46.86        | 271          |

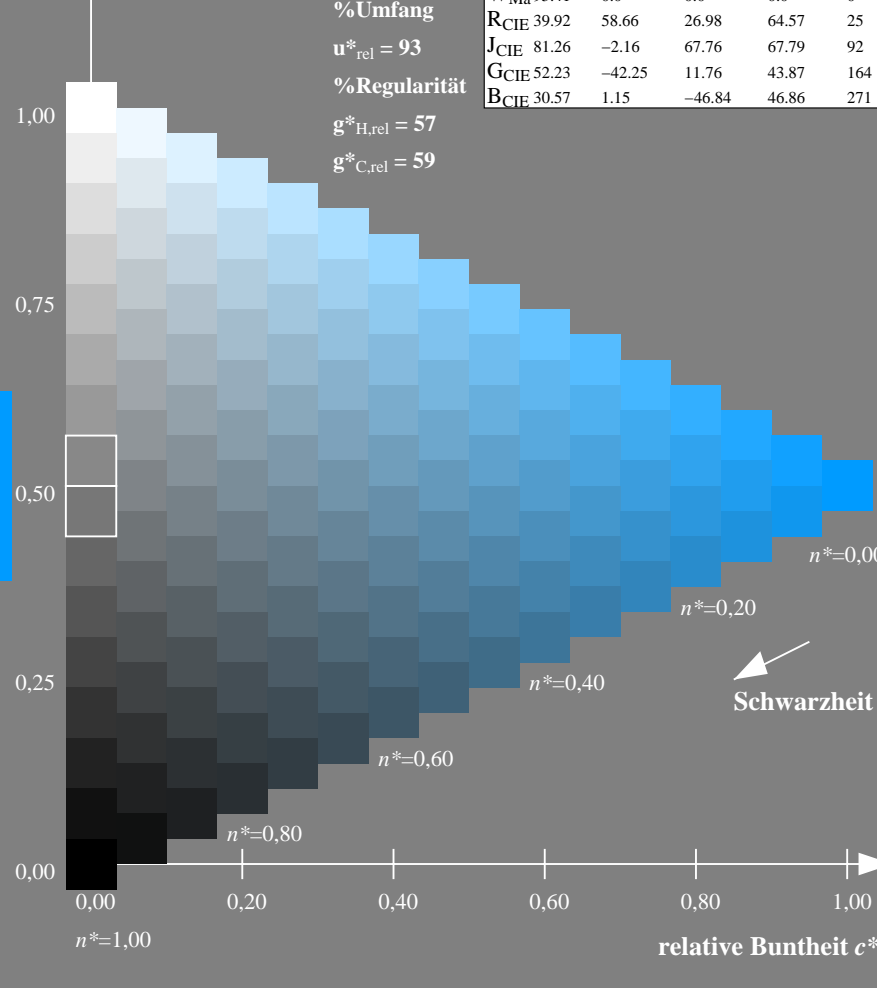
%Umfang

$u^*_{rel} = 93$

%Regularität

$g^*_{H,rel} = 57$

$g^*_{C,rel} = 59$



Dg120-7N, 5-stufige Reihen für konstanten CIELAB Buntton 305/360 = 0.847 (links)

16-stufige Reihen für konstanten CIELAB Buntton 305/360 = 0.847 (rechts)

Prüfvorlage 1 nach DIN 33872-2, Buntton V, Seite 5/11  
 Unterscheidbarkeit: 5- und 16-stufige Farbreihen, ORS18a

Eingabe:  $rgb (->olv^*) setrgbcolor$   
 Ausgabe: keine Eingabeänderung

Siehe ähnliche Dateien: <http://www.ps.bam.de/Dg12/>; [www.ps.bam.de/Dg.HTM](http://www.ps.bam.de/Dg.HTM)  
 Technische Information: <http://www.ps.bam.de/33872> Version 2.1, io=1,1

BAM-Registrierung: 20080301-Dg12/10L/L12g04NA.PS /.TXT BAM-Material: Code=rh4ta  
 Anwendung für Ausgabe von Monitor-, Datenprojektor- oder Druckersystemen

Eingabe: Farbmétrisches Offset-Reflektiv-System ORS18a

für Buntton  $h^* = lab^*h = 354/360 = 0.982$

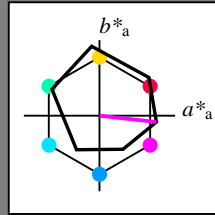
$lab^*tch$  und  $lab^*nch$

D65: Buntton M

LCH\*Ma: 48 76 354

olv\*Ma: 1.0 0.0 1.0

Dreiecks-Helligkeit  $t^*$



ORS18a; adaptierte CIELAB-Daten

|      | $L^*=L^*_a$ | $a^*_a$ | $b^*_a$ | $C^*_{ab,a}$ | $h^*_{ab,a}$ |
|------|-------------|---------|---------|--------------|--------------|
| OMa  | 47.94       | 65.39   | 50.52   | 82.63        | 38           |
| YMa  | 90.37       | -10.26  | 91.75   | 92.32        | 96           |
| LMa  | 50.9        | -62.83  | 34.96   | 71.91        | 151          |
| CMa  | 58.62       | -30.34  | -45.01  | 54.3         | 236          |
| VMa  | 25.72       | 31.1    | -44.4   | 54.22        | 305          |
| MMa  | 48.13       | 75.28   | -8.36   | 75.74        | 354          |
| NMa  | 18.01       | 0.0     | 0.0     | 0.0          | 0            |
| WMa  | 95.41       | 0.0     | 0.0     | 0.0          | 0            |
| RCIE | 39.92       | 58.66   | 26.98   | 64.57        | 25           |
| JCIE | 81.26       | -2.16   | 67.76   | 67.79        | 92           |
| GCIE | 52.23       | -42.25  | 11.76   | 43.87        | 164          |
| BCIE | 30.57       | 1.15    | -46.84  | 46.86        | 271          |

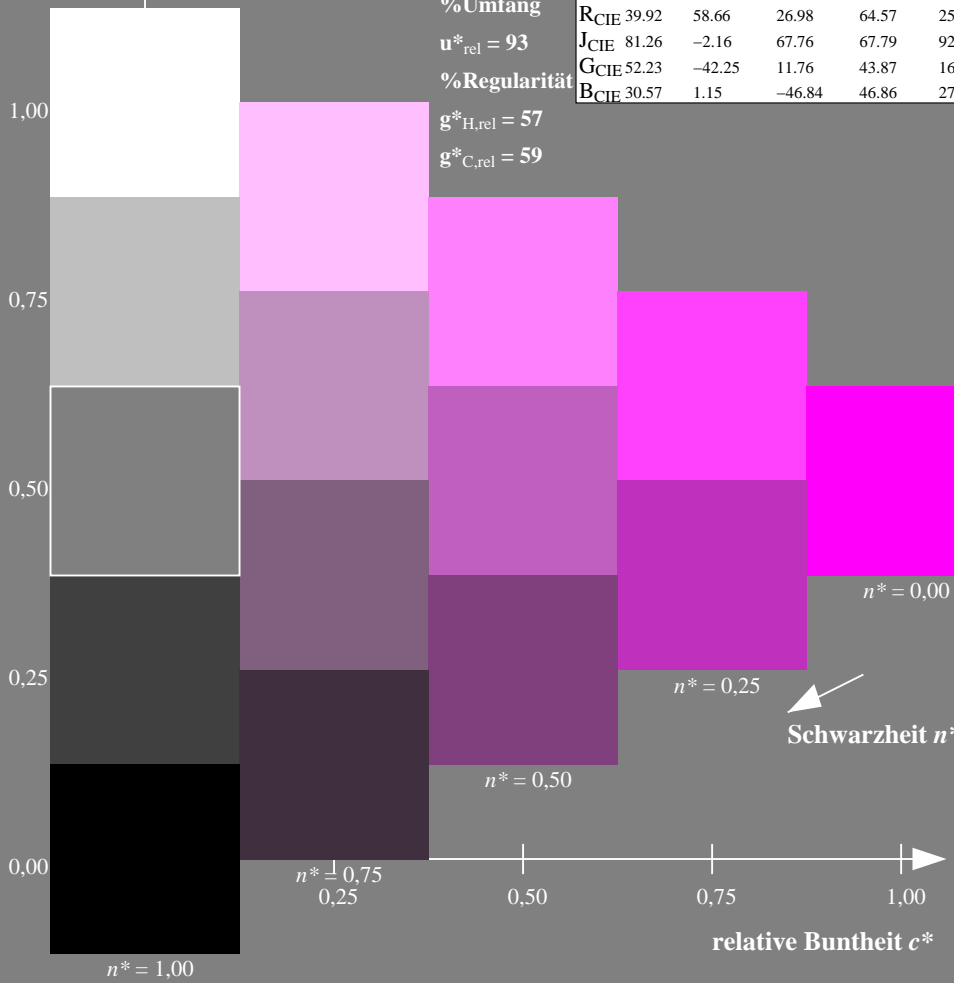
%Umfang

$u^*_{rel} = 93$

%Regularität

$g^*_{H,rel} = 57$

$g^*_{C,rel} = 59$



Ausgabe: Farbmétrisches Offset-Reflektiv-System ORS18a

für Buntton  $h^* = lab^*h = 354/360 = 0.982$

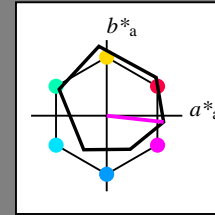
$lab^*tch$  und  $lab^*nch$

D65: Buntton M

LCH\*Ma: 48 76 354

olv\*Ma: 1.0 0.0 1.0

Dreiecks-Helligkeit  $t^*$



ORS18a; adaptierte CIELAB-Daten

|      | $L^*=L^*_a$ | $a^*_a$ | $b^*_a$ | $C^*_{ab,a}$ | $h^*_{ab,a}$ |
|------|-------------|---------|---------|--------------|--------------|
| OMa  | 47.94       | 65.39   | 50.52   | 82.63        | 38           |
| YMa  | 90.37       | -10.26  | 91.75   | 92.32        | 96           |
| LMa  | 50.9        | -62.83  | 34.96   | 71.91        | 151          |
| CMa  | 58.62       | -30.34  | -45.01  | 54.3         | 236          |
| VMa  | 25.72       | 31.1    | -44.4   | 54.22        | 305          |
| MMa  | 48.13       | 75.28   | -8.36   | 75.74        | 354          |
| NMa  | 18.01       | 0.0     | 0.0     | 0.0          | 0            |
| WMa  | 95.41       | 0.0     | 0.0     | 0.0          | 0            |
| RCIE | 39.92       | 58.66   | 26.98   | 64.57        | 25           |
| JCIE | 81.26       | -2.16   | 67.76   | 67.79        | 92           |
| GCIE | 52.23       | -42.25  | 11.76   | 43.87        | 164          |
| BCIE | 30.57       | 1.15    | -46.84  | 46.86        | 271          |

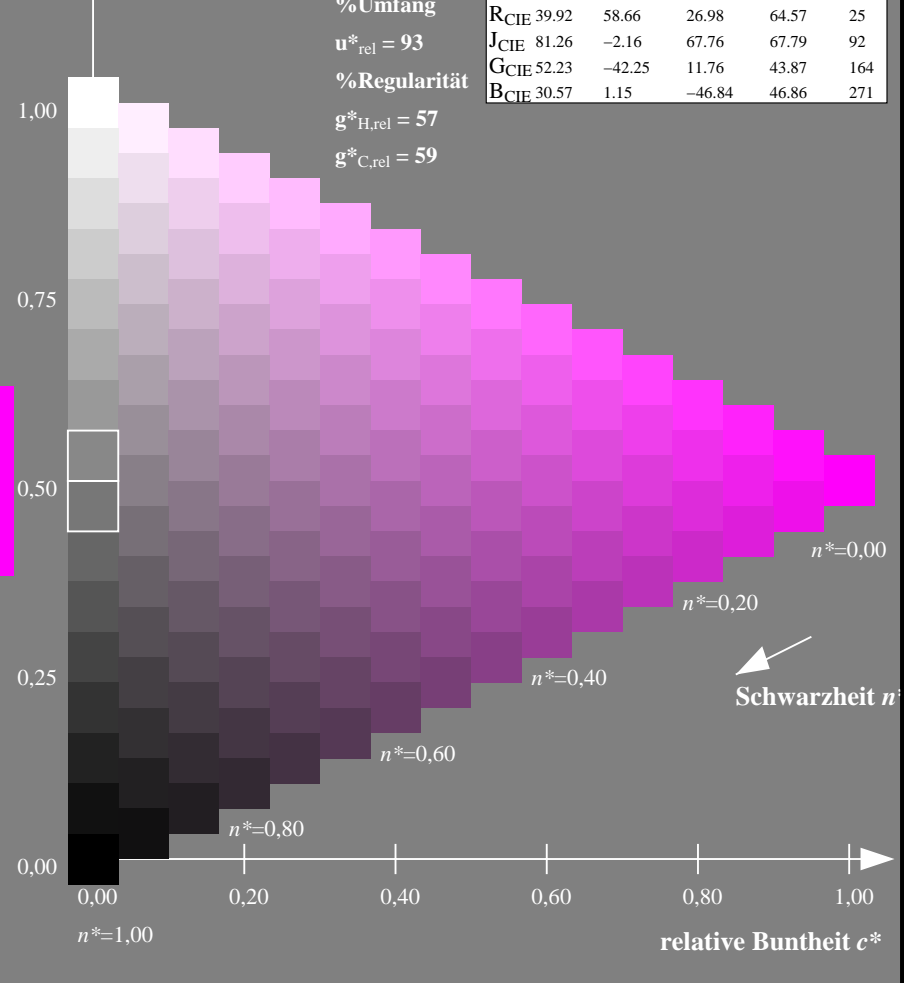
%Umfang

$u^*_{rel} = 93$

%Regularität

$g^*_{H,rel} = 57$

$g^*_{C,rel} = 59$



Dg120-7N, 5-stufige Reihen für konstanten CIELAB Buntton 354/360 = 0.982 (links)

16-stufige Reihen für konstanten CIELAB Buntton 354/360 = 0.982 (rechts)

Prüfvorlage 1 nach DIN 33872-2, Buntton M, Seite 6/11  
 Unterscheidbarkeit: 5- und 16-stufige Farbreihen, ORS18a

Eingabe:  $rgb (->olv^*) setrgbcolor$   
 Ausgabe: keine Eingabeänderung

Siehe ähnliche Dateien: <http://www.ps.bam.de/Dg12/>; [www.ps.bam.de/Dg.HTM](http://www.ps.bam.de/Dg.HTM)  
 Technische Information: <http://www.ps.bam.de/33872> Version 2.1, io=1,1

BAM-Registrierung: 20080301-Dg12/10L/L12g05NA.PS /.TXT BAM-Material: Code=rh4ta  
 Anwendung für Ausgabe von Monitor-, Datenprojektor- oder Druckersystemen

Eingabe: Farbmétrisches Offset-Reflektiv-System ORS18a

für Buntton  $h^* = lab^*h = 25/360 = 0.069$

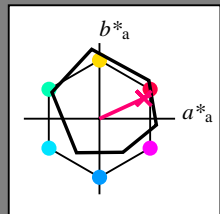
lab\*tch und lab\*nch

D65: Buntton R

LCH\*Ma: 48 75 25

olv\*Ma: 1.0 0.0 0.32

Dreiecks-Helligkeit  $t^*$



ORS18a; adaptierte CIELAB-Daten

|      | $L^*=L^*_a$ | $a^*_a$ | $b^*_a$ | $C^*_{ab,a}$ | $h^*_{ab,a}$ |
|------|-------------|---------|---------|--------------|--------------|
| OMa  | 47.94       | 65.39   | 50.52   | 82.63        | 38           |
| YMa  | 90.37       | -10.26  | 91.75   | 92.32        | 96           |
| LMa  | 50.9        | -62.83  | 34.96   | 71.91        | 151          |
| CMa  | 58.62       | -30.34  | -45.01  | 54.3         | 236          |
| VMa  | 25.72       | 31.1    | -44.4   | 54.22        | 305          |
| MMa  | 48.13       | 75.28   | -8.36   | 75.74        | 354          |
| NMa  | 18.01       | 0.0     | 0.0     | 0.0          | 0            |
| WMa  | 95.41       | 0.0     | 0.0     | 0.0          | 0            |
| RCIE | 39.92       | 58.66   | 26.98   | 64.57        | 25           |
| JCIE | 81.26       | -2.16   | 67.76   | 67.79        | 92           |
| GCIE | 52.23       | -42.25  | 11.76   | 43.87        | 164          |
| BCIE | 30.57       | 1.15    | -46.84  | 46.86        | 271          |

%Umfang

$u^*_{rel} = 93$

%Regularität

$g^*_{H,rel} = 57$

$g^*_{C,rel} = 59$

Ausgabe: Farbmétrisches Offset-Reflektiv-System ORS18a

für Buntton  $h^* = lab^*h = 25/360 = 0.069$

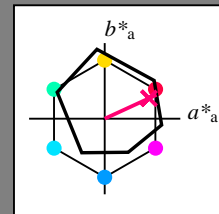
lab\*tch und lab\*nch

D65: Buntton R

LCH\*Ma: 48 75 25

olv\*Ma: 1.0 0.0 0.32

Dreiecks-Helligkeit  $t^*$



ORS18a; adaptierte CIELAB-Daten

|      | $L^*=L^*_a$ | $a^*_a$ | $b^*_a$ | $C^*_{ab,a}$ | $h^*_{ab,a}$ |
|------|-------------|---------|---------|--------------|--------------|
| OMa  | 47.94       | 65.39   | 50.52   | 82.63        | 38           |
| YMa  | 90.37       | -10.26  | 91.75   | 92.32        | 96           |
| LMa  | 50.9        | -62.83  | 34.96   | 71.91        | 151          |
| CMa  | 58.62       | -30.34  | -45.01  | 54.3         | 236          |
| VMa  | 25.72       | 31.1    | -44.4   | 54.22        | 305          |
| MMa  | 48.13       | 75.28   | -8.36   | 75.74        | 354          |
| NMa  | 18.01       | 0.0     | 0.0     | 0.0          | 0            |
| WMa  | 95.41       | 0.0     | 0.0     | 0.0          | 0            |
| RCIE | 39.92       | 58.66   | 26.98   | 64.57        | 25           |
| JCIE | 81.26       | -2.16   | 67.76   | 67.79        | 92           |
| GCIE | 52.23       | -42.25  | 11.76   | 43.87        | 164          |
| BCIE | 30.57       | 1.15    | -46.84  | 46.86        | 271          |

%Umfang

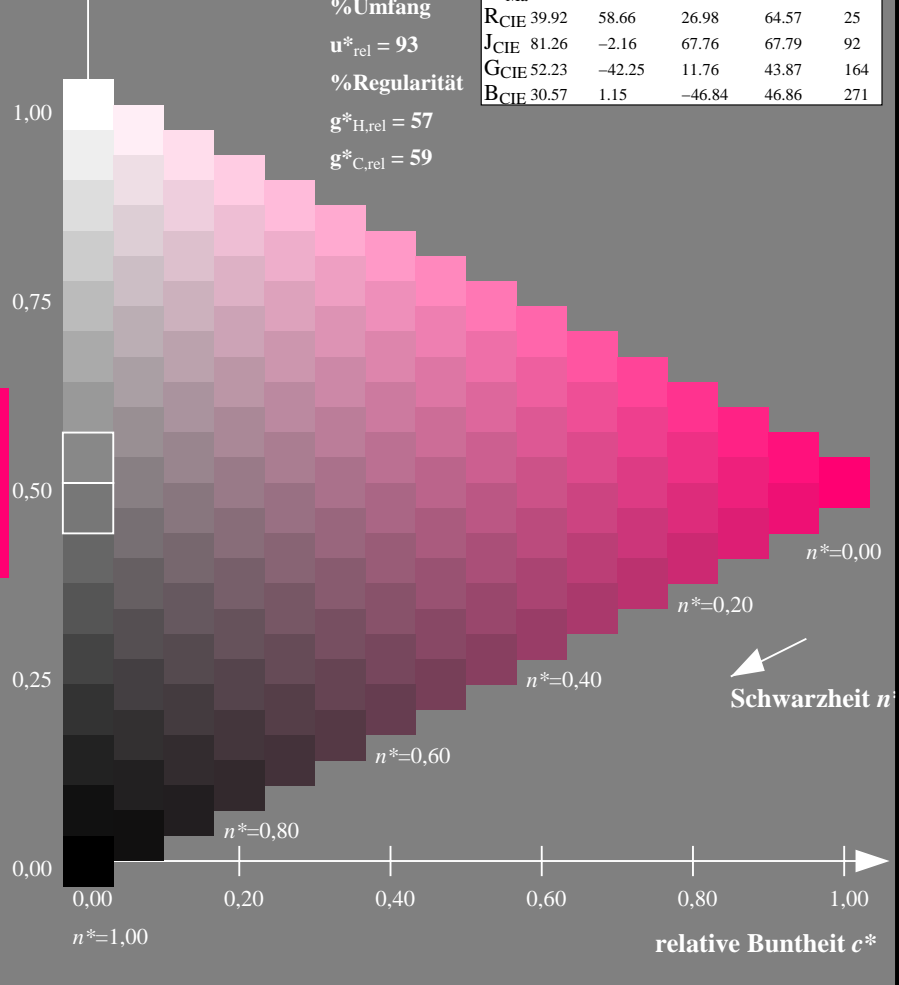
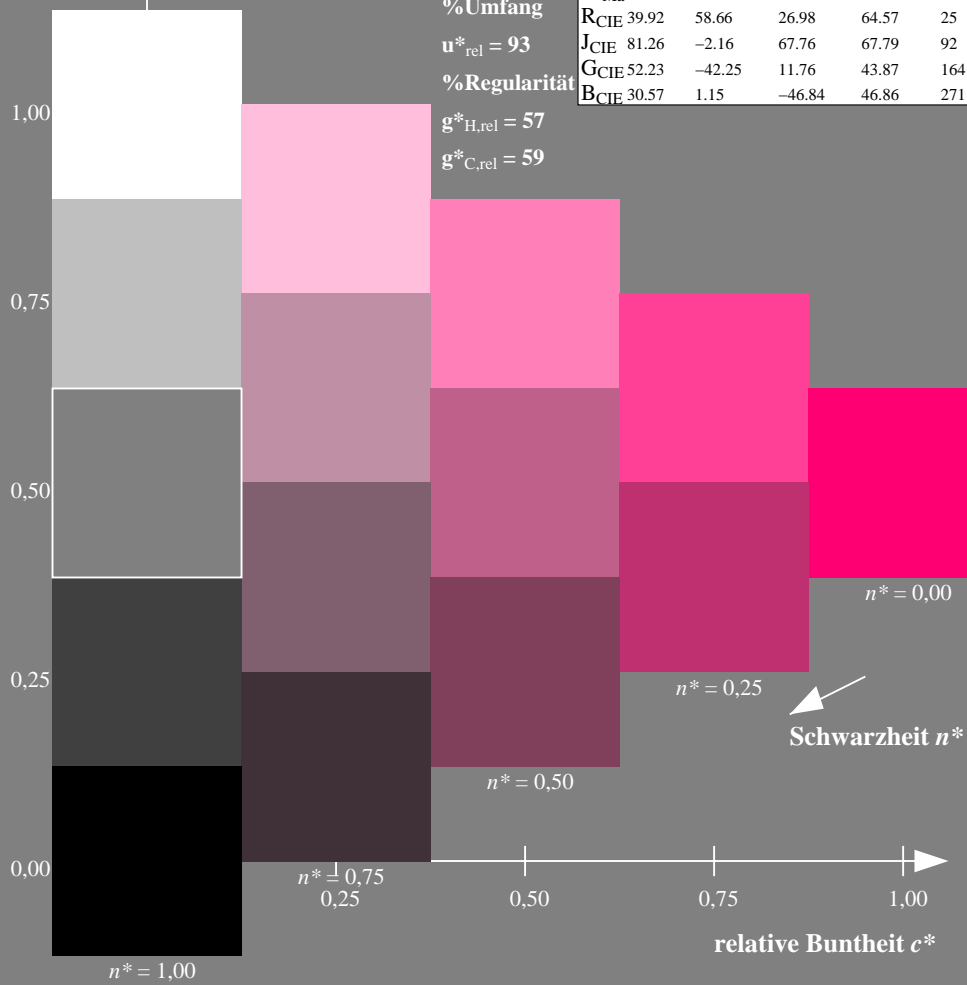
$u^*_{rel} = 93$

%Regularität

$g^*_{H,rel} = 57$

$g^*_{C,rel} = 59$

Siehe ähnliche Dateien: <http://www.ps.bam.de/Dg12/>; [www.ps.bam.de/Dg.HTM](http://www.ps.bam.de/Dg.HTM)  
 Technische Information: <http://www.ps.bam.de/33872> Version 2.1, io=1,1



Dg120-7N, 5-stufige Reihen für konstanten CIELAB Buntton 25/360 = 0.069 (links)

16-stufige Reihen für konstanten CIELAB Buntton 25/360 = 0.069 (rechts)

Prüfvorlage 1 nach DIN 33872-2, Buntton R, Seite 7/11  
 Unterscheidbarkeit: 5- und 16-stufige Farbreihen, ORS18a

Eingabe: rgb (->rgb\*) setrgbcolor  
 Ausgabe: keine Eingabeänderung

BAM-Registrierung: 20080301-Dg12/10L/L12g06NA.PS /.TXT BAM-Material: Code=rh4ta  
 Anwendung für Ausgabe von Monitor-, Datenprojektor- oder Druckersystemen

Eingabe: Farbmétrisches Offset-Reflektiv-System ORS18a

für Buntton  $h^* = lab^*h = 92/360 = 0.255$

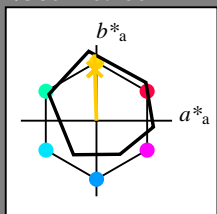
$lab^*tch$  und  $lab^*nch$

D65: Buntton J

LCH\*Ma: 86 88 92

olv\*Ma: 1.0 0.9 0.0

Dreiecks-Helligkeit  $t^*$



ORS18a; adaptierte CIELAB-Daten

|      | $L^*=L^*_a$ | $a^*_a$ | $b^*_a$ | $C^*_{ab,a}$ | $h^*_{ab,a}$ |
|------|-------------|---------|---------|--------------|--------------|
| OMa  | 47.94       | 65.39   | 50.52   | 82.63        | 38           |
| YMa  | 90.37       | -10.26  | 91.75   | 92.32        | 96           |
| LMa  | 50.9        | -62.83  | 34.96   | 71.91        | 151          |
| CMa  | 58.62       | -30.34  | -45.01  | 54.3         | 236          |
| VMa  | 25.72       | 31.1    | -44.4   | 54.22        | 305          |
| MMa  | 48.13       | 75.28   | -8.36   | 75.74        | 354          |
| NMa  | 18.01       | 0.0     | 0.0     | 0.0          | 0            |
| WMa  | 95.41       | 0.0     | 0.0     | 0.0          | 0            |
| RCIE | 39.92       | 58.66   | 26.98   | 64.57        | 25           |
| JCIE | 81.26       | -2.16   | 67.76   | 67.79        | 92           |
| GCIE | 52.23       | -42.25  | 11.76   | 43.87        | 164          |
| BCIE | 30.57       | 1.15    | -46.84  | 46.86        | 271          |

Ausgabe: Farbmétrisches Offset-Reflektiv-System ORS18a

für Buntton  $h^* = lab^*h = 92/360 = 0.255$

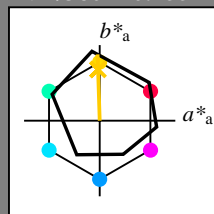
$lab^*tch$  und  $lab^*nch$

D65: Buntton J

LCH\*Ma: 86 88 92

olv\*Ma: 1.0 0.9 0.0

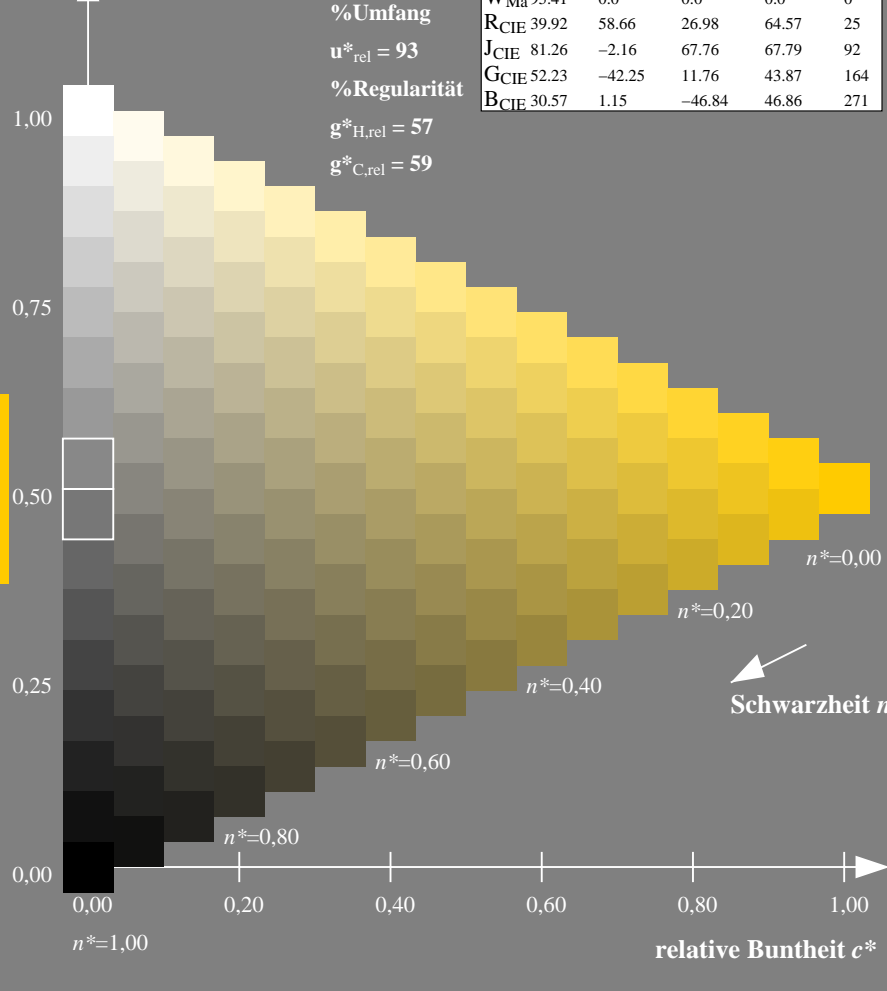
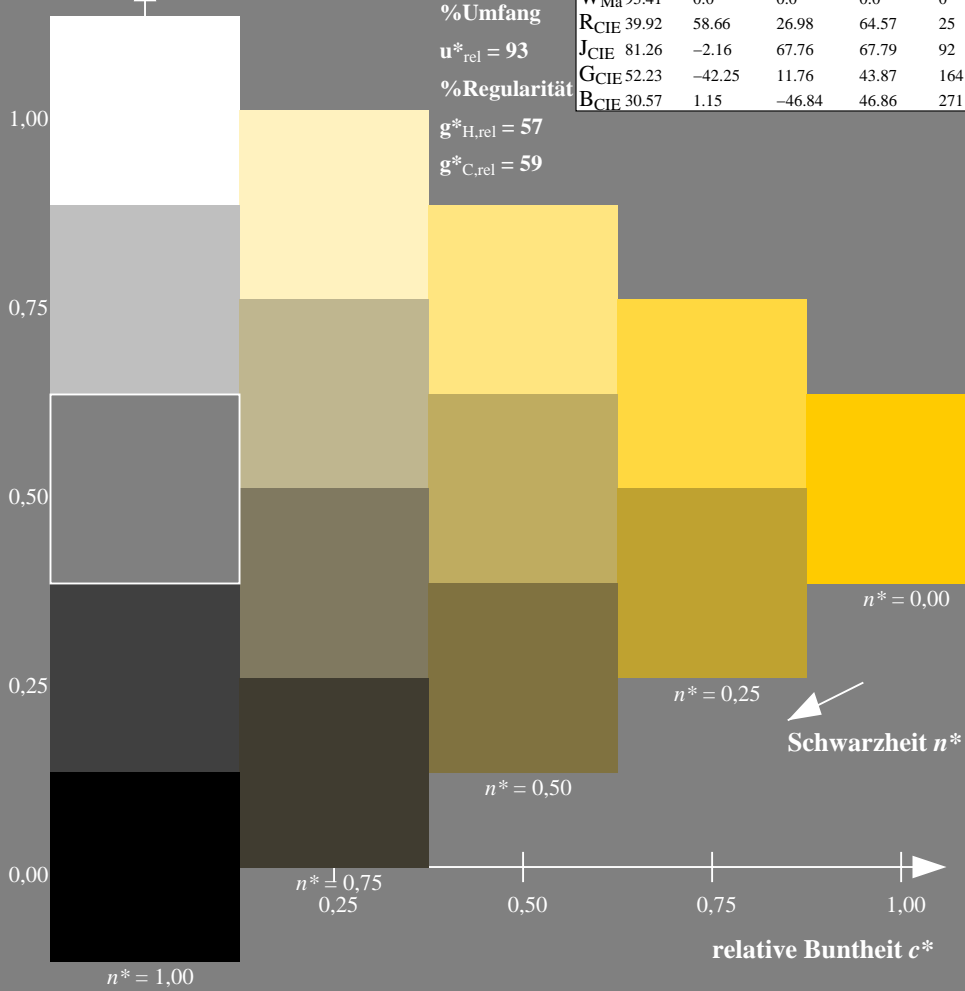
Dreiecks-Helligkeit  $t^*$



ORS18a; adaptierte CIELAB-Daten

|      | $L^*=L^*_a$ | $a^*_a$ | $b^*_a$ | $C^*_{ab,a}$ | $h^*_{ab,a}$ |
|------|-------------|---------|---------|--------------|--------------|
| OMa  | 47.94       | 65.39   | 50.52   | 82.63        | 38           |
| YMa  | 90.37       | -10.26  | 91.75   | 92.32        | 96           |
| LMa  | 50.9        | -62.83  | 34.96   | 71.91        | 151          |
| CMa  | 58.62       | -30.34  | -45.01  | 54.3         | 236          |
| VMa  | 25.72       | 31.1    | -44.4   | 54.22        | 305          |
| MMa  | 48.13       | 75.28   | -8.36   | 75.74        | 354          |
| NMa  | 18.01       | 0.0     | 0.0     | 0.0          | 0            |
| WMa  | 95.41       | 0.0     | 0.0     | 0.0          | 0            |
| RCIE | 39.92       | 58.66   | 26.98   | 64.57        | 25           |
| JCIE | 81.26       | -2.16   | 67.76   | 67.79        | 92           |
| GCIE | 52.23       | -42.25  | 11.76   | 43.87        | 164          |
| BCIE | 30.57       | 1.15    | -46.84  | 46.86        | 271          |

Siehe ähnliche Dateien: <http://www.ps.bam.de/Dg12/>; [www.ps.bam.de/Dg.HTM](http://www.ps.bam.de/Dg.HTM)  
 Technische Information: <http://www.ps.bam.de/33872> Version 2.1, io=1,1



Dg120-7N, 5-stufige Reihen für konstanten CIELAB Buntton 92/360 = 0.255 (links)

16-stufige Reihen für konstanten CIELAB Buntton 92/360 = 0.255 (rechts)

Prüfvorlage 1 nach DIN 33872-2, Buntton J, Seite 8/11  
 Unterscheidbarkeit: 5- und 16-stufige Farbreihen, ORS18a

Eingabe:  $rgb (->rgb^*) setrgbcolor$   
 Ausgabe: keine Eingabeänderung

BAM-Registrierung: 20080301-Dg12/10L/L12g07NA.PS /.TXT BAM-Material: Code=rh4ta  
 Anwendung für Ausgabe von Monitor-, Datenprojektor- oder Druckersystemen

Eingabe: Farbmétrisches Offset-Reflektiv-System ORS18a

für Buntton  $h^* = lab^*h = 164/360 = 0.457$

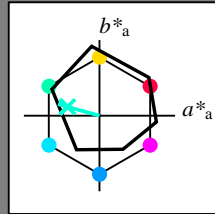
$lab^*tch$  und  $lab^*nch$

D65: Buntton G

LCH\*Ma: 53 57 164

olv\*Ma: 0.0 1.0 0.25

Dreiecks-Helligkeit  $t^*$



ORS18a; adaptierte CIELAB-Daten

|      | $L^*=L^*_a$ | $a^*_a$ | $b^*_a$ | $C^*_{ab,a}$ | $h^*_{ab,a}$ |
|------|-------------|---------|---------|--------------|--------------|
| OMa  | 47.94       | 65.39   | 50.52   | 82.63        | 38           |
| YMa  | 90.37       | -10.26  | 91.75   | 92.32        | 96           |
| LMa  | 50.9        | -62.83  | 34.96   | 71.91        | 151          |
| CMa  | 58.62       | -30.34  | -45.01  | 54.3         | 236          |
| VMa  | 25.72       | 31.1    | -44.4   | 54.22        | 305          |
| MMa  | 48.13       | 75.28   | -8.36   | 75.74        | 354          |
| NMa  | 18.01       | 0.0     | 0.0     | 0.0          | 0            |
| WMa  | 95.41       | 0.0     | 0.0     | 0.0          | 0            |
| RCIE | 39.92       | 58.66   | 26.98   | 64.57        | 25           |
| JCIE | 81.26       | -2.16   | 67.76   | 67.79        | 92           |
| GCIE | 52.23       | -42.25  | 11.76   | 43.87        | 164          |
| BCIE | 30.57       | 1.15    | -46.84  | 46.86        | 271          |

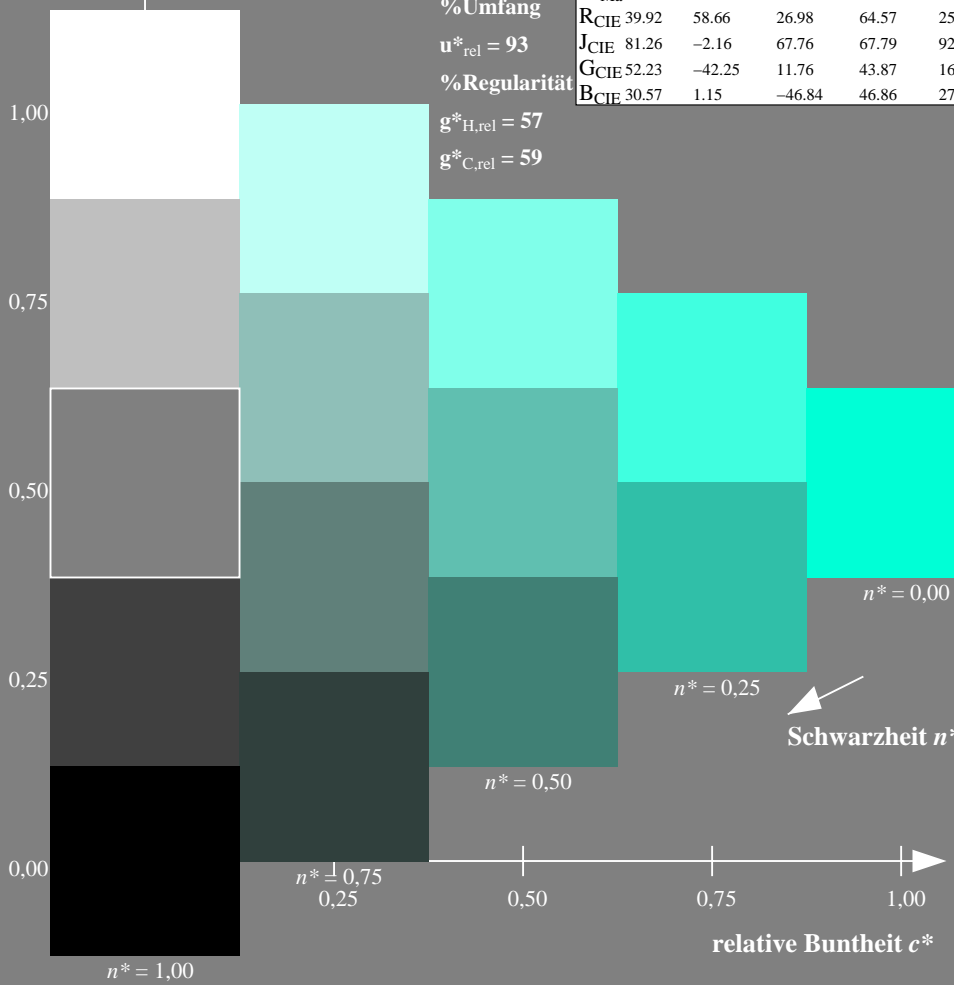
%Umfang

$u^*_{rel} = 93$

%Regularität

$g^*_{H,rel} = 57$

$g^*_{C,rel} = 59$



Ausgabe: Farbmétrisches Offset-Reflektiv-System ORS18a

für Buntton  $h^* = lab^*h = 164/360 = 0.457$

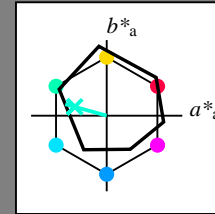
$lab^*tch$  und  $lab^*nch$

D65: Buntton G

LCH\*Ma: 53 57 164

olv\*Ma: 0.0 1.0 0.25

Dreiecks-Helligkeit  $t^*$



ORS18a; adaptierte CIELAB-Daten

|      | $L^*=L^*_a$ | $a^*_a$ | $b^*_a$ | $C^*_{ab,a}$ | $h^*_{ab,a}$ |
|------|-------------|---------|---------|--------------|--------------|
| OMa  | 47.94       | 65.39   | 50.52   | 82.63        | 38           |
| YMa  | 90.37       | -10.26  | 91.75   | 92.32        | 96           |
| LMa  | 50.9        | -62.83  | 34.96   | 71.91        | 151          |
| CMa  | 58.62       | -30.34  | -45.01  | 54.3         | 236          |
| VMa  | 25.72       | 31.1    | -44.4   | 54.22        | 305          |
| MMa  | 48.13       | 75.28   | -8.36   | 75.74        | 354          |
| NMa  | 18.01       | 0.0     | 0.0     | 0.0          | 0            |
| WMa  | 95.41       | 0.0     | 0.0     | 0.0          | 0            |
| RCIE | 39.92       | 58.66   | 26.98   | 64.57        | 25           |
| JCIE | 81.26       | -2.16   | 67.76   | 67.79        | 92           |
| GCIE | 52.23       | -42.25  | 11.76   | 43.87        | 164          |
| BCIE | 30.57       | 1.15    | -46.84  | 46.86        | 271          |

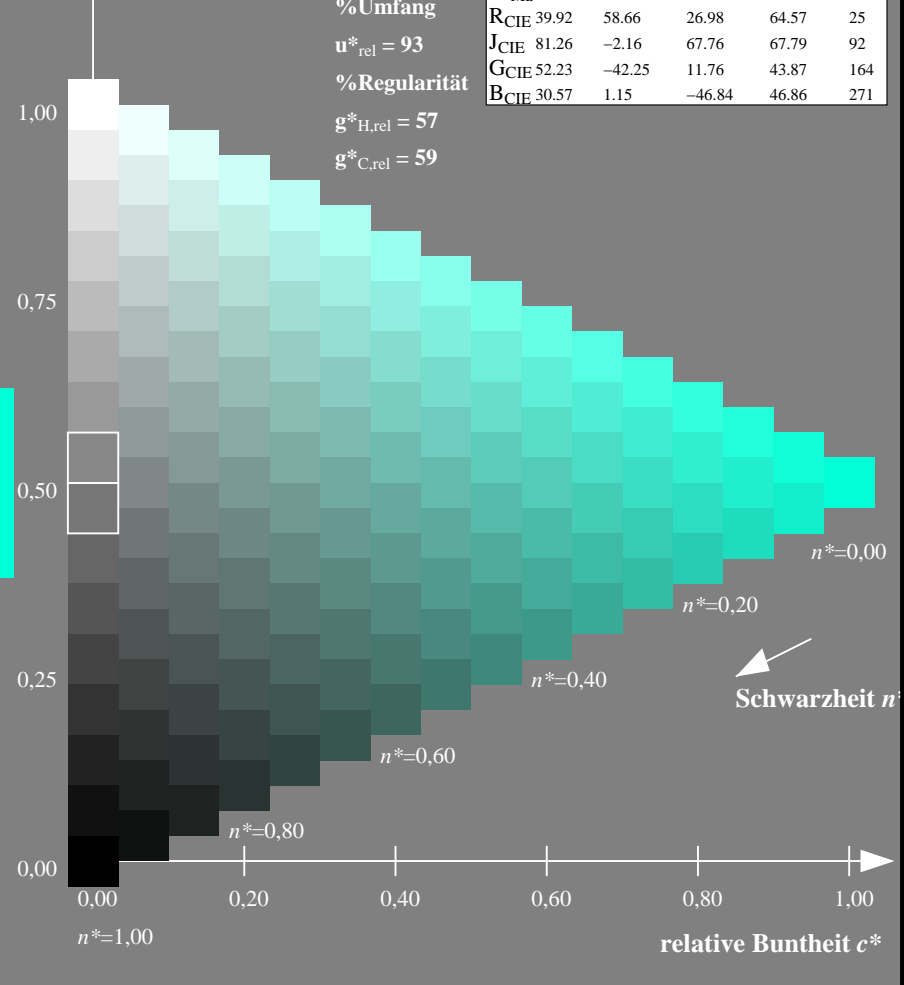
%Umfang

$u^*_{rel} = 93$

%Regularität

$g^*_{H,rel} = 57$

$g^*_{C,rel} = 59$



Dg120-7N, 5-stufige Reihen für konstanten CIELAB Buntton 164/360 = 0.457 (links)

16-stufige Reihen für konstanten CIELAB Buntton 164/360 = 0.457 (rechts)

Prüfvorlage 1 nach DIN 33872-2, Buntton G, Seite 9/11  
 Unterscheidbarkeit: 5- und 16-stufige Farbreihen, ORS18a

Eingabe:  $rgb (->rgb^*) setrgbcolor$   
 Ausgabe: keine Eingabeänderung

Siehe ähnliche Dateien: <http://www.ps.bam.de/Dg12/>; [www.ps.bam.de/Dg.HTM](http://www.ps.bam.de/Dg.HTM)  
 Technische Information: <http://www.ps.bam.de/33872> Version 2.1, io=1,1

BAM-Registrierung: 20080301-Dg12/10L/L12g08NA.PS /.TXT BAM-Material: Code=rh4ta  
 Anwendung für Ausgabe von Monitor-, Datenprojektor- oder Druckersystemen

Eingabe: Farbmétrisches Offset-Reflektiv-System ORS18a

für Buntton  $h^* = lab^*h = 271/360 = 0.754$

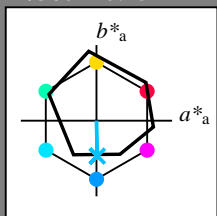
$lab^*tch$  und  $lab^*nch$

D65: Buntton B

LCH\*Ma: 42 45 271

olv\*Ma: 0.0 0.49 1.0

Dreiecks-Helligkeit  $t^*$



ORS18a; adaptierte CIELAB-Daten

|      | $L^*=L^*_a$ | $a^*_a$ | $b^*_a$ | $C^*_{ab,a}$ | $h^*_{ab,a}$ |
|------|-------------|---------|---------|--------------|--------------|
| OMa  | 47.94       | 65.39   | 50.52   | 82.63        | 38           |
| YMa  | 90.37       | -10.26  | 91.75   | 92.32        | 96           |
| LMa  | 50.9        | -62.83  | 34.96   | 71.91        | 151          |
| CMa  | 58.62       | -30.34  | -45.01  | 54.3         | 236          |
| VMa  | 25.72       | 31.1    | -44.4   | 54.22        | 305          |
| MMa  | 48.13       | 75.28   | -8.36   | 75.74        | 354          |
| NMa  | 18.01       | 0.0     | 0.0     | 0.0          | 0            |
| WMa  | 95.41       | 0.0     | 0.0     | 0.0          | 0            |
| RCIE | 39.92       | 58.66   | 26.98   | 64.57        | 25           |
| JCIE | 81.26       | -2.16   | 67.76   | 67.79        | 92           |
| GCIE | 52.23       | -42.25  | 11.76   | 43.87        | 164          |
| BCIE | 30.57       | 1.15    | -46.84  | 46.86        | 271          |

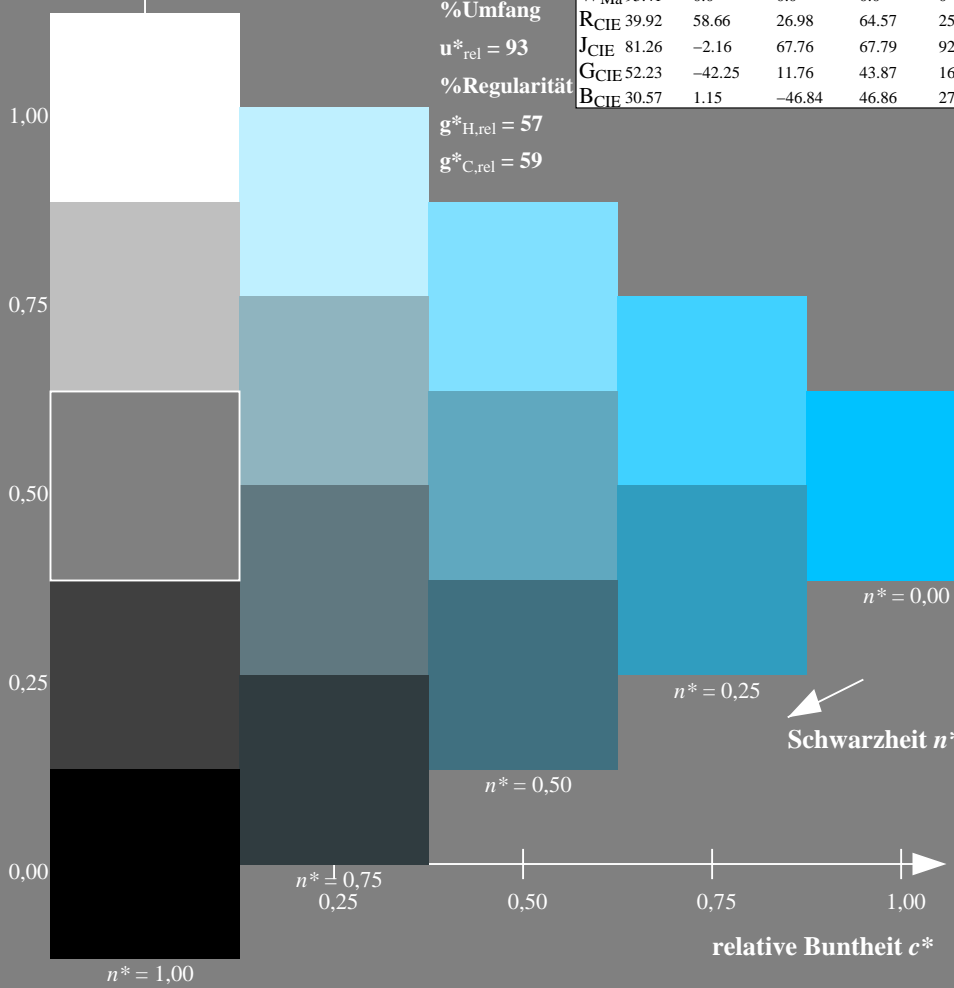
%Umfang

$u^*_{rel} = 93$

%Regularität

$g^*_{H,rel} = 57$

$g^*_{C,rel} = 59$



Dg120-7N, 5-stufige Reihen für konstanten CIELAB Buntton 271/360 = 0.754 (links)

Ausgabe: Farbmétrisches Offset-Reflektiv-System ORS18a

für Buntton  $h^* = lab^*h = 271/360 = 0.754$

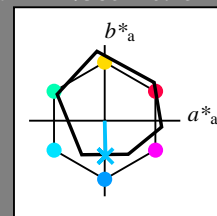
$lab^*tch$  und  $lab^*nch$

D65: Buntton B

LCH\*Ma: 42 45 271

olv\*Ma: 0.0 0.49 1.0

Dreiecks-Helligkeit  $t^*$



ORS18a; adaptierte CIELAB-Daten

|      | $L^*=L^*_a$ | $a^*_a$ | $b^*_a$ | $C^*_{ab,a}$ | $h^*_{ab,a}$ |
|------|-------------|---------|---------|--------------|--------------|
| OMa  | 47.94       | 65.39   | 50.52   | 82.63        | 38           |
| YMa  | 90.37       | -10.26  | 91.75   | 92.32        | 96           |
| LMa  | 50.9        | -62.83  | 34.96   | 71.91        | 151          |
| CMa  | 58.62       | -30.34  | -45.01  | 54.3         | 236          |
| VMa  | 25.72       | 31.1    | -44.4   | 54.22        | 305          |
| MMa  | 48.13       | 75.28   | -8.36   | 75.74        | 354          |
| NMa  | 18.01       | 0.0     | 0.0     | 0.0          | 0            |
| WMa  | 95.41       | 0.0     | 0.0     | 0.0          | 0            |
| RCIE | 39.92       | 58.66   | 26.98   | 64.57        | 25           |
| JCIE | 81.26       | -2.16   | 67.76   | 67.79        | 92           |
| GCIE | 52.23       | -42.25  | 11.76   | 43.87        | 164          |
| BCIE | 30.57       | 1.15    | -46.84  | 46.86        | 271          |

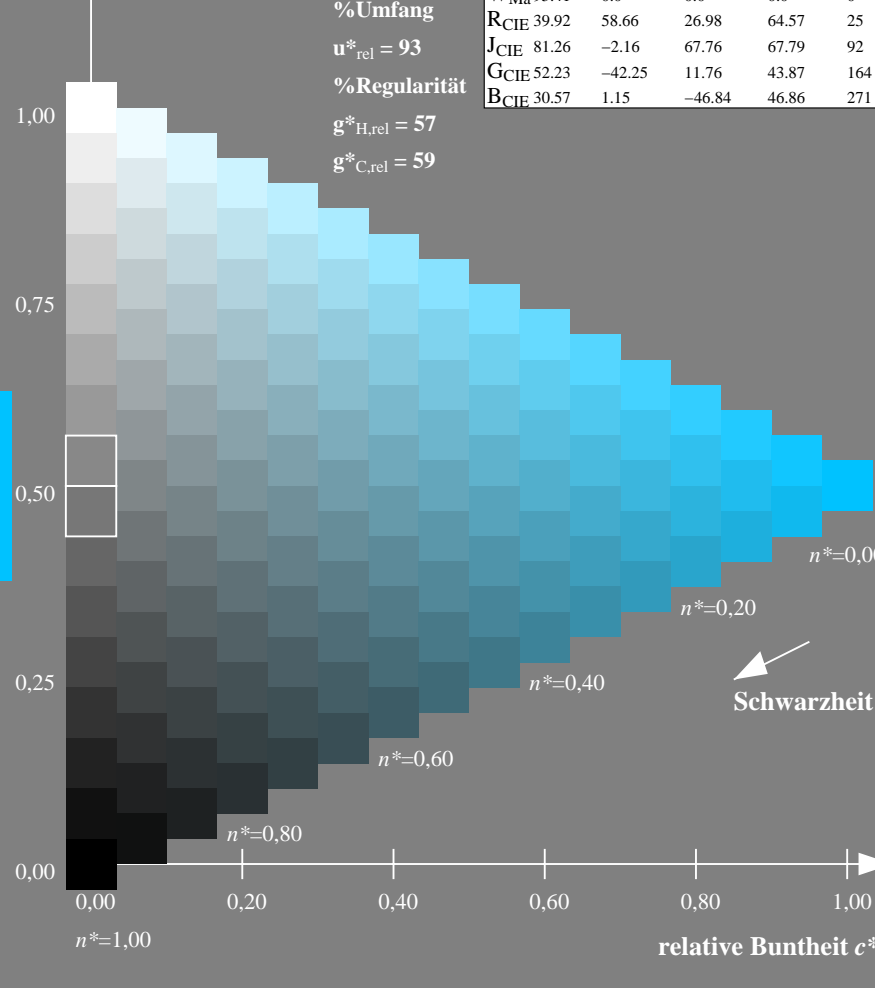
%Umfang

$u^*_{rel} = 93$

%Regularität

$g^*_{H,rel} = 57$

$g^*_{C,rel} = 59$



16-stufige Reihen für konstanten CIELAB Buntton 271/360 = 0.754 (rechts)

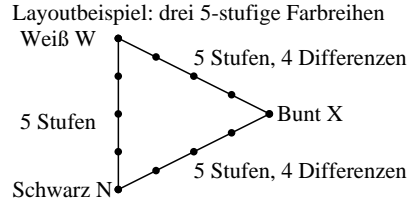
Prüfvorlage 1 nach DIN 33872-2, Buntton B, Seite 10/11  
 Unterscheidbarkeit: 5- und 16-stufige Farbreihen, ORS18a

Eingabe:  $rgb (->rgb^*) setrgbcolor$   
 Ausgabe: keine Eingabeänderung

Siehe ähnliche Dateien: <http://www.ps.bam.de/Dg12/>; [www.ps.bam.de/Dg.HTM](http://www.ps.bam.de/Dg.HTM)  
 Technische Information: <http://www.ps.bam.de/33872> Version 2.1, io=1,1

BAM-Registrierung: 20080301-Dg12/10L/L12g09NA.PS /.TXT BAM-Material: Code=rh4ta  
 Anwendung für Ausgabe von Monitor-, Datenprojektor- oder Druckersystemen

**Unterscheidbarkeit von 5-stufigen Farbreihen (Ja/Nein-Entscheidung)**



Es gibt drei Grundfarben auf jeder Seite:  
Schwarz N, Weiß W und Bunt X.  
Zehn Seiten enthalten 10 Bunttonebenen  
X = OYLCVM und RJGB.  
Es gibt maximal 12 unterscheidbare Stufen.

Alle Stufen der drei Serien N-W, W-X und X-N sollen unterscheidbar sein auf **allen** Seiten.  
**Sind die drei 5-stufigen Reihen auf allen Seiten unterscheidbar? unterstreiche: Ja/Nein**  
Nur im Fall von Nein: Sind die drei 5-stufigen Reihen auf Seite x von 10 Seiten unterscheidbar?  
Unterstreiche Ja/Nein und gib im Fall von Nein die Anzahl unterscheidbarer Stufen an  
Seite 1: Ja/Nein, wenn Nein ../12 Stufendifferenzen sind unterscheidbar von O = Orangerot  
Seite 2: Ja/Nein, wenn Nein ../12 Stufendifferenzen sind unterscheidbar von Y = Gelb  
Seite 3: Ja/Nein, wenn Nein ../12 Stufendifferenzen sind unterscheidbar von L = Laubgrün  
Seite 4: Ja/Nein, wenn Nein ../12 Stufendifferenzen sind unterscheidbar von C = Cyanblau  
Seite 5: Ja/Nein, wenn Nein ../12 Stufendifferenzen sind unterscheidbar von V = Violettblau  
Seite 6: Ja/Nein, wenn Nein ../12 Stufendifferenzen sind unterscheidbar von M = Magentarot  
Seite 7: Ja/Nein, wenn Nein ../12 Stufendifferenzen sind unterscheidbar von R = Elementarrot  
Seite 8: Ja/Nein, wenn Nein ../12 Stufendifferenzen sind unterscheidbar von J = Elementargelb  
Seite 9: Ja/Nein, wenn Nein ../12 Stufendifferenzen sind unterscheidbar von G = Elementargrün  
Seite 10: Ja/Nein, wenn Nein ../12 Stufendifferenzen sind unterscheidbar von B = Elementarblau

Summe: ../10 Ja-Seiten und ../120 Stufendifferenzen unterscheidbar

Teil 1

Dg120-3

**Dokumentation von Dateiformat, Hard- und Software für diese Prüfung:**

**PDF-Datei:** entweder [www.ps.bam.de/Dg12/10L/L12g00NP.PDF](http://www.ps.bam.de/Dg12/10L/L12g00NP.PDF) **unterstreiche Ja/Nein**  
oder [www.ps.bam.de/Dg12/10P/P12g00NP.PDF](http://www.ps.bam.de/Dg12/10P/P12g00NP.PDF) **oder unterstreiche Ja/Nein**  
**PS-Datei:** entweder [www.ps.bam.de/Dg12/10L/L12g00NA.PS](http://www.ps.bam.de/Dg12/10L/L12g00NA.PS) **oder unterstreiche Ja/Nein**  
oder [www.ps.bam.de/Dg12/10P/P12g00NA.PS](http://www.ps.bam.de/Dg12/10P/P12g00NA.PS) **oder unterstreiche Ja/Nein**

**benutztes Rechner-Betriebssystem:**  
nur eines von Windows/Mac/Unix/anderes und Version:.....

**Die Beurteilung ist für die Geräteausgabe: unterstreiche Monitor/Datenprojektor/Drucker**  
Geräte-Modell, -Treiber und -Version:.....

**Geräteausgabe mit PDF/PS-Datei: unterstreiche PDF-/PS-Datei**

**Für Geräteausgabe mit PDF-Datei (L/P)12g00NP.PDF:**  
entweder PDF-Dateitransfer "download, copy" nach PDF-Gerät.....  
oder mit Rechnersystem-Interpretation durch "Display-PDF":.....  
oder mit Software, z. B. Adobe-Reader/-Acrobat und Version:.....  
oder mit Software, z. B. Ghostscript und Version:.....

**Für Geräteausgabe mit PS-Datei (L/P)12g00NA.PS:**  
entweder PS-Dateitransfer "download, copy" nach PS-Gerät.....  
oder mit Rechnersystem-Interpretation durch "Display-PS":.....  
oder mit Software, z. B. Ghostscript und Version:.....  
oder mit Software, z. B. Mac-Yap und Version:.....

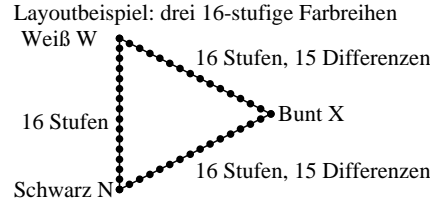
Spezielle Anmerkungen, z. B. Ausgabe von Landschaftsdatei (L) L12g00NA.PS wurde abgeschnitten, Porträtdatei (P) P12g00NA.PS wurde benutzt:.....

Teil 3

Dg120-5

Vordruck A für Prüfungsvorlage 1 nach DIN 33872-2, Seite 11/11  
Unterscheidbarkeit Farbreihen (Ja/Nein-Entscheidung)

**Unterscheidbarkeit von 16-stufigen Farbreihen (Ja/Nein-Entscheidung)**



Es gibt drei Grundfarben auf jeder Seite:  
Schwarz N, Weiß W und Bunt X.  
Zehn Seiten enthalten 10 Bunttonebenen  
X = OYLCVM und RJGB.  
Es gibt maximal 45 unterscheidbare Stufen.

Alle Stufen der drei Serien N-W, W-X und X-N sollen unterscheidbar sein auf **allen** Seiten.  
**Sind die drei 16-stufigen Reihen auf allen Seiten unterscheidbar? unterstreiche: Ja/Nein**  
Nur im Fall von Nein: Sind die drei 16-stufigen Reihen auf Seite x von 10 Seiten unterscheidbar?  
Unterstreiche Ja/Nein und gib im Fall von Nein die Anzahl unterscheidbarer Stufen an  
Seite 1: Ja/Nein, wenn Nein ../45 Stufendifferenzen sind unterscheidbar von O = Orangerot  
Seite 2: Ja/Nein, wenn Nein ../45 Stufendifferenzen sind unterscheidbar von Y = Gelb  
Seite 3: Ja/Nein, wenn Nein ../45 Stufendifferenzen sind unterscheidbar von L = Laubgrün  
Seite 4: Ja/Nein, wenn Nein ../45 Stufendifferenzen sind unterscheidbar von C = Cyanblau  
Seite 5: Ja/Nein, wenn Nein ../45 Stufendifferenzen sind unterscheidbar von V = Violettblau  
Seite 6: Ja/Nein, wenn Nein ../45 Stufendifferenzen sind unterscheidbar von M = Magentarot  
Seite 7: Ja/Nein, wenn Nein ../45 Stufendifferenzen sind unterscheidbar von R = Elementarrot  
Seite 8: Ja/Nein, wenn Nein ../45 Stufendifferenzen sind unterscheidbar von J = Elementargelb  
Seite 9: Ja/Nein, wenn Nein ../45 Stufendifferenzen sind unterscheidbar von G = Elementargrün  
Seite 10: Ja/Nein, wenn Nein ../45 Stufendifferenzen sind unterscheidbar von B = Elementarblau

Summe: ../10 Ja-Seiten und ../450 Stufendifferenzen unterscheidbar

Teil 2

Dg121-3

**Dokumentation der Beurteiler-Farbseigenschaften für diese Prüfung:**

Der Beurteiler hat **normales** Farbsehen nach einer Prüfung:  
entweder nach DIN 6160:1996 mit Anomaloskop nach *Nagel* **unterstreiche Ja/Nein**  
oder mit Farbpunkt-Prüftafeln nach *Ishihara* **unterstreiche Ja/Nein**  
oder mit, bitte nennen:..... **unterstreiche Ja/Nein**

**Nur für Display(Monitor, Daten-Projektor)-Ausgabe:**  
Büro-Arbeitsplatz-Beleuchtung ist Tageslicht (bedeckter/Nordhimmel) **unterstreiche Ja/Nein**  
PDF-Dateiausgabe mit [www.ps.bam.de/Dg13/10L/L13g00NP.PDF](http://www.ps.bam.de/Dg13/10L/L13g00NP.PDF) **unterstreiche Ja/Nein**  
Vergleiche Kontrastbereich der 16 Stufen F bis 0 mit Prüfvorlage Nr. 3 von DIN 33866-1:2000  
Nenne Kontrastbereich: (>F:0) (F:0) (E:0) (D:0) (C:0) (A:0) (9:0) (7:0) (5:0) (3:0) (<3:0)

Anmerkung: Bei Tageslichtbürobeleuchtung ist der Kontrastbereich oft:  
auf Papier zwischen: >F:0 (Hochglanz), F:0 (Seidenglanz) und E:0 (Matt)  
am Display zwischen: >F:0 und E:0 (Monitor), D:0 und 3:0 (Datenprojektor)

**Nur für optionale farbmimetrische Kennzeichnung mit PDF/PS-Dateiausgabe**  
**PDF-Datei:** entweder [www.ps.bam.de/Dg11/10L/L11g00NP.PDF](http://www.ps.bam.de/Dg11/10L/L11g00NP.PDF) **unterstreiche Ja/Nein**  
oder [www.ps.bam.de/Dg11/10P/P11g00NP.PDF](http://www.ps.bam.de/Dg11/10P/P11g00NP.PDF) **oder unterstreiche Ja/Nein**  
**PS-Datei:** entweder [www.ps.bam.de/Dg11/10L/L11g00NA.PS](http://www.ps.bam.de/Dg11/10L/L11g00NA.PS) **oder unterstreiche Ja/Nein**  
oder [www.ps.bam.de/Dg11/10P/P11g00NA.PS](http://www.ps.bam.de/Dg11/10P/P11g00NA.PS) **oder unterstreiche Ja/Nein**

**Farbmessung und Kennzeichnung für:**  
CIE-Normlichtart D65, CIE-2-Grad-Beobachter, CIE-45/0-Geometrie **unterstreiche Ja/Nein**  
Wenn Nein, bitte andere Parameter nennen: .....

**Farbmimetrische Kennzeichnung mit PS-Datei für Farben der Spalten A bis T**  
Ersatz der CIELAB-Daten in Datei [www.ps.bam.de/Dg17/10L/L17g00NP.PS](http://www.ps.bam.de/Dg17/10L/L17g00NP.PS) und Transfer  
der PS-Datei L17g00NP.PS in PDF-Datei L17g00NP.PDF **unterstreiche Ja/Nein**  
Wenn Nein, bitte andere Methode beschreiben: .....

Teil 4

Dg121-5

Eingabe: *rgb (->olv\*) setrgbcolor*  
Ausgabe: keine Eingabeänderung

Siehe ähnliche Dateien: <http://www.ps.bam.de/Dg12/>; [www.ps.bam.de/33872](http://www.ps.bam.de/33872) Version 2.1, io=1,1

BAM-Registrierung: 20080301-Dg12/10L/L12g0ANA.PS /TXTBAM-Material: Code=rh4ta  
Anwendung für Ausgabe von Monitor-, Datenprojektor- oder Druckersystemen